

圖 69 30 分鐘後底床高程 (平面崩坍機制)

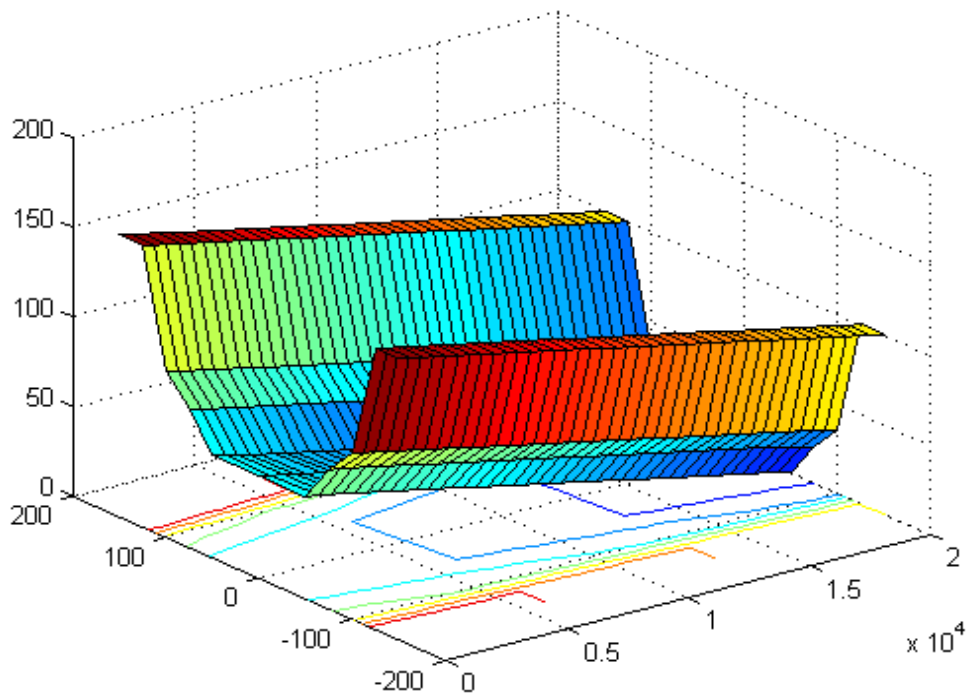


圖 70 40 分鐘後底床高程 (平面崩坍機制)

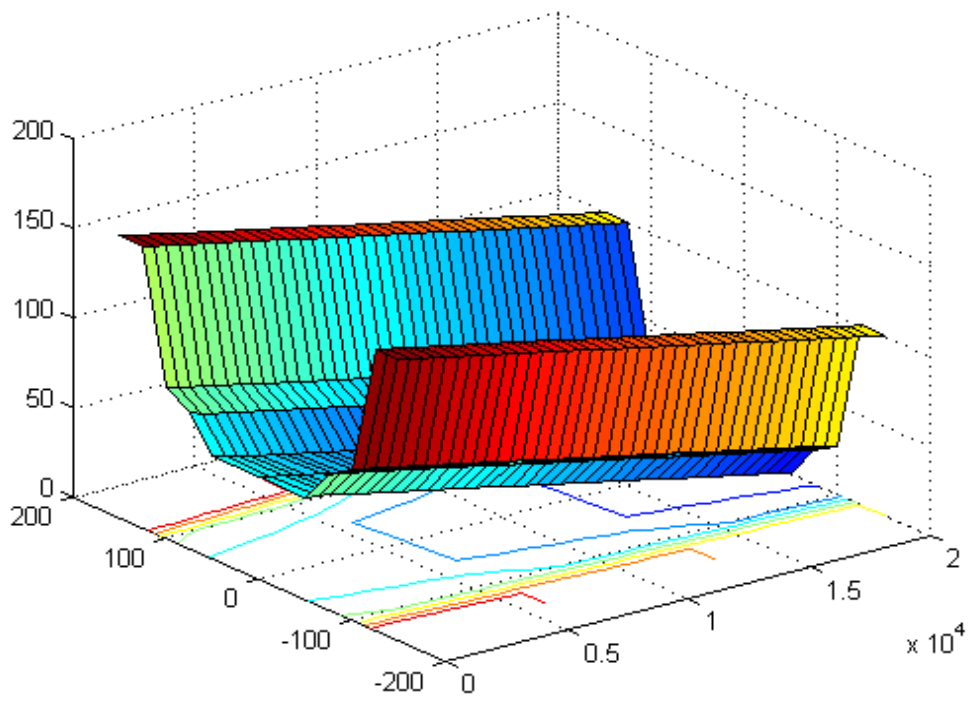


圖 71 50 分鐘後底床高程 (平面崩坍機制)

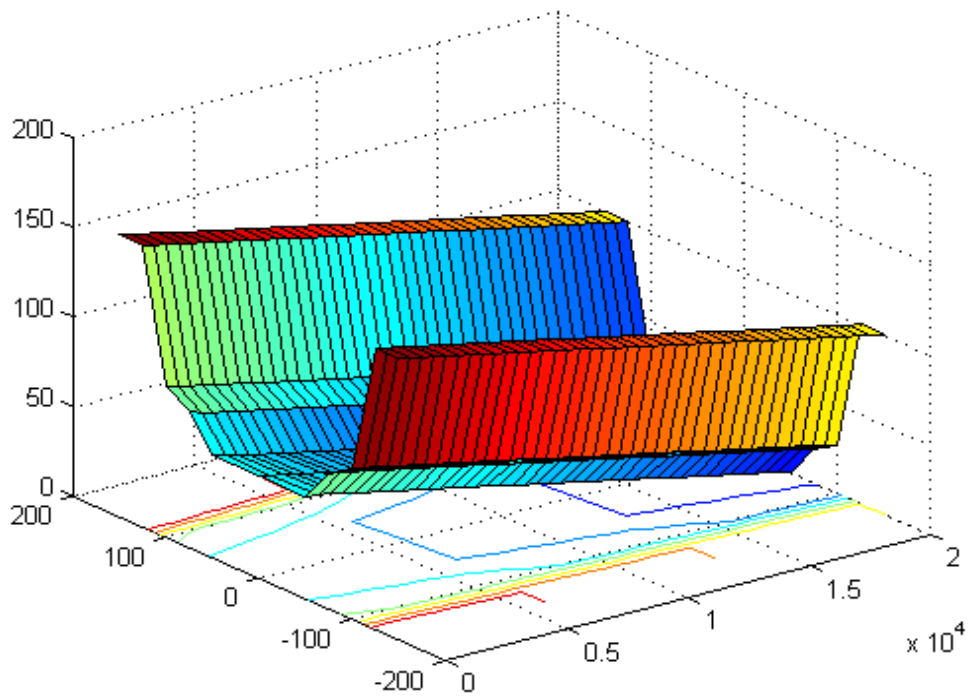


圖 72 60 分鐘後底床高程 (平面崩坍機制)

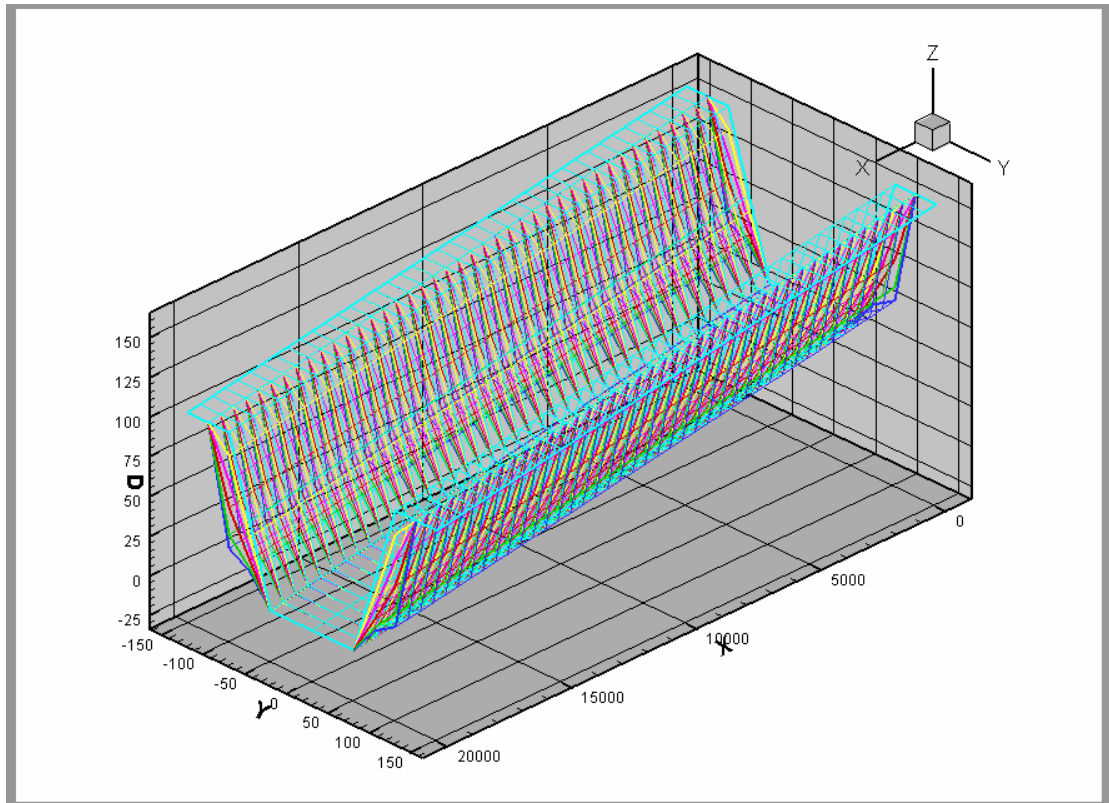


圖 73 底床高程變化情形 (平面崩坍機制)



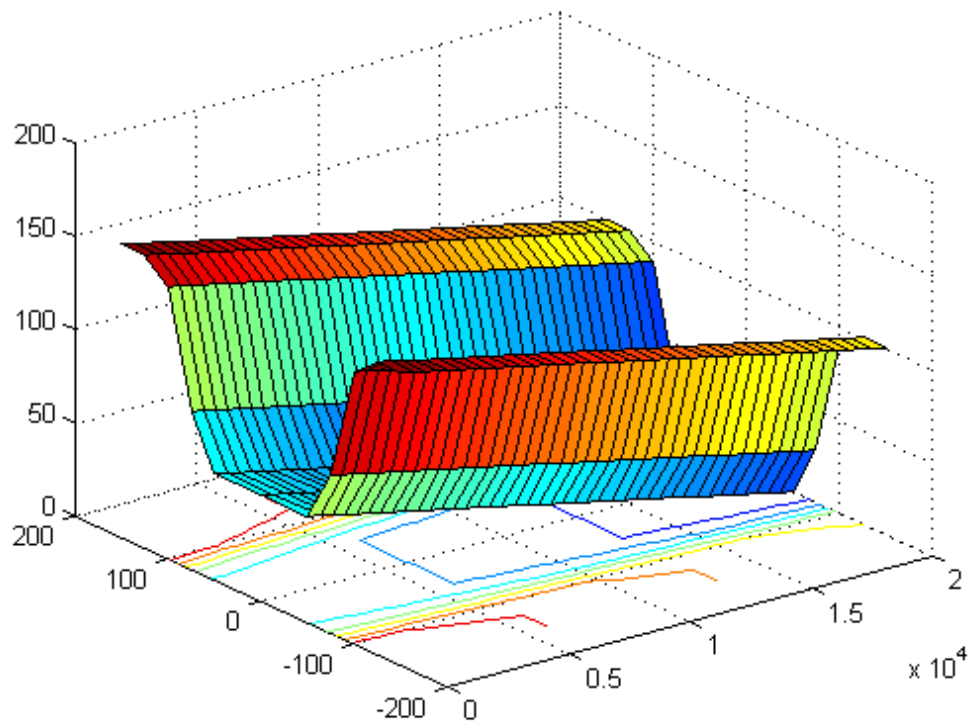


圖 74 10 分鐘後底床高程(圓弧崩坍機制，C=3000ppm)

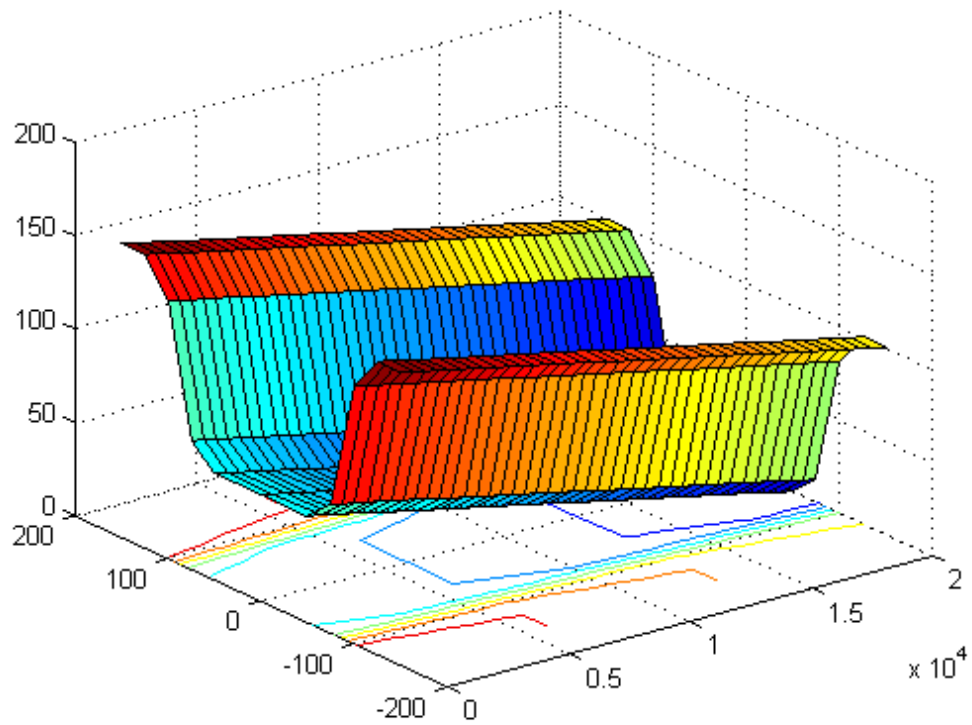


圖 75 20 分鐘後底床高程(圓弧崩坍機制，C=3000ppm)

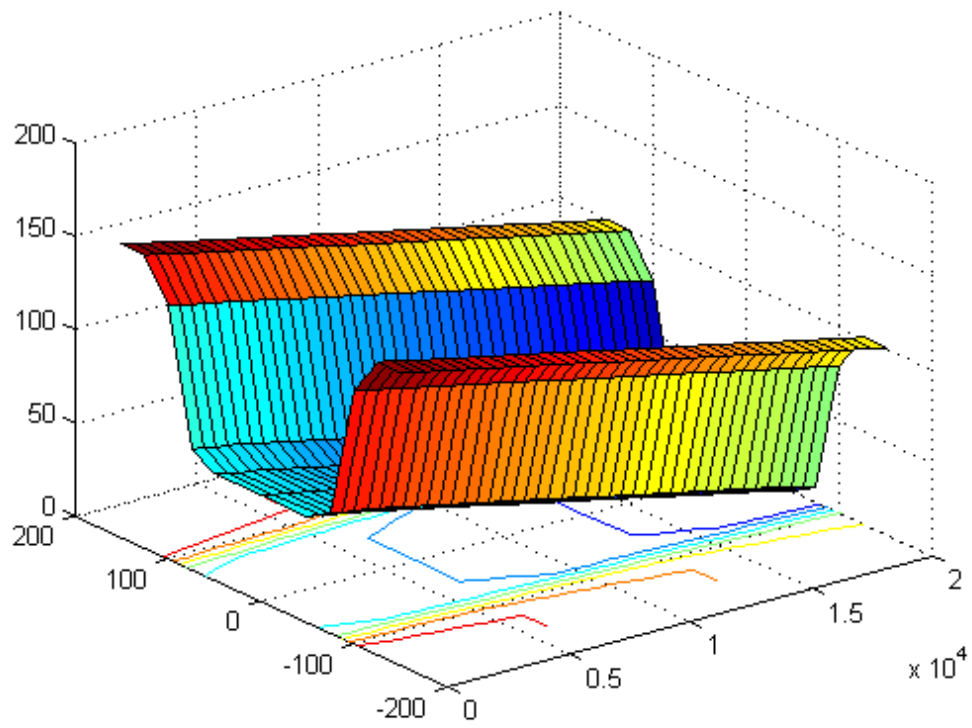


圖 76 30 分鐘後底床高程(圓弧崩坍機制，C=3000ppm)

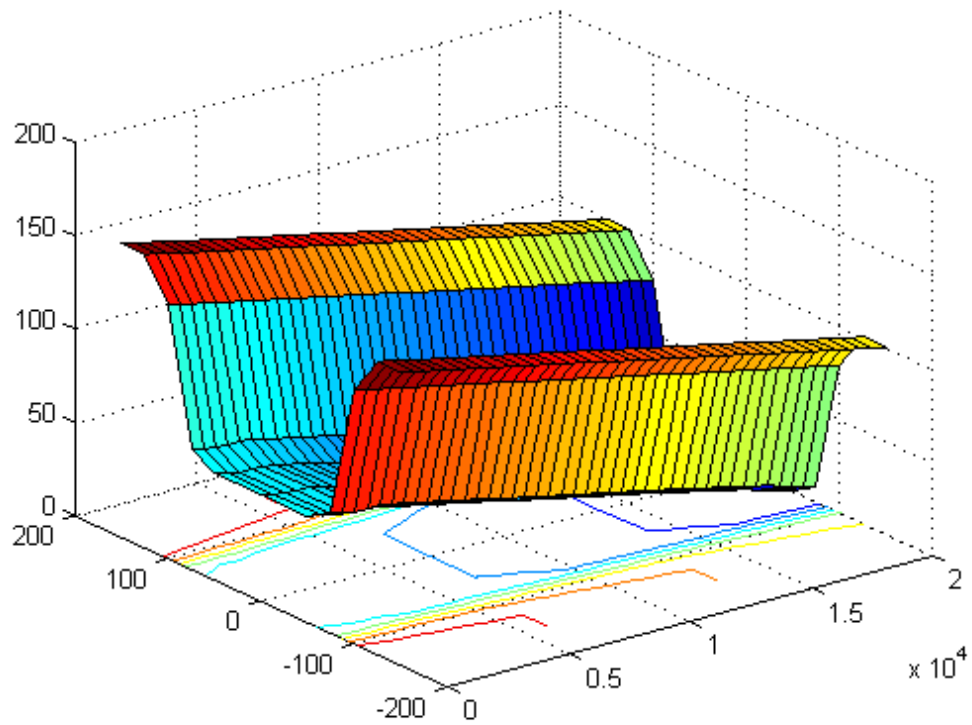


圖 77 40 分鐘後底床高程(圓弧崩坍機制，C=3000ppm)

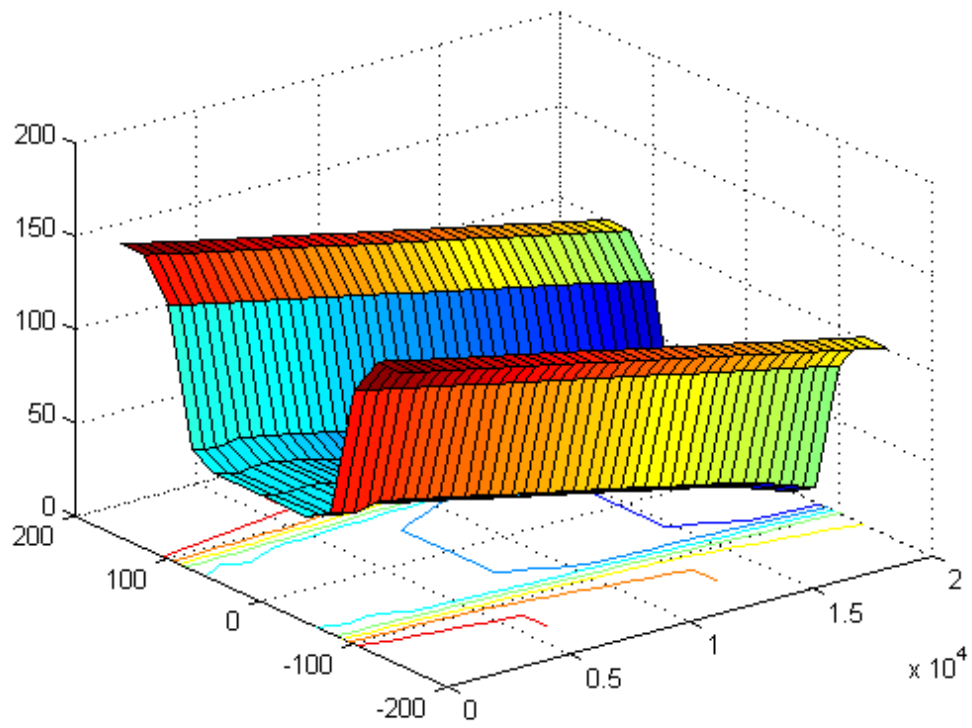


圖 78 50 分鐘後底床高程(圓弧崩坍機制，C=3000ppm)

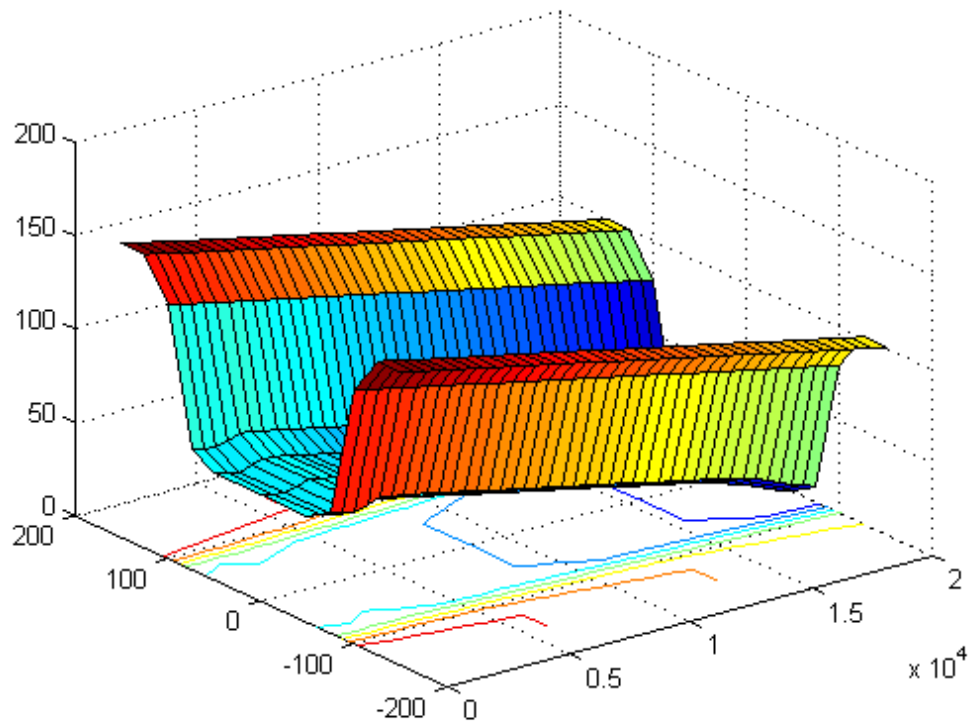


圖 79 60 分鐘後底床高程(圓弧崩坍機制，C=3000ppm)

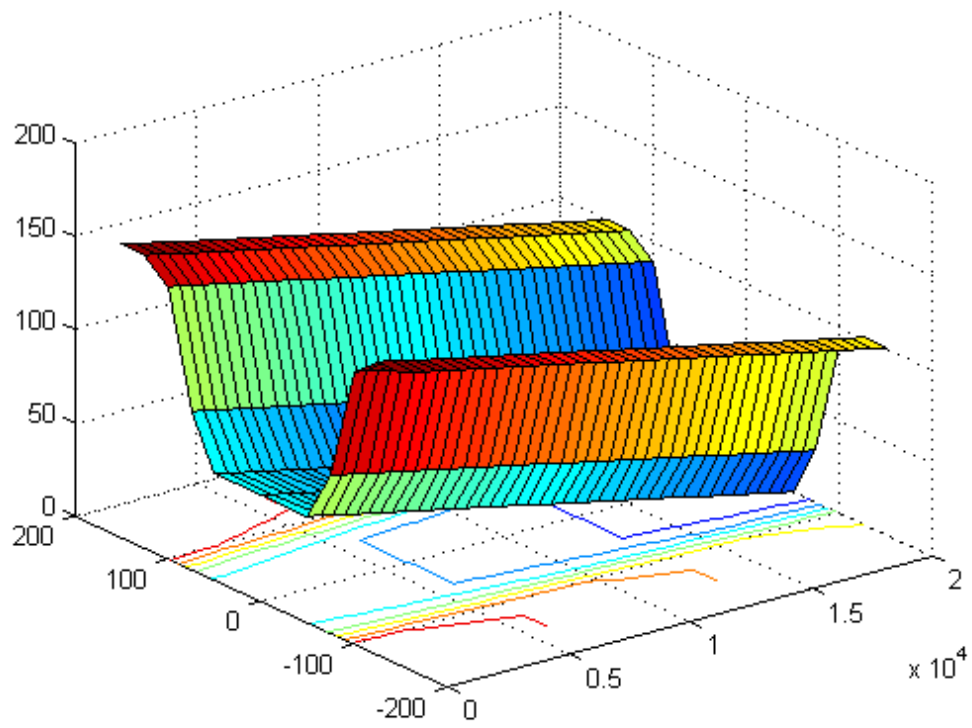


圖 80 10 分鐘後底床高程(圓弧崩坍機制，C=6000ppm)

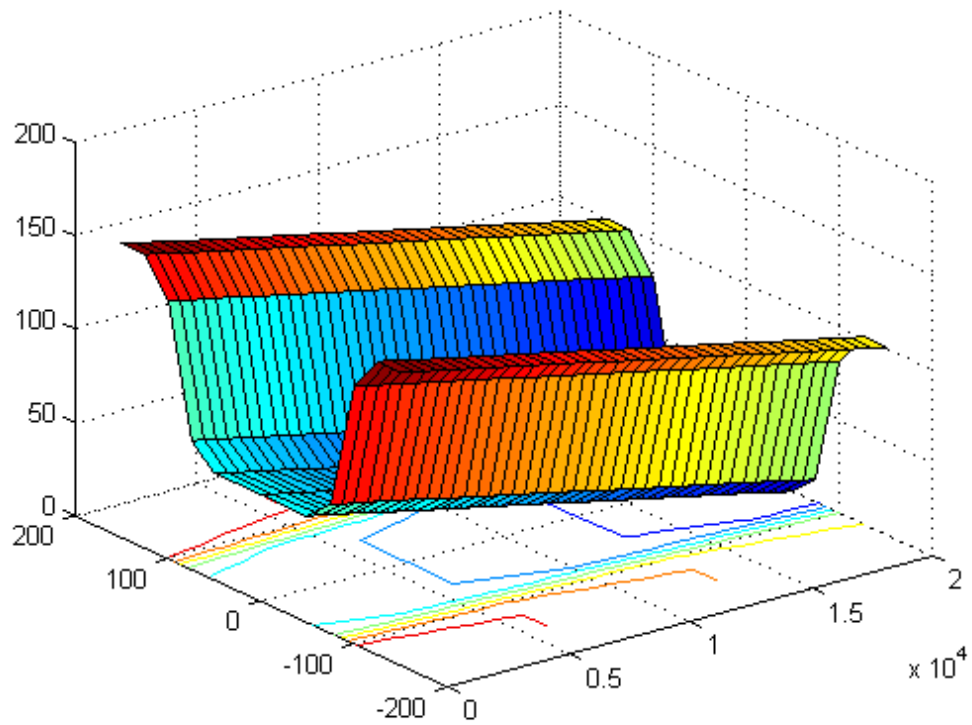


圖 81 20 分鐘後底床高程(圓弧崩坍機制，C=6000ppm)

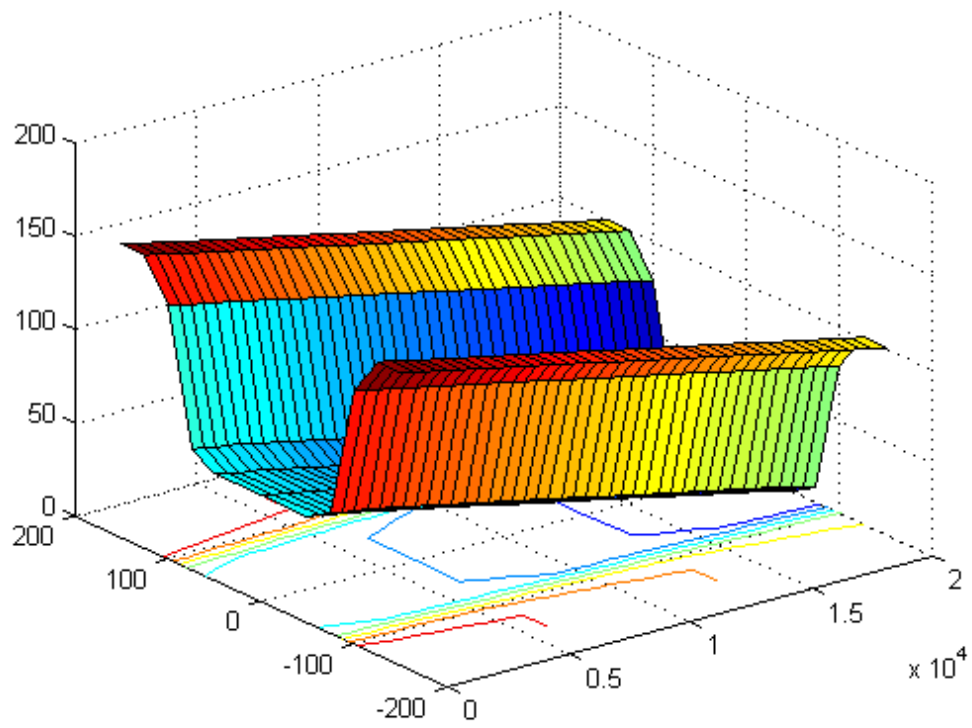


圖 82 30 分鐘後底床高程(圓弧崩坍機制，C=6000ppm)

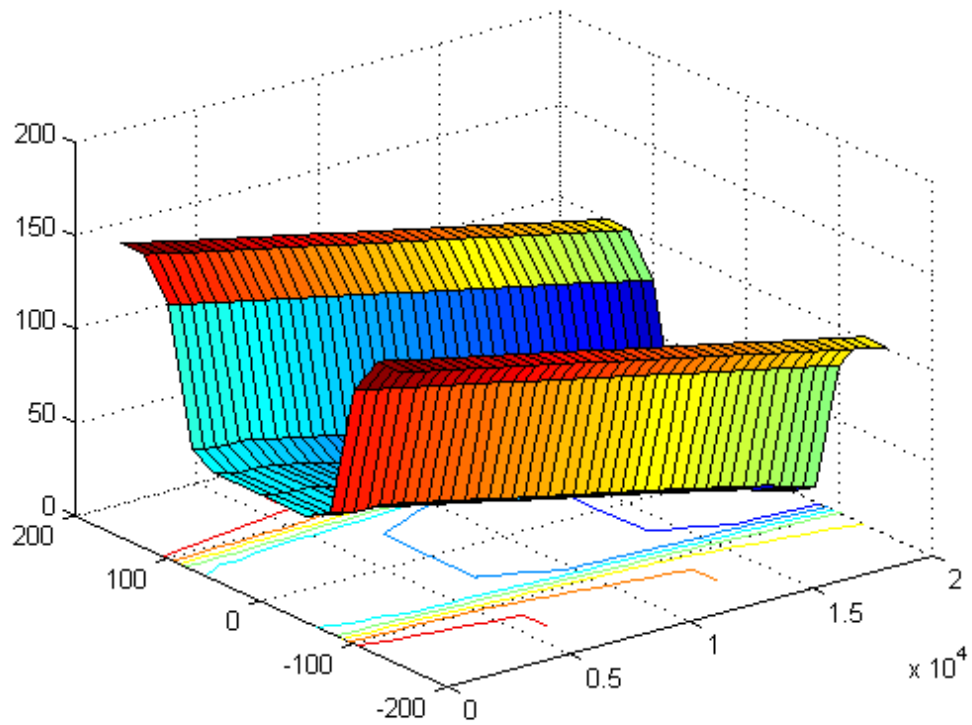


圖 83 40 分鐘後底床高程(圓弧崩坍機制，C=6000ppm)

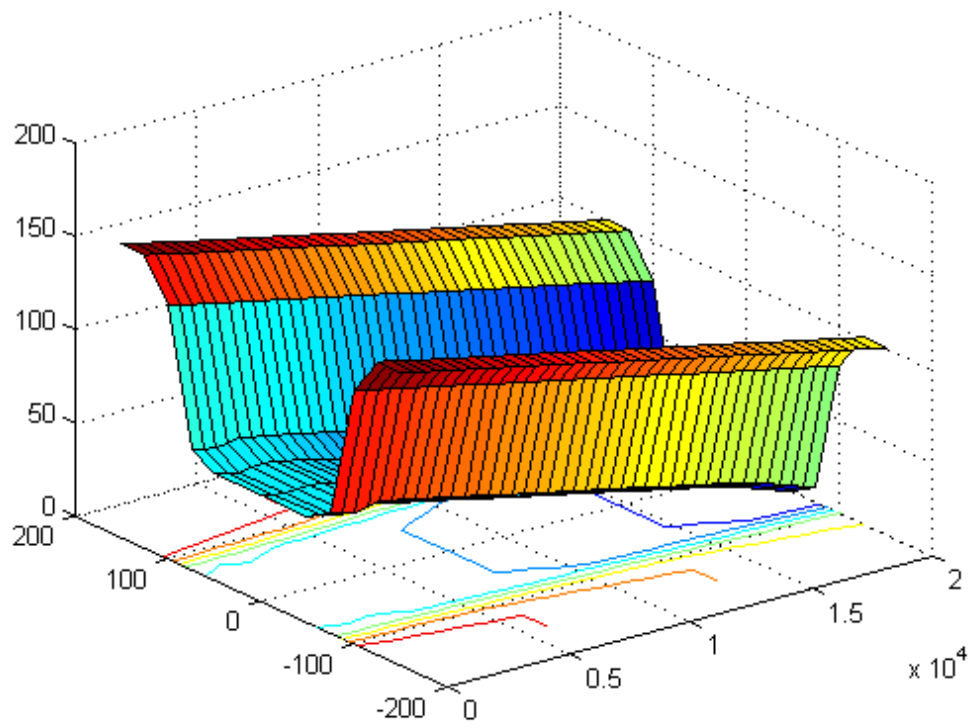


圖 84 50 分鐘後底床高程(圓弧崩坍機制，C=6000ppm)

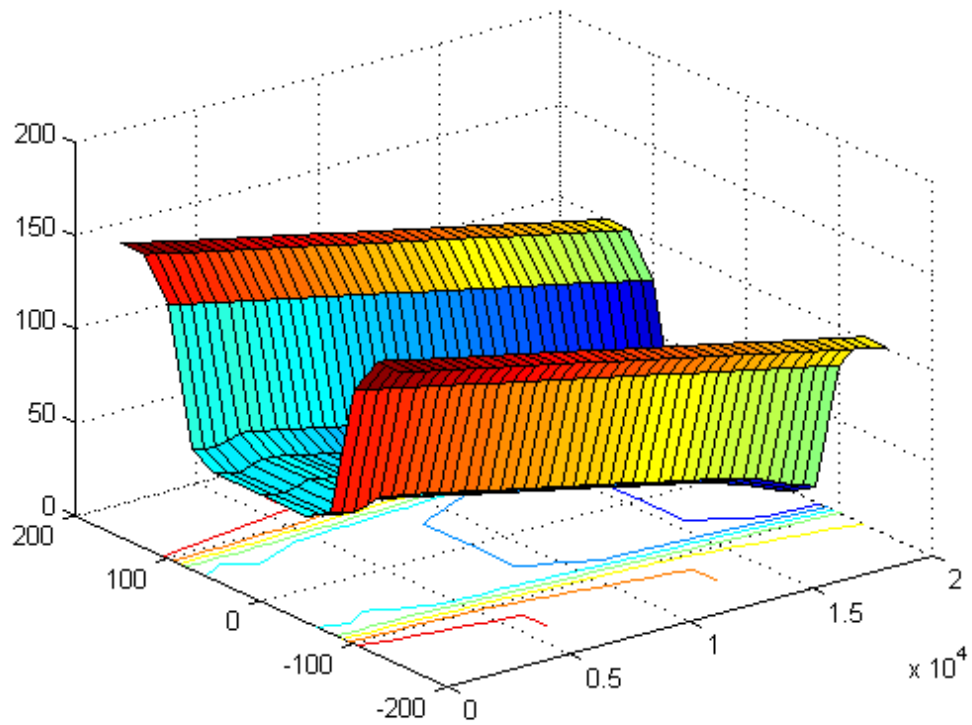


圖 85 60 分鐘後底床高程(圓弧崩坍機制，C=6000ppm)

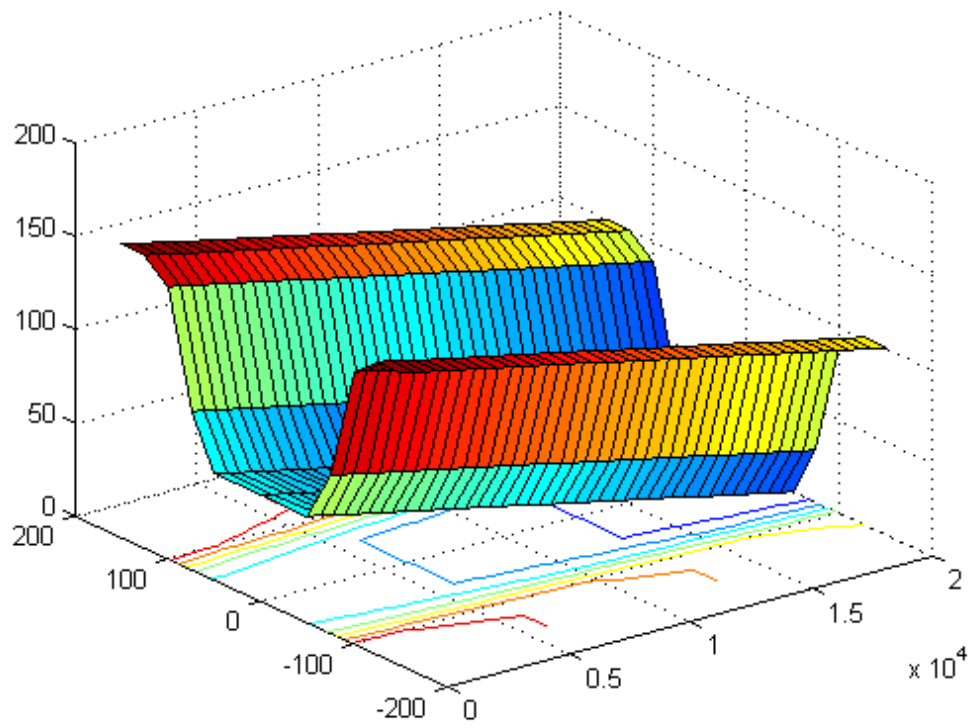


圖 86 10 分鐘後底床高程(圓弧崩坍機制， $\gamma_{bank} + 25\%$)

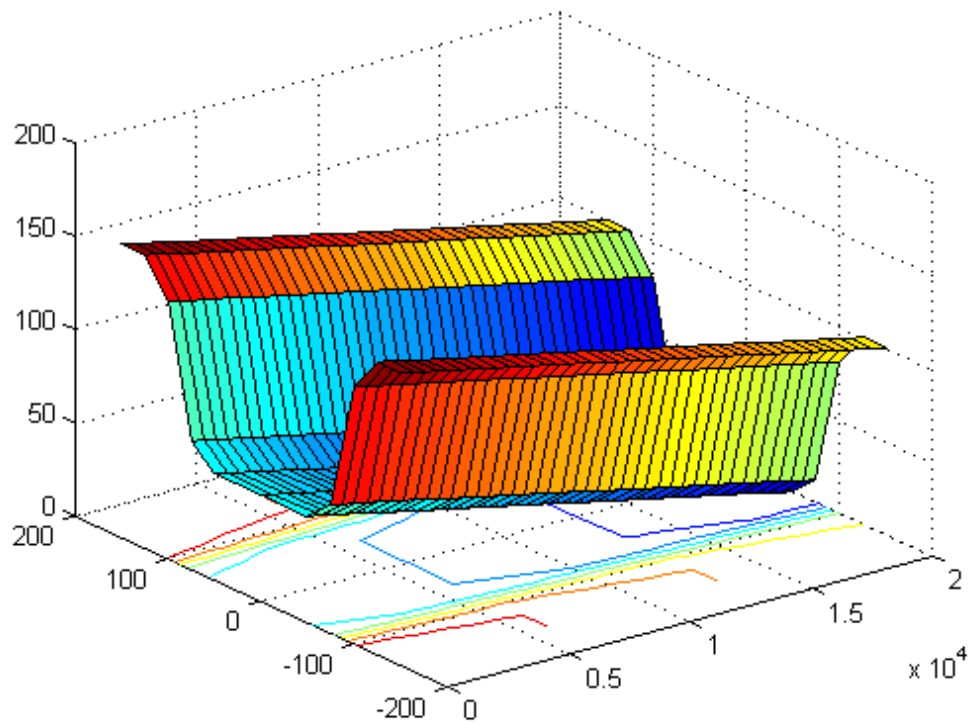


圖 87 20 分鐘後底床高程(圓弧崩坍機制， $\gamma_{bank} + 25\%$)

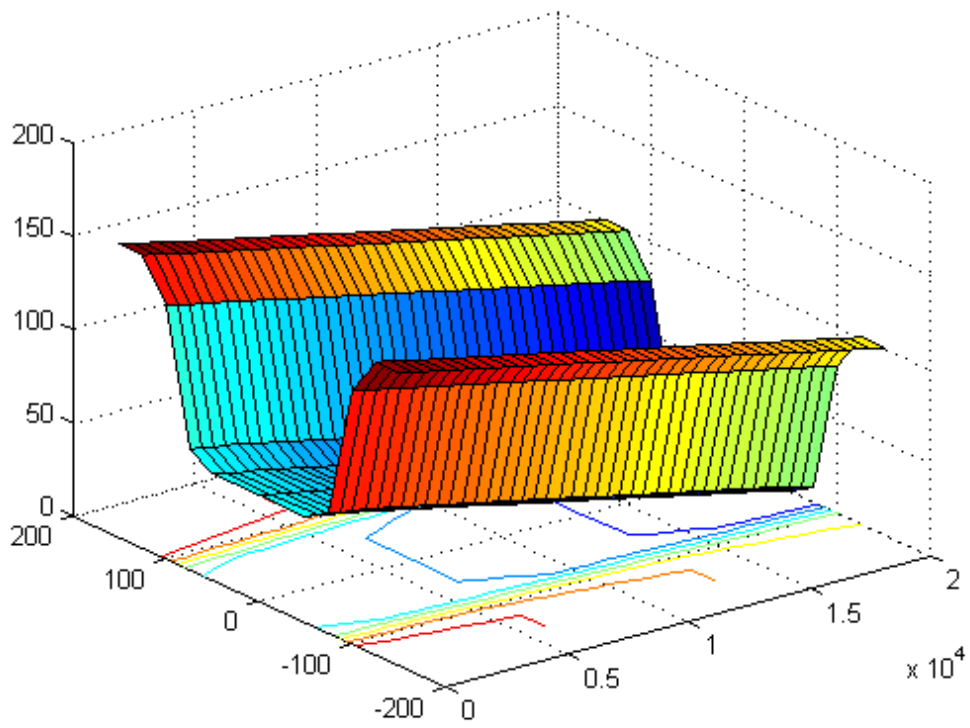


圖 88 30 分鐘後底床高程(圓弧崩坍機制， $\gamma_{bank} + 25\%$)

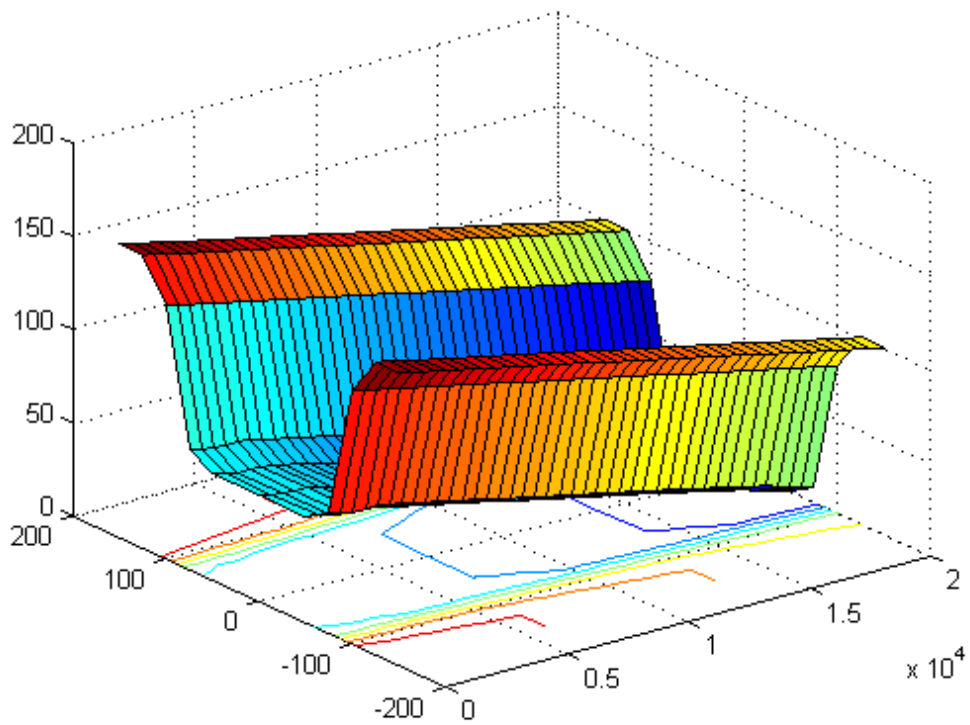


圖 89 40 分鐘後底床高程(圓弧崩坍機制， $\gamma_{bank} + 25\%$)

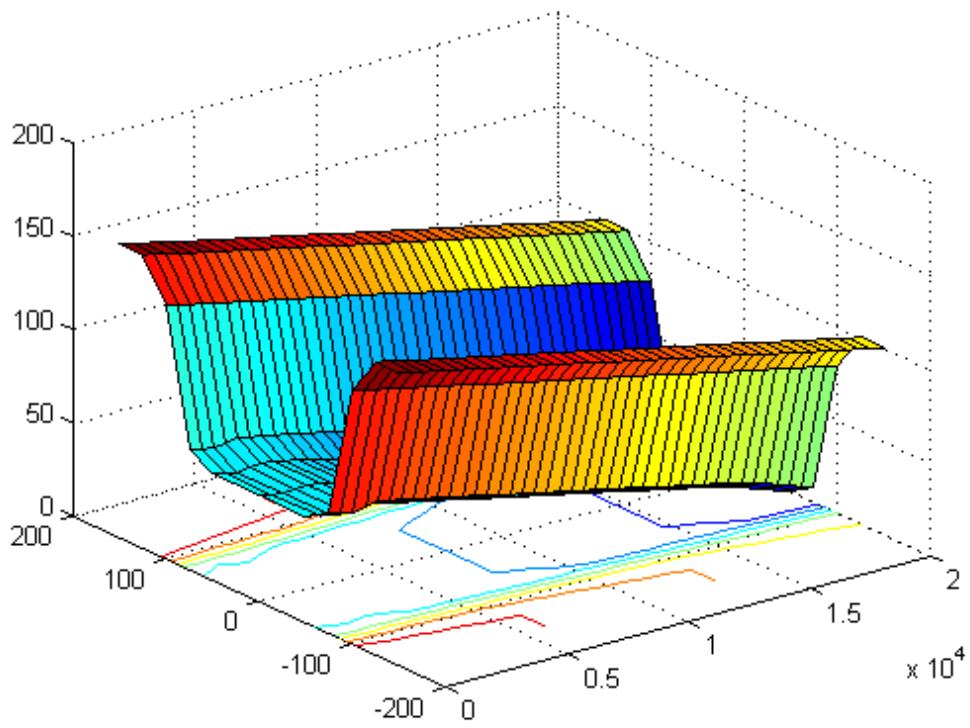


圖 90 50 分鐘後底床高程(圓弧崩坍機制， $\gamma_{bank} + 25\%$)

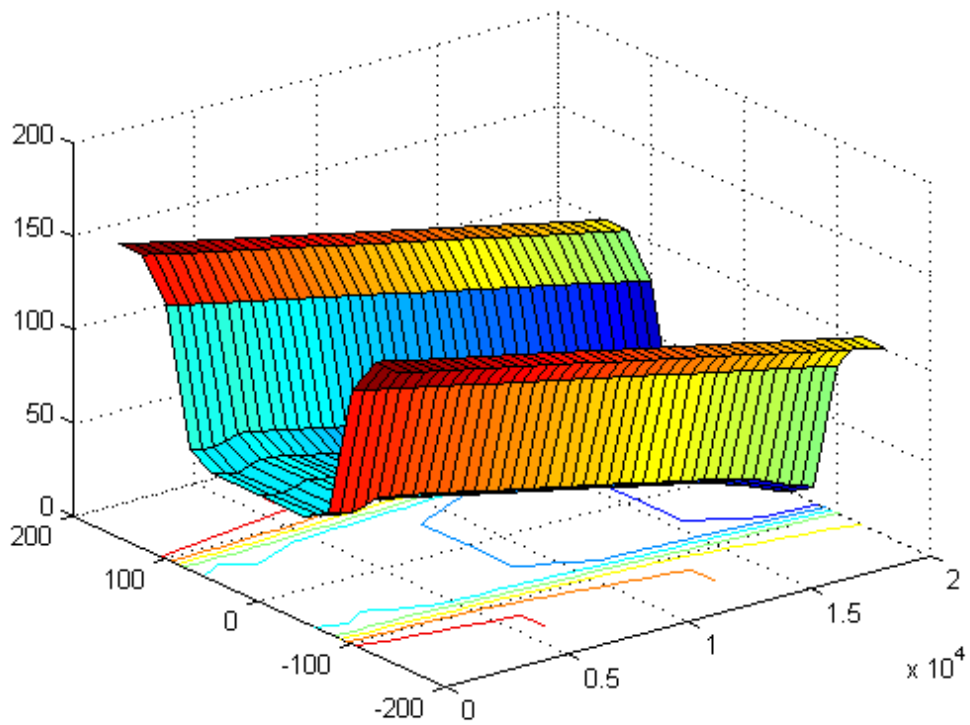


圖 91 60 分鐘後底床高程(圓弧崩坍機制， $\gamma_{bank} + 25\%$)

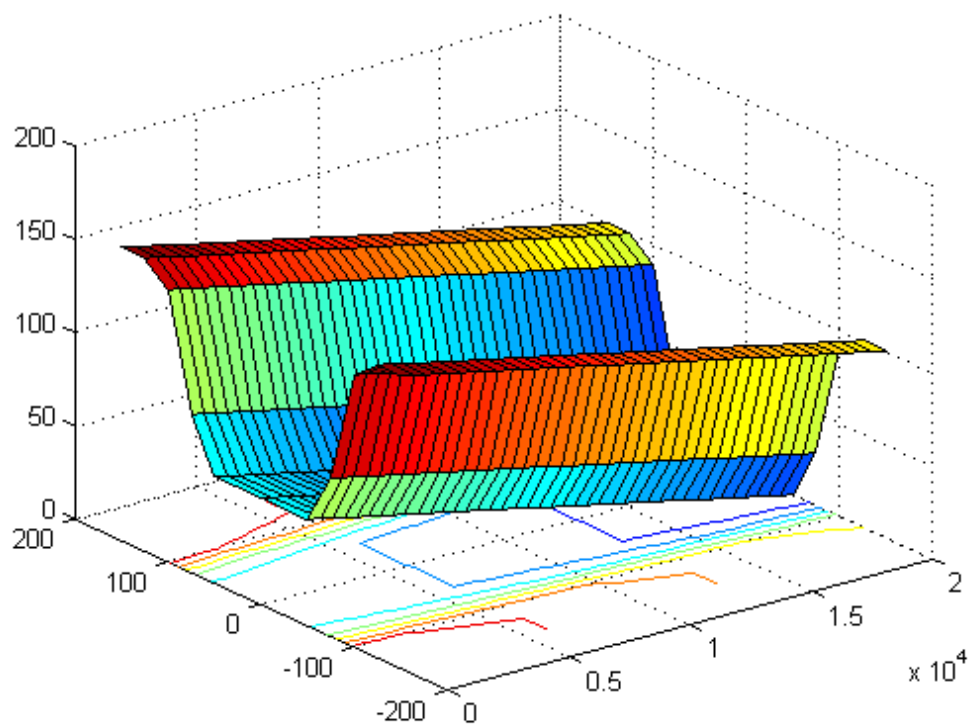


圖 92 10 分鐘後底床高程(圓弧崩坍機制， $\gamma_{bank} - 25\%$)

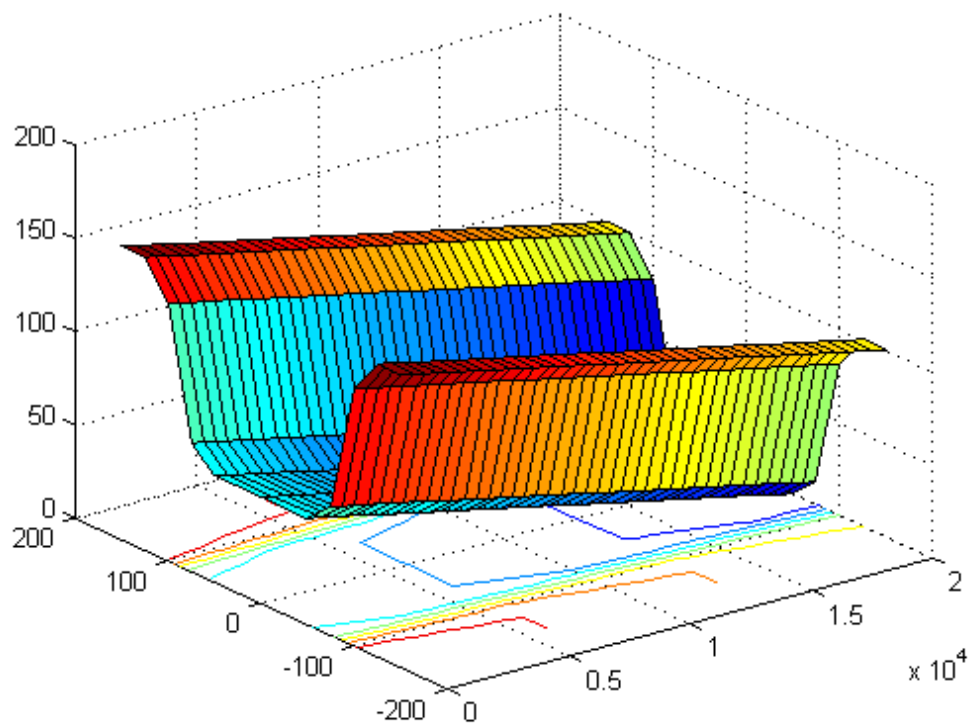


圖 93 20 分鐘後底床高程(圓弧崩坍機制， $\gamma_{bank} - 25\%$)

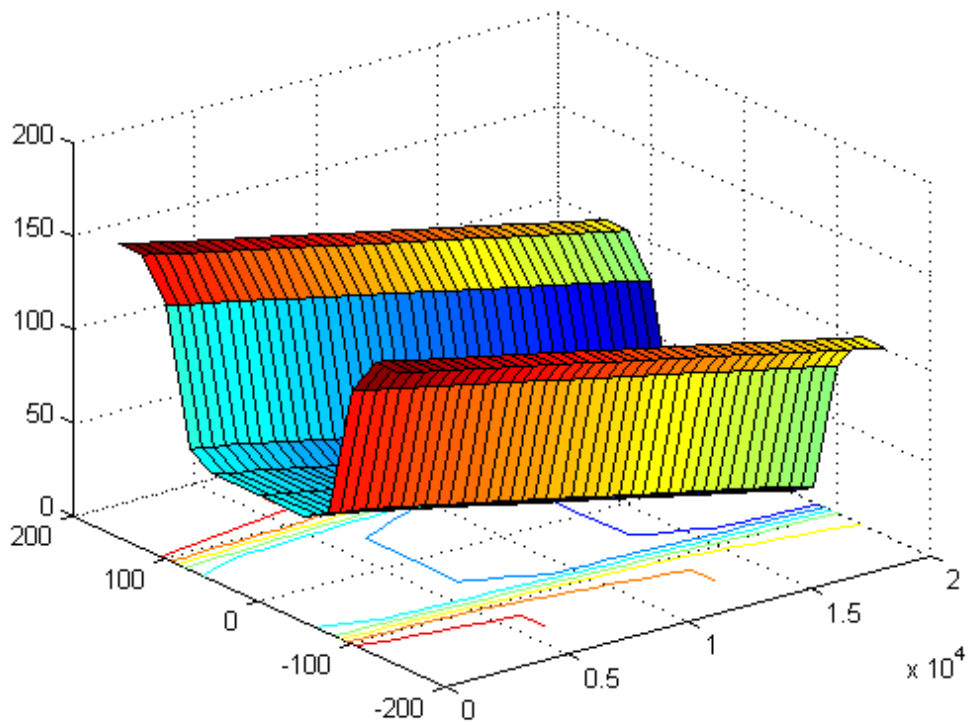


圖 94 30 分鐘後底床高程(圓弧崩坍機制， $\gamma_{bank} - 25\%$)

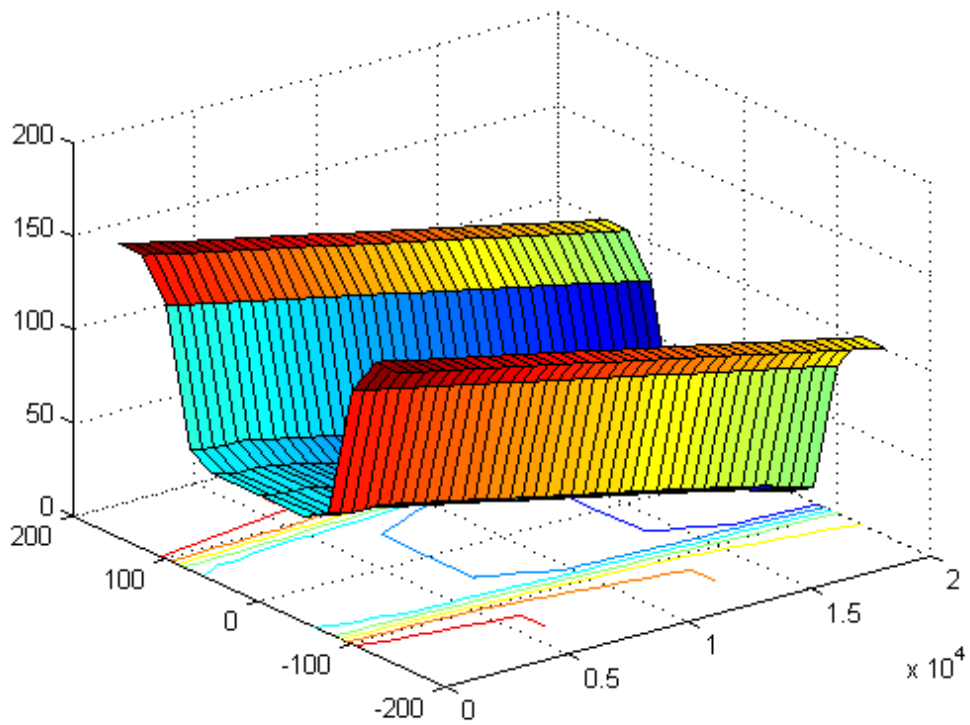


圖 95 40 分鐘後底床高程(圓弧崩坍機制， $\gamma_{bank} - 25\%$)

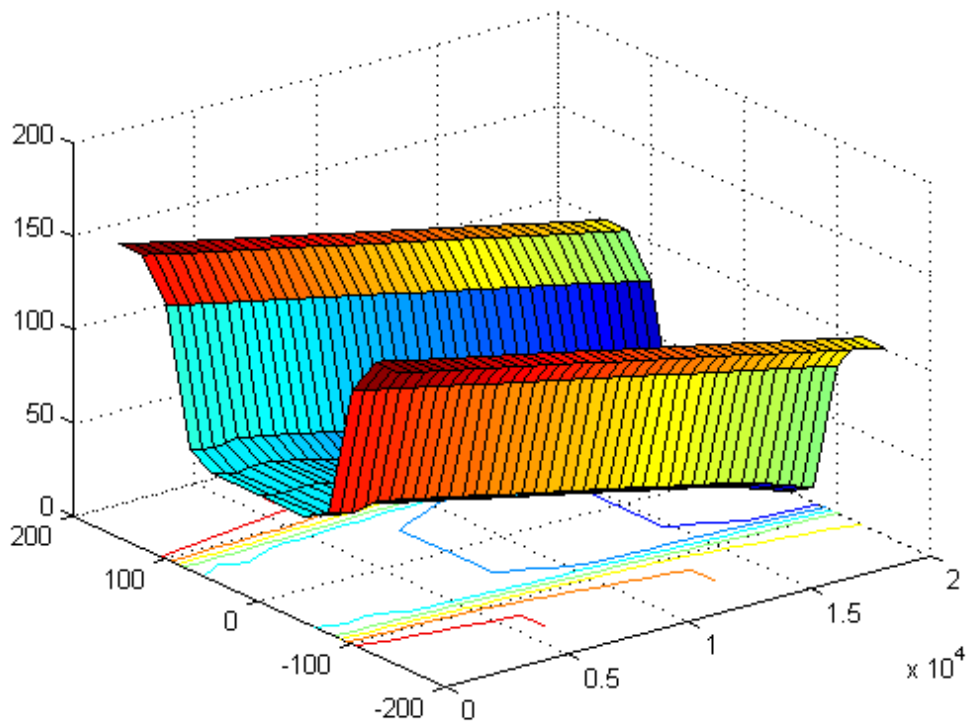


圖 96 50 分鐘後底床高程(圓弧崩坍機制， $\gamma_{bank} = 25\%$)

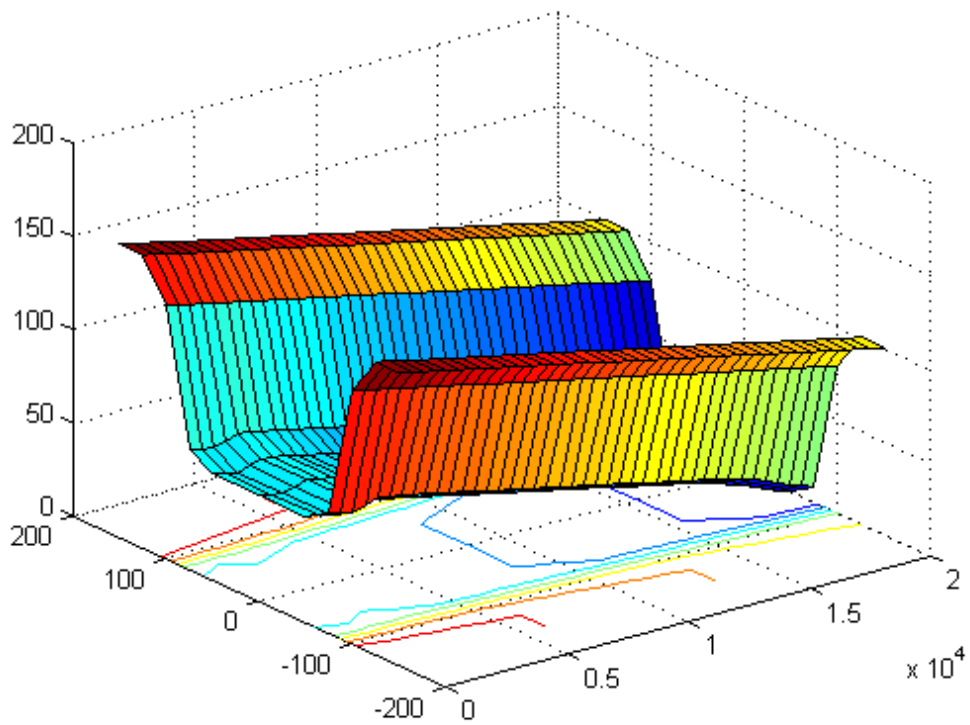


圖 97 60 分鐘後底床高程(圓弧崩坍機制， $\gamma_{bank} = 25\%$)

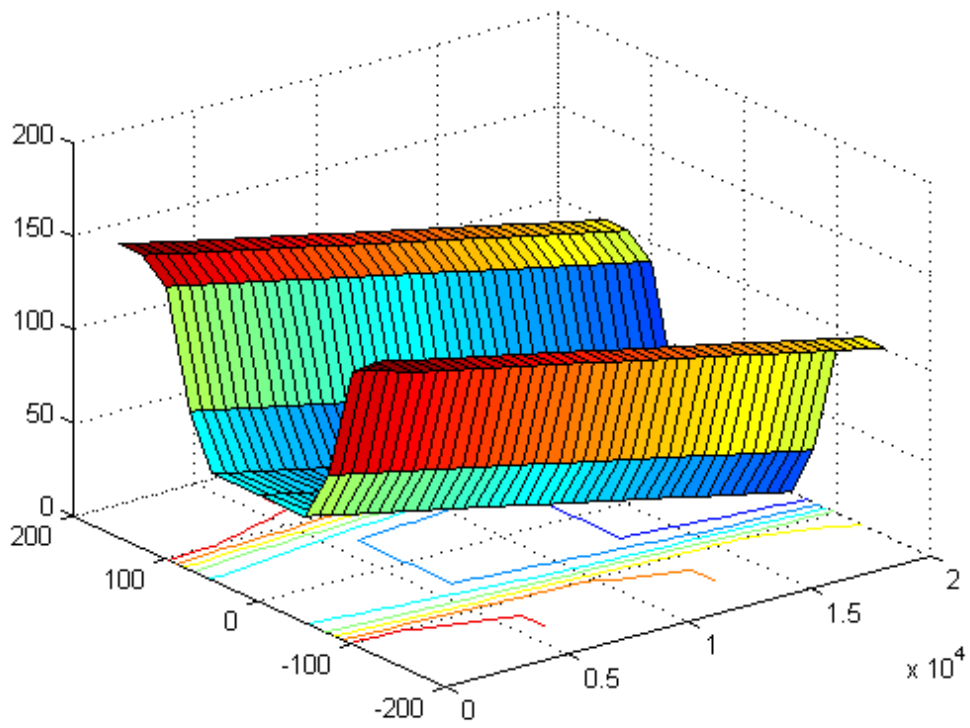


圖 98 10 分鐘後底床高程(圓弧崩坍機制， $C_{coh}+25\%$)

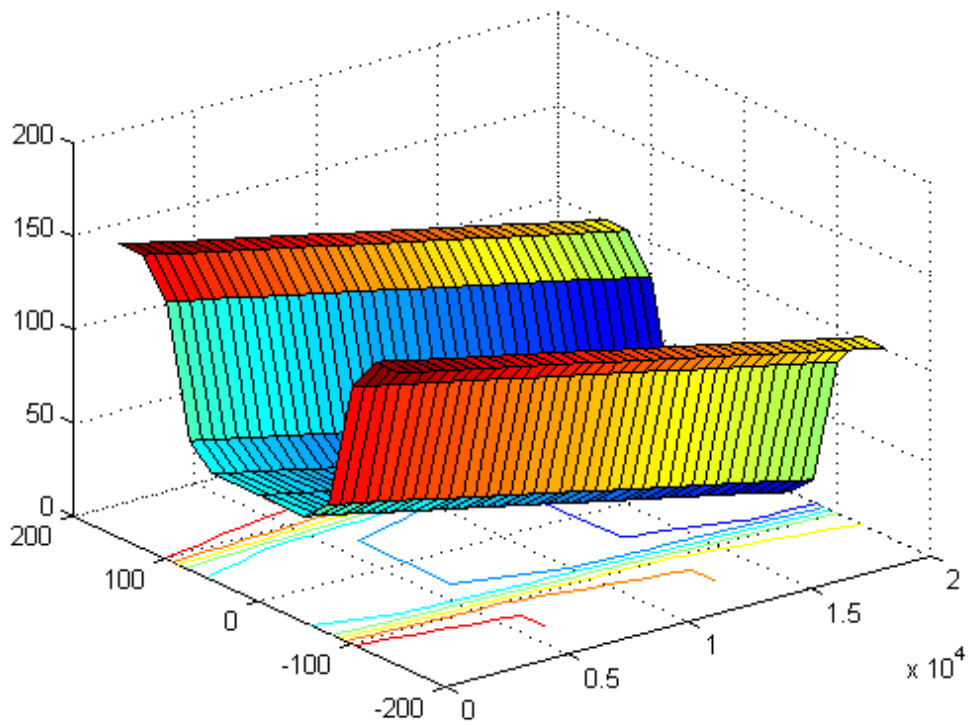


圖 99 20 分鐘後底床高程(圓弧崩坍機制， $C_{coh}+25\%$)

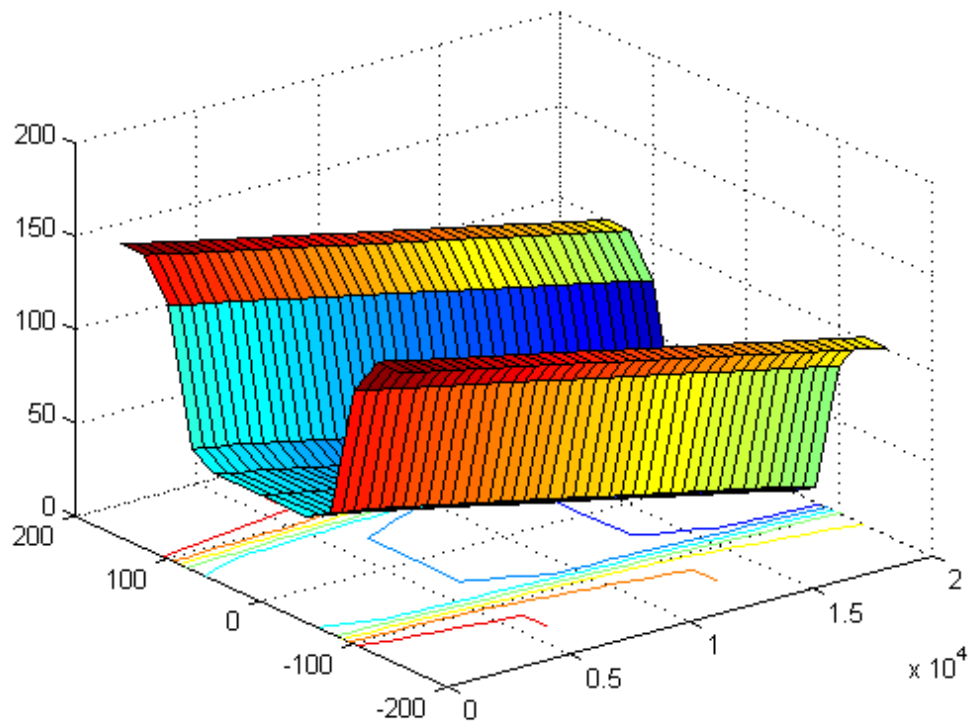


圖 100 30 分鐘後底床高程(圓弧崩坍機制， $C_{coh}+25\%$)

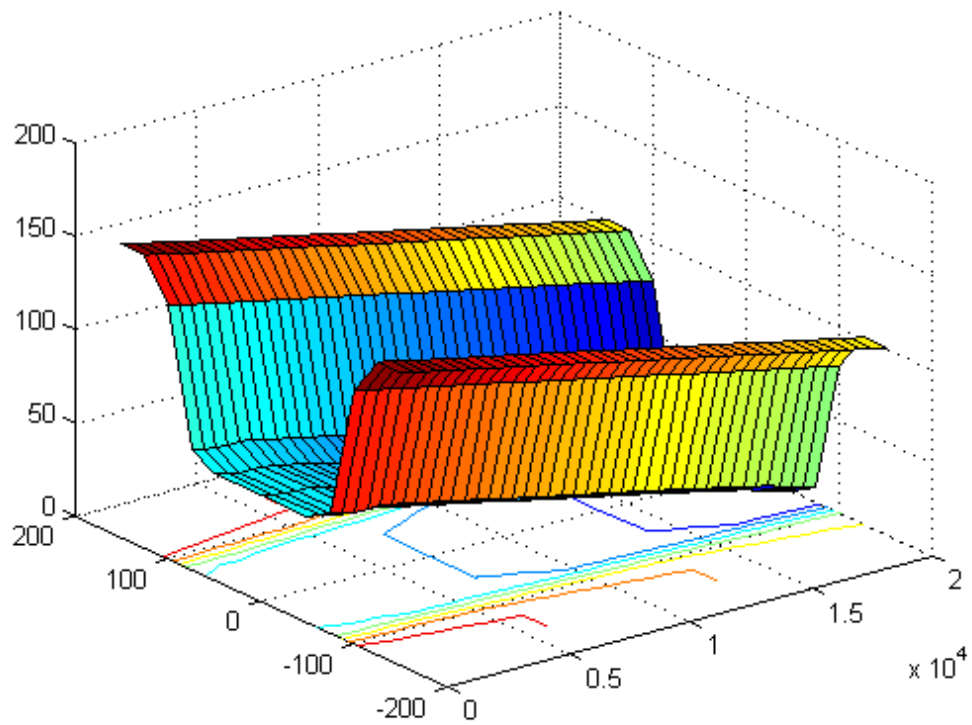


圖 101 40 分鐘後底床高程(圓弧崩坍機制， $C_{coh}+25\%$)

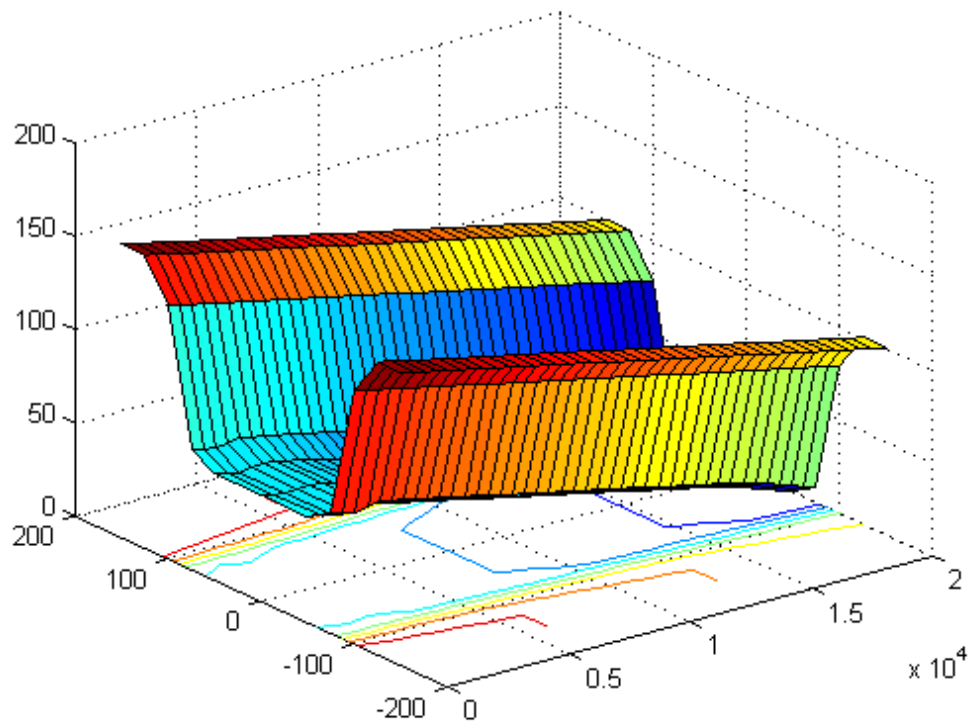


圖 102 50 分鐘後底床高程(圓弧崩坍機制， $C_{coh}+25\%$)

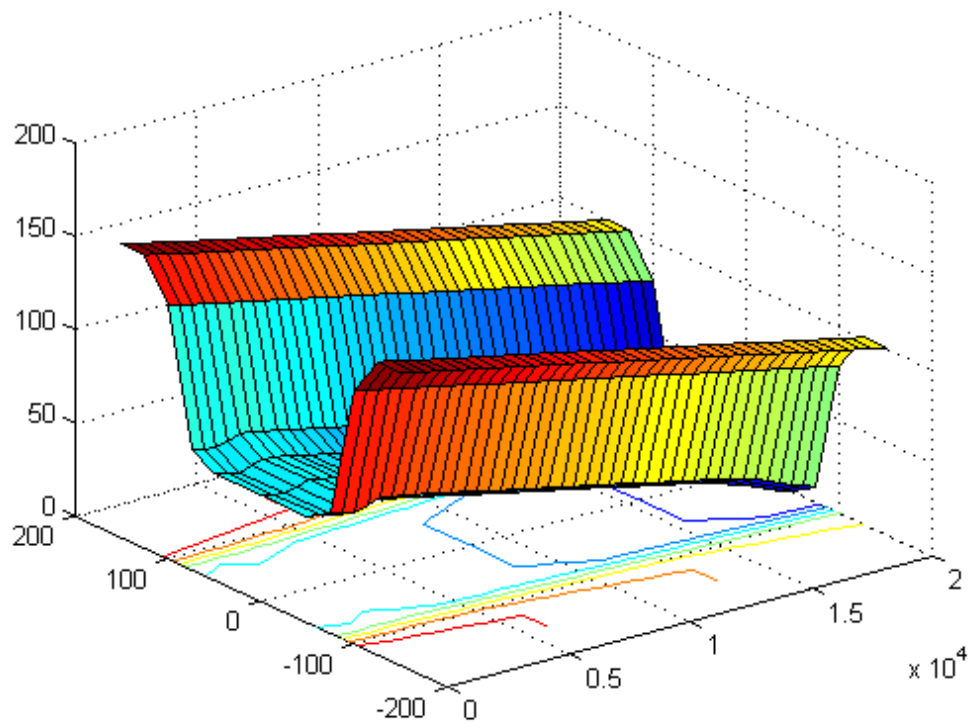


圖 103 60 分鐘後底床高程(圓弧崩坍機制， $C_{coh}+25\%$)

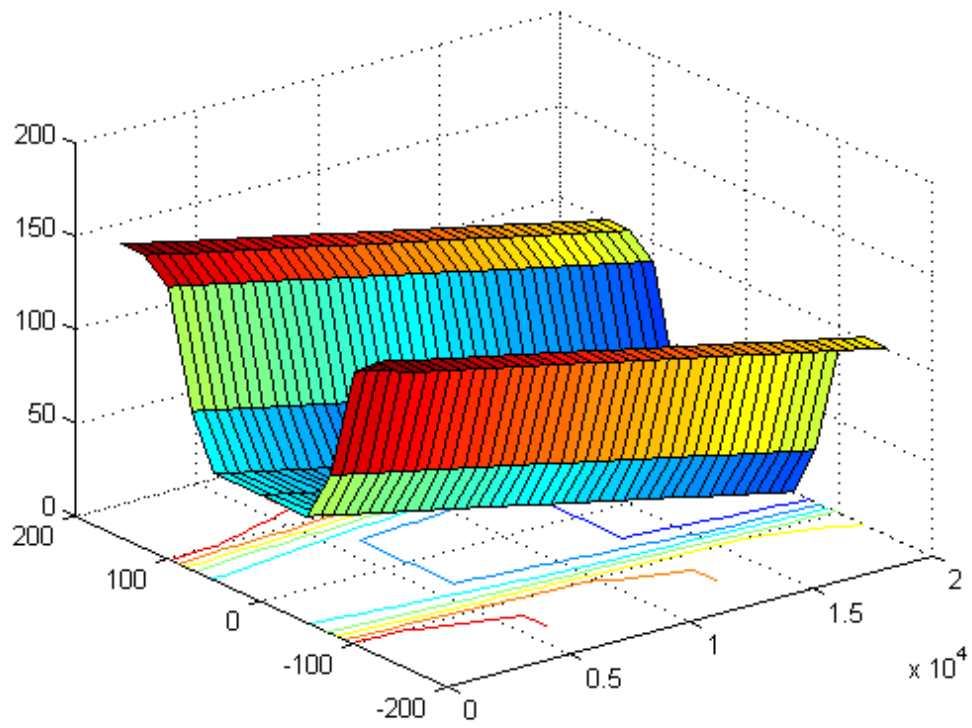


圖 104 10 分鐘後底床高程(圓弧崩坍機制， $C_{coh} = 25\%$)

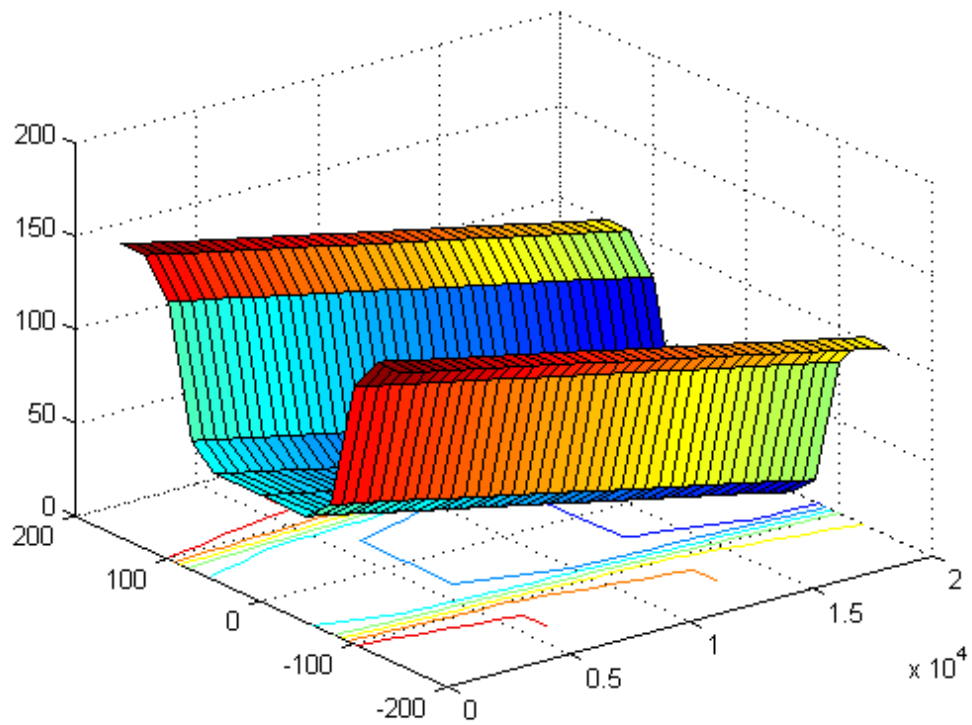


圖 105 20 分鐘後底床高程(圓弧崩坍機制， $C_{coh} = 25\%$)

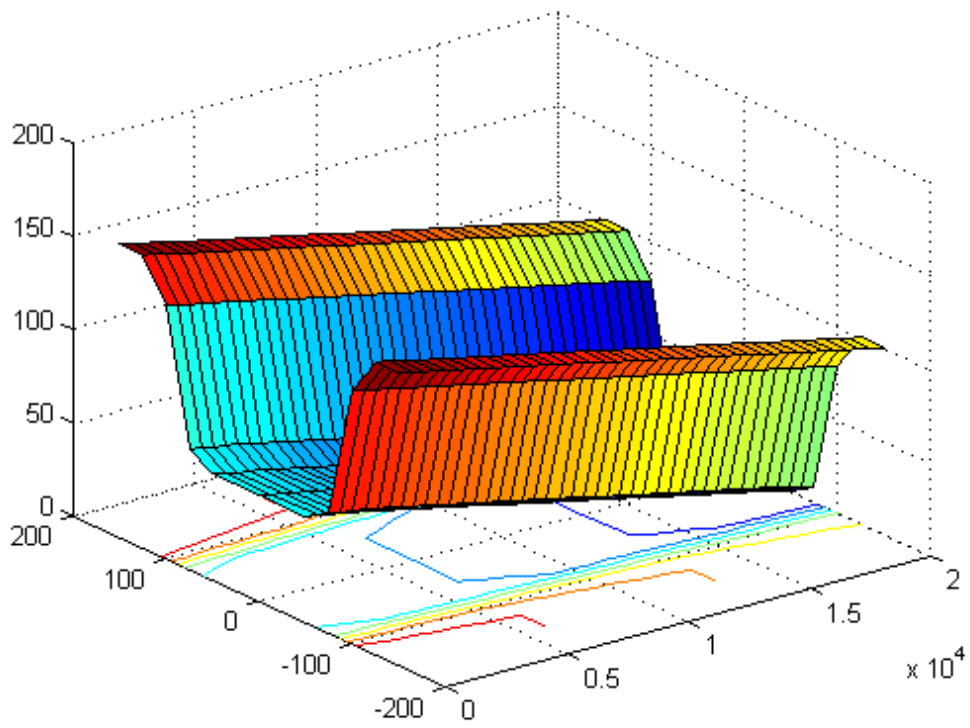


圖 106 30 分鐘後底床高程(圓弧崩坍機制， $C_{coh} = 25\%$)

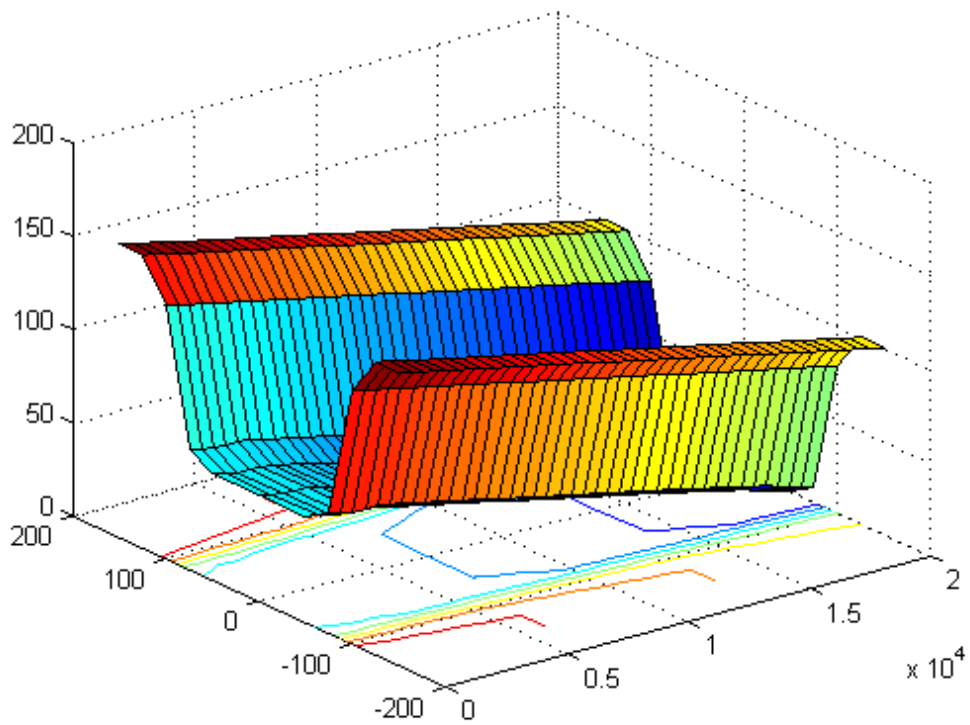


圖 107 40 分鐘後底床高程(圓弧崩坍機制， $C_{coh} = 25\%$)

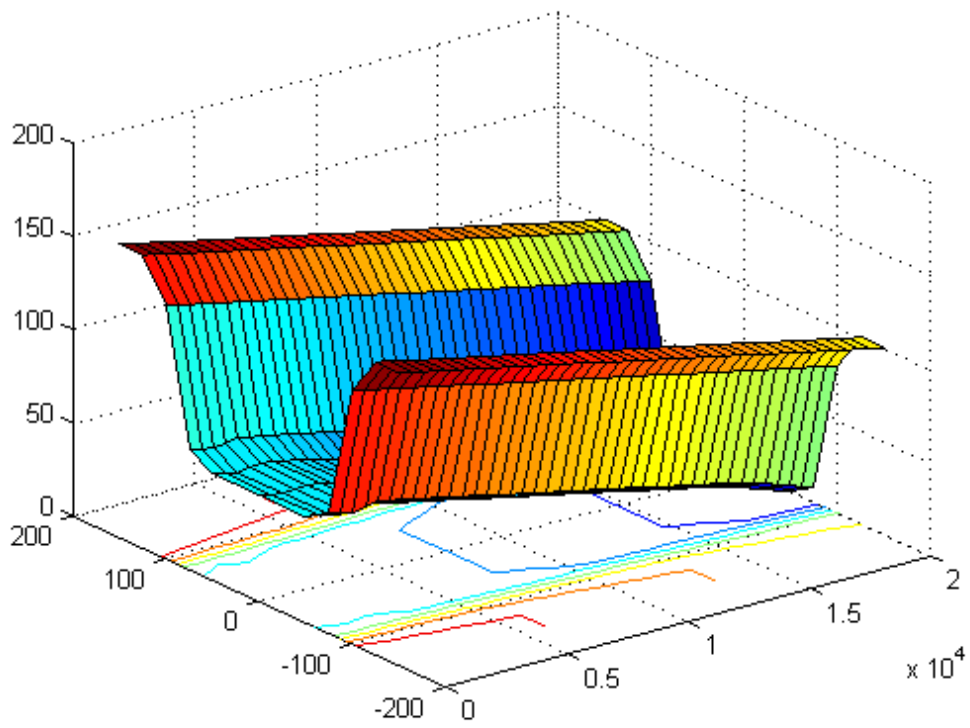


圖 108 50 分鐘後底床高程(圓弧崩坍機制， $C_{coh} = 25\%$)

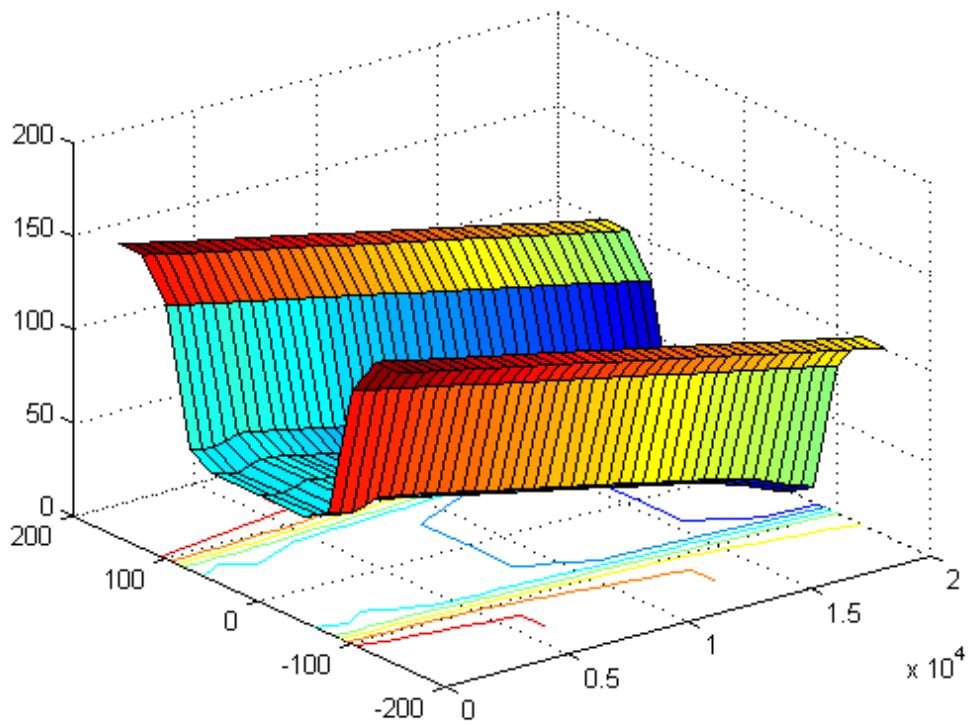


圖 109 60 分鐘後底床高程(圓弧崩坍機制， $C_{coh} = 25\%$)

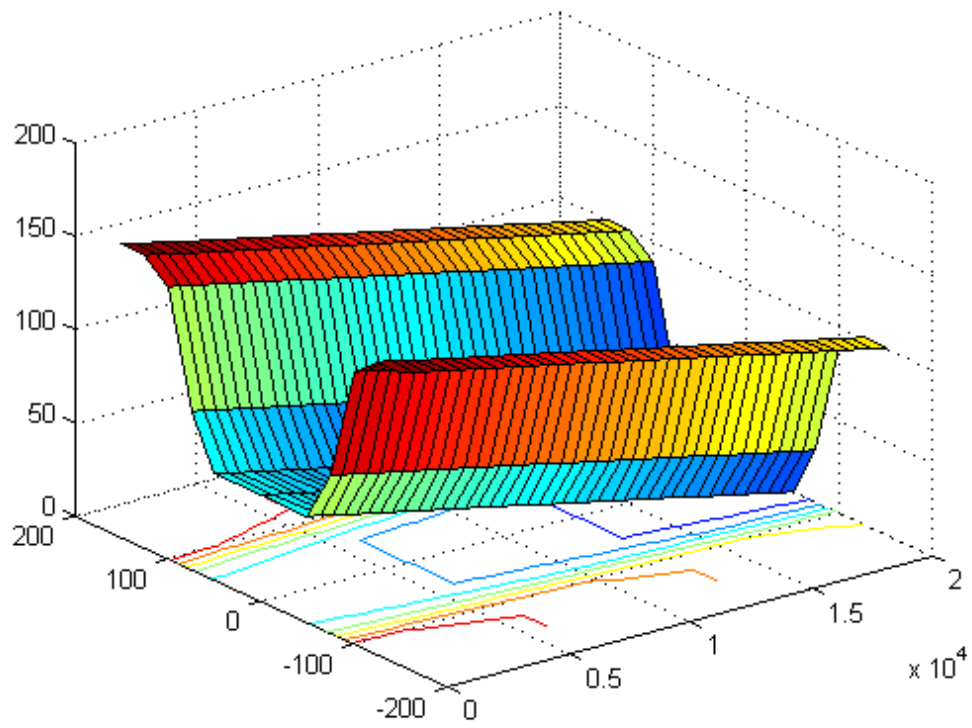


圖 110 10 分鐘後底床高程(圓弧崩坍機制， $\phi+25\%$)

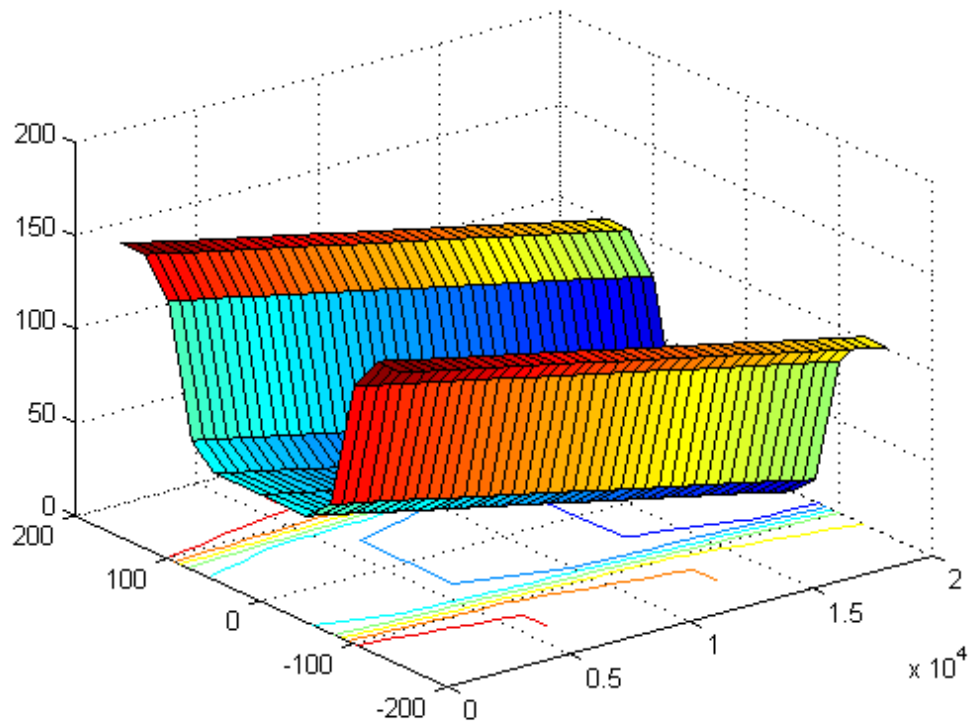


圖 111 20 分鐘後底床高程(圓弧崩坍機制， $\phi+25\%$)

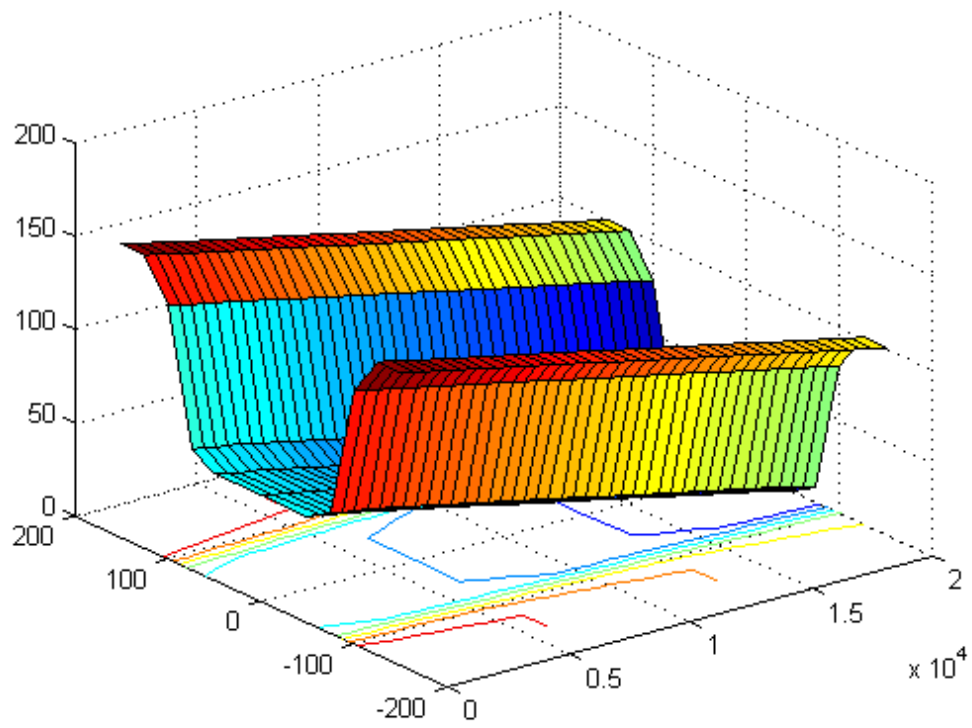


圖 112 30 分鐘後底床高程(圓弧崩坍機制， $\phi+25\%$)

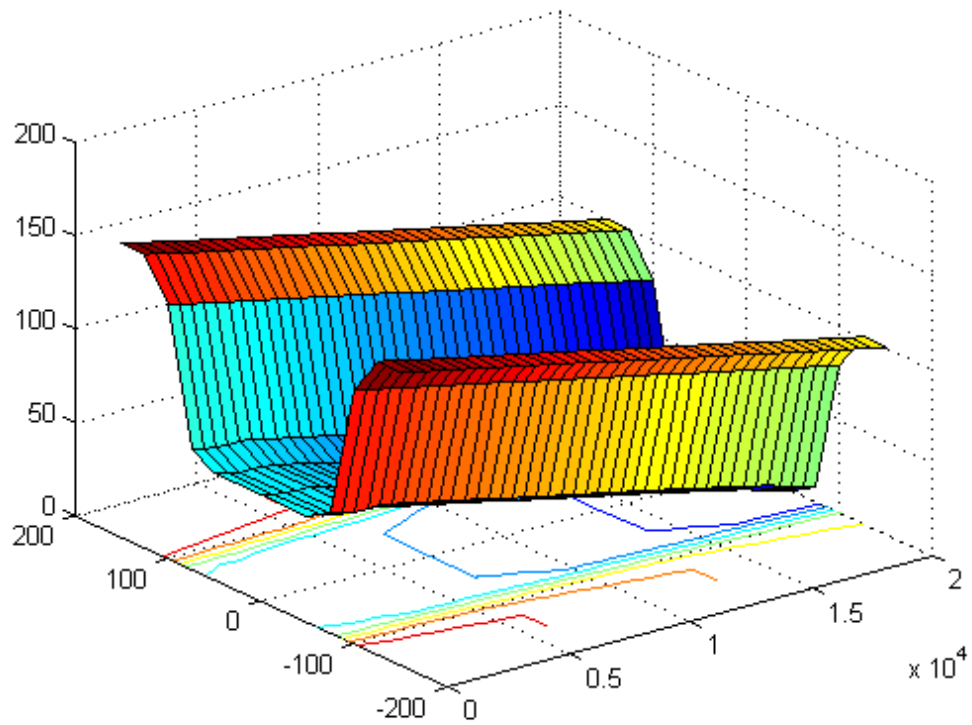


圖 113 40 分鐘後底床高程(圓弧崩坍機制， $\phi+25\%$)

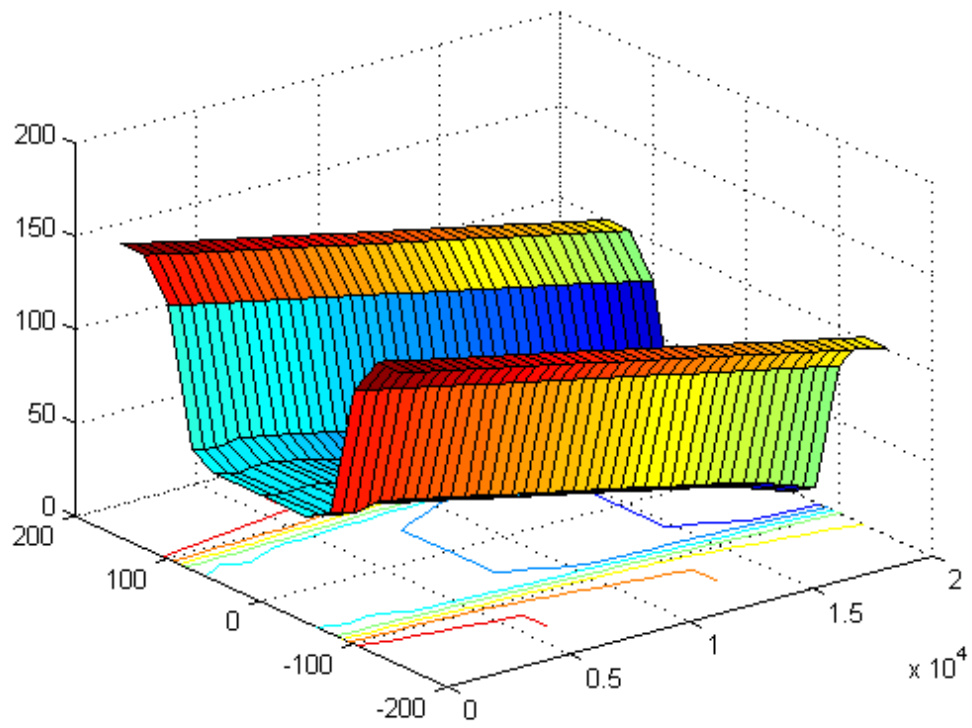


圖 114 50 分鐘後底床高程(圓弧崩坍機制， $\phi+25\%$)

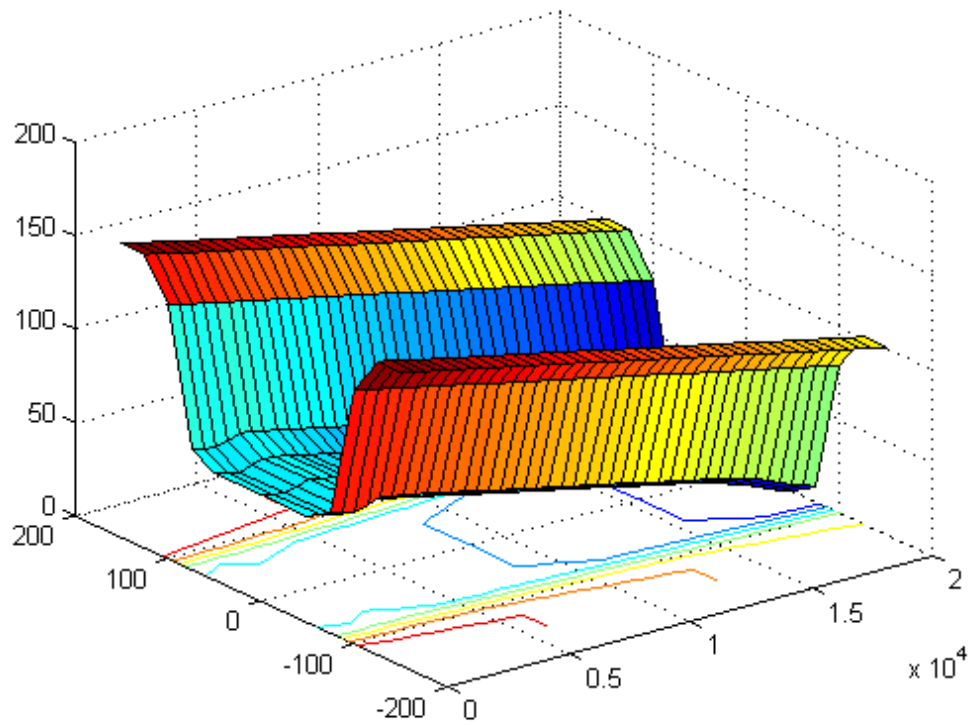


圖 115 60 分鐘後底床高程(圓弧崩坍機制， $\phi+25\%$)

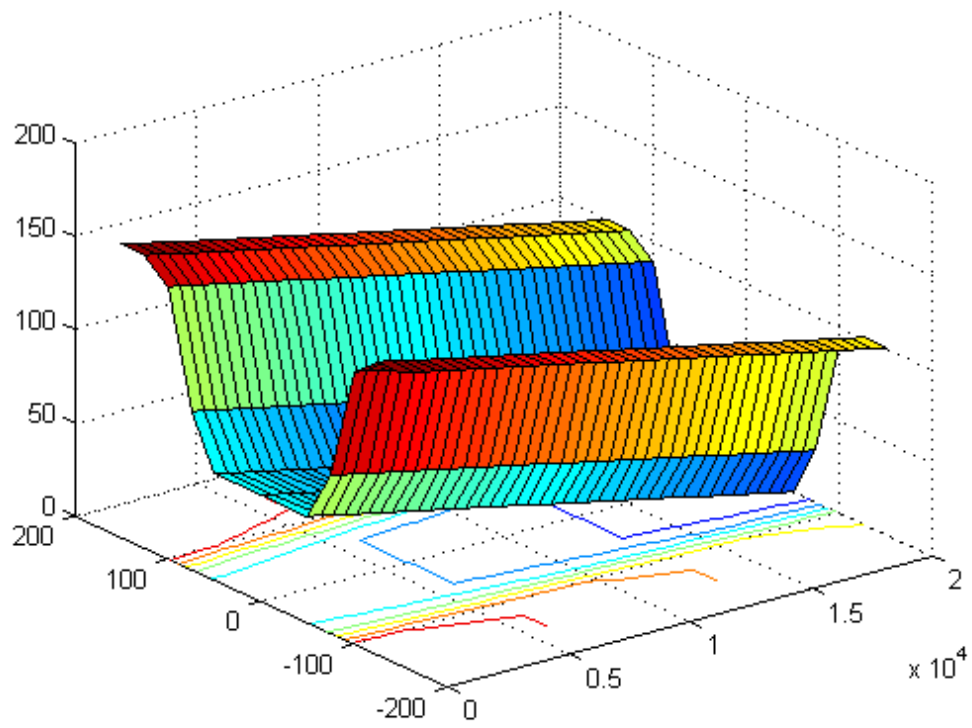


圖 116 10 分鐘後底床高程(圓弧崩坍機制， $\phi = 25\%$)

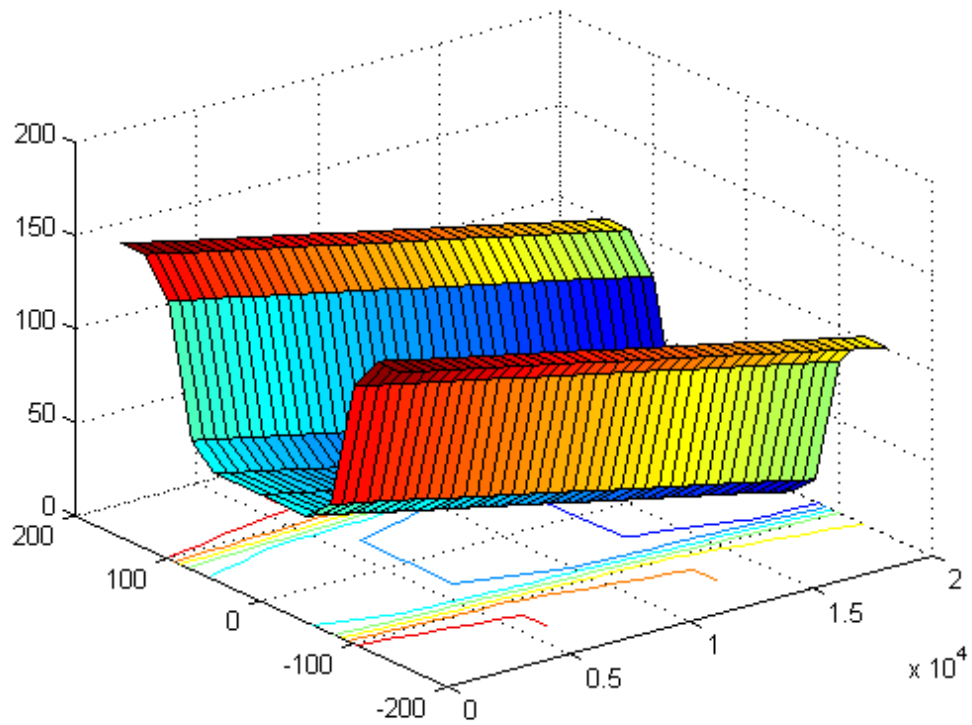


圖 117 20 分鐘後底床高程(圓弧崩坍機制， $\phi = 25\%$)

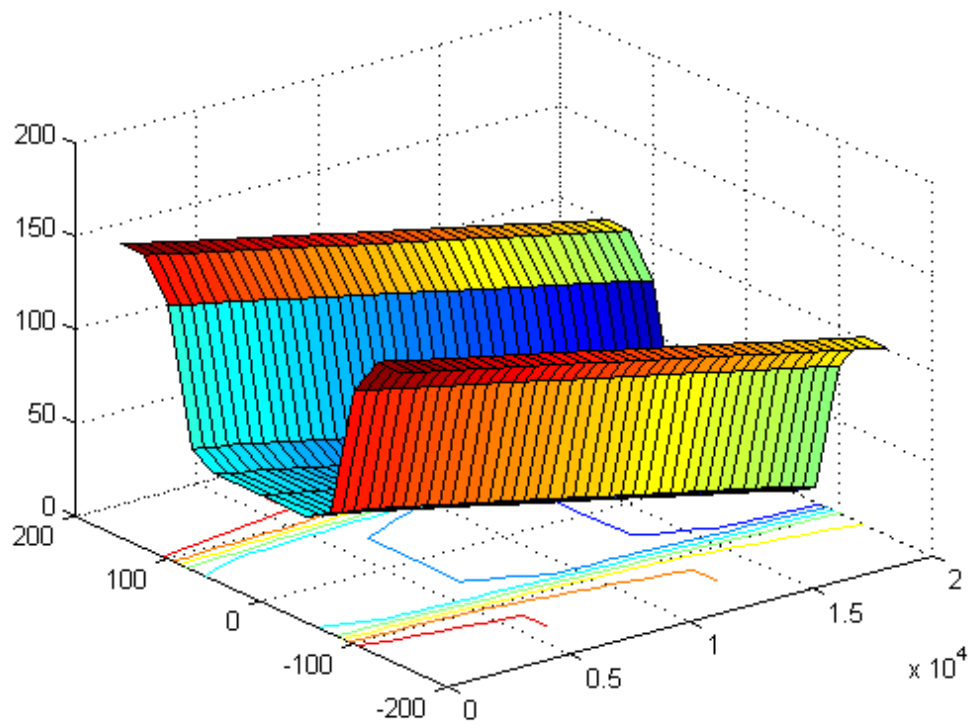


圖 118 30 分鐘後底床高程(圓弧崩坍機制， $\phi = 25\%$)

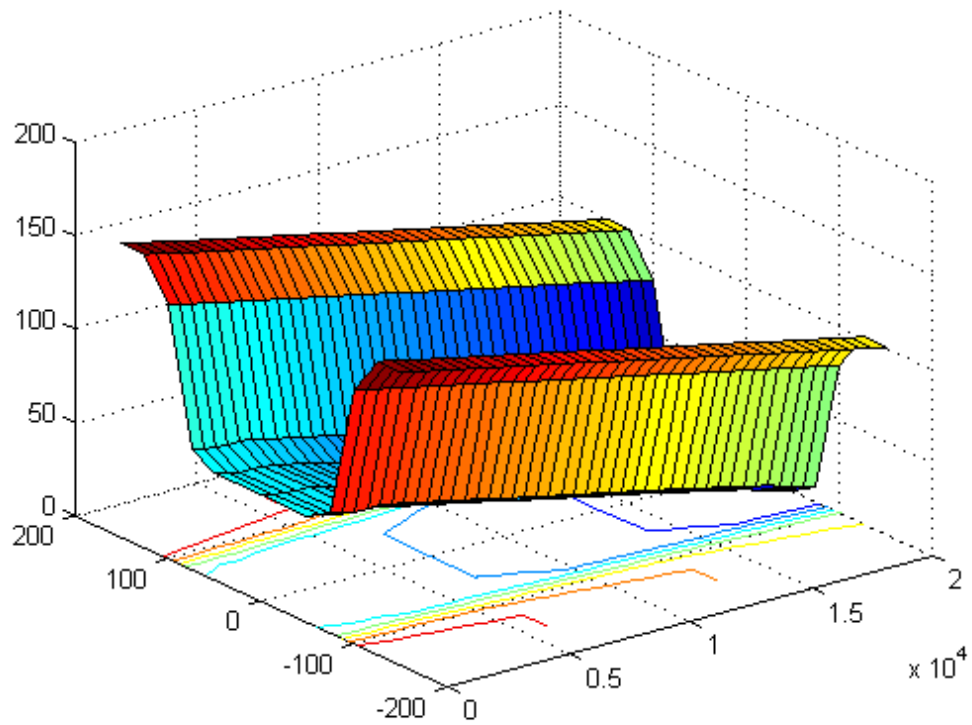


圖 119 40 分鐘後底床高程(圓弧崩坍機制， $\phi = 25\%$)

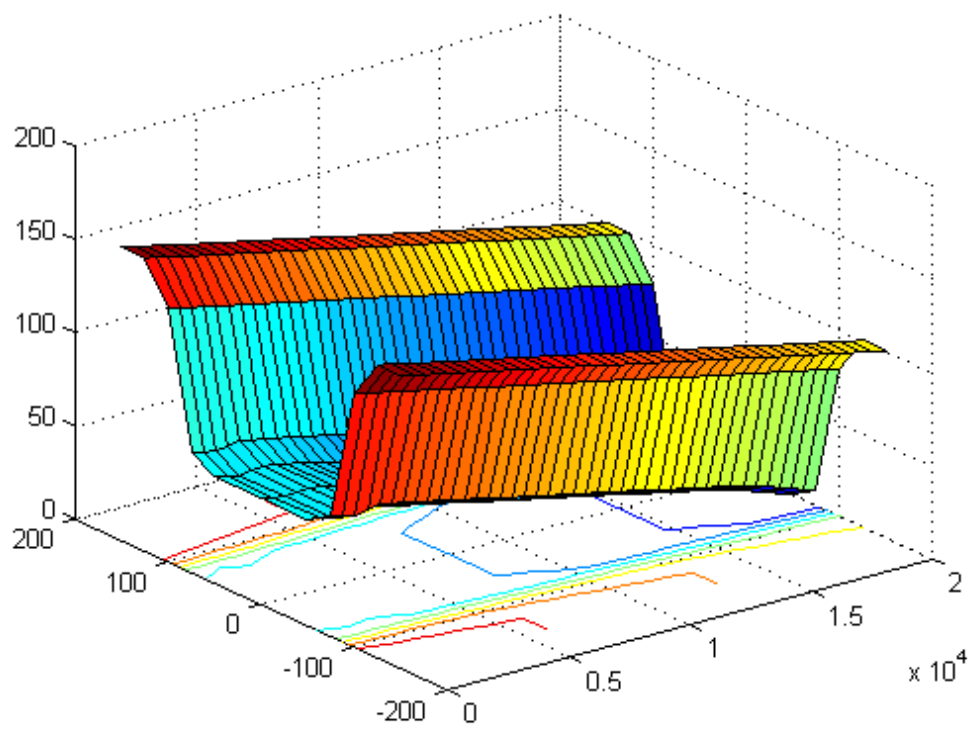


圖 120 50 分鐘後底床高程(圓弧崩坍機制， $\phi = 25\%$)

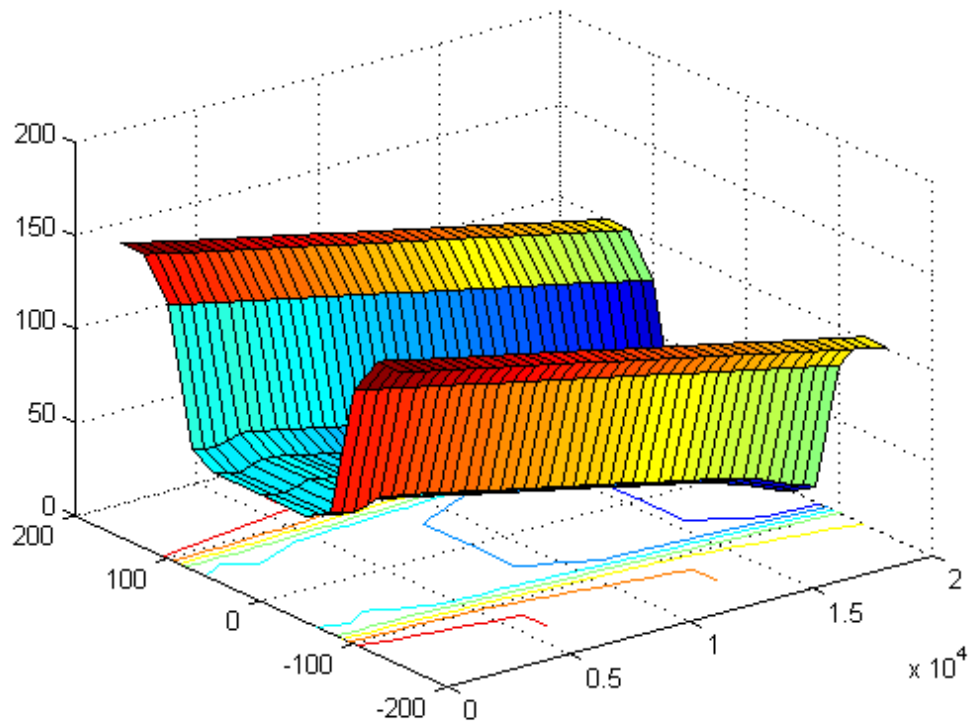


圖 121 60 分鐘後底床高程(圓弧崩坍機制， $\phi = 25\%$)

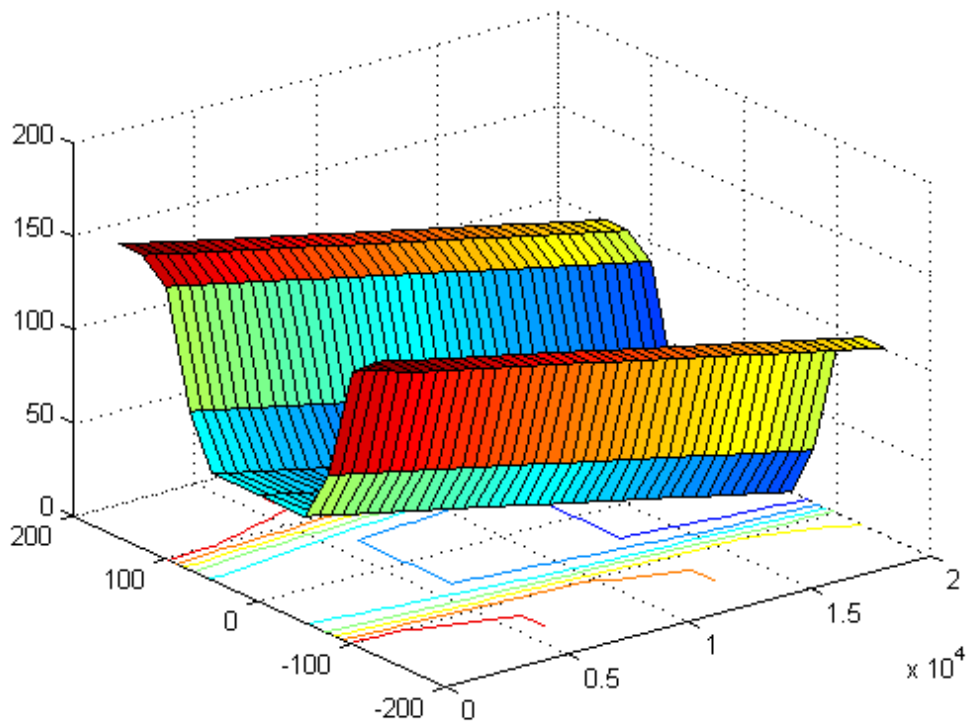


圖 122 10 分鐘後底床高程(圓弧崩坍機制， $\tau_c + 10\%$)

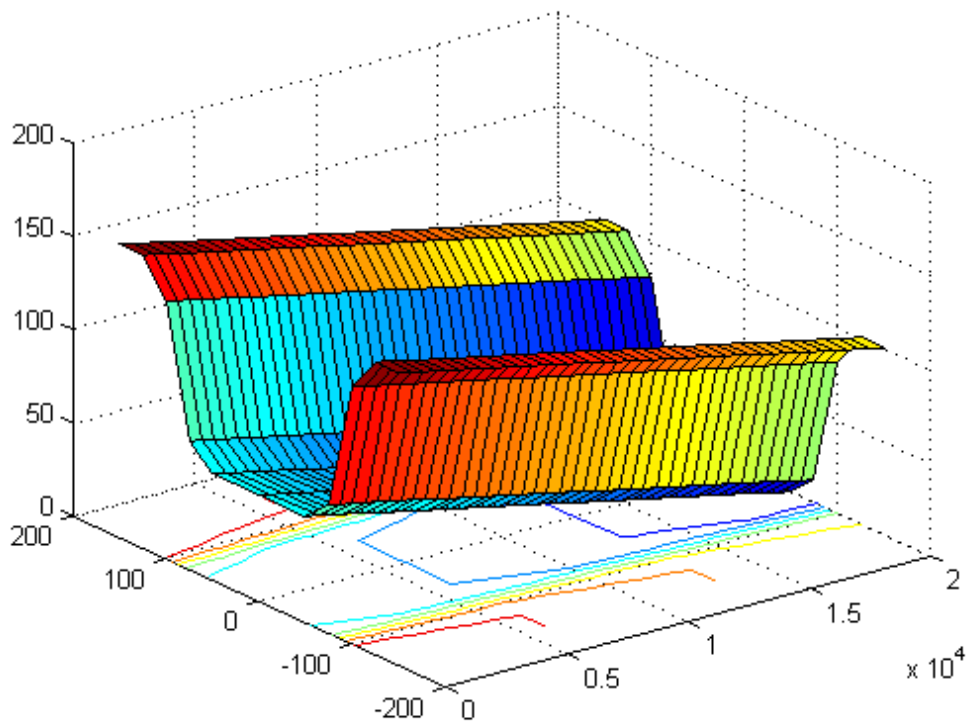


圖 123 20 分鐘後底床高程(圓弧崩坍機制， $\tau_c + 10\%$)

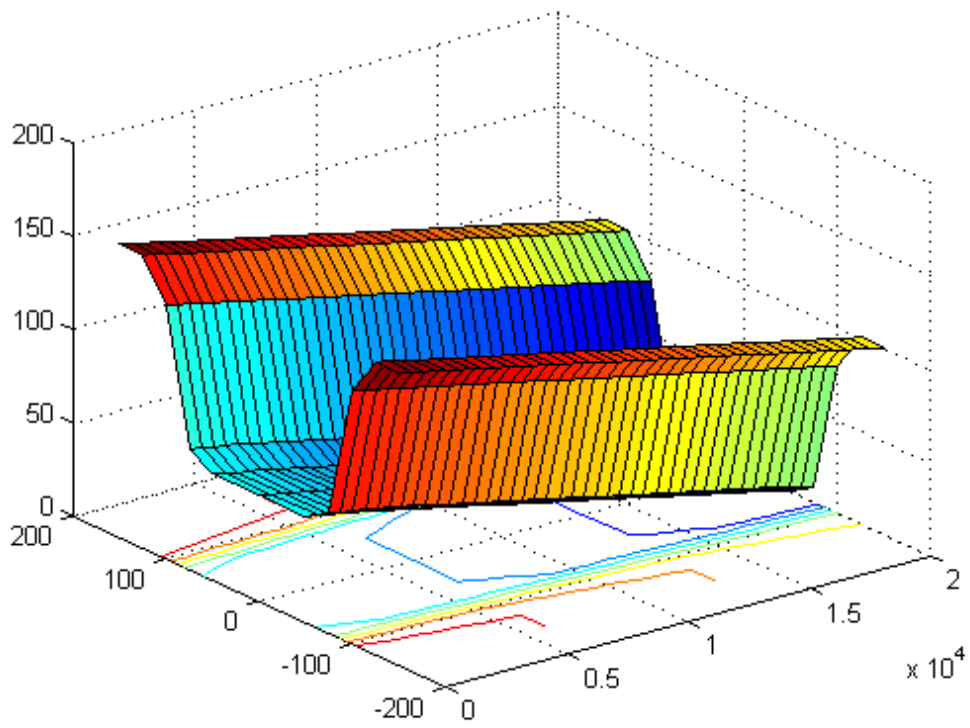


圖 124 30 分鐘後底床高程(圓弧崩坍機制， $\tau_c + 10\%$)

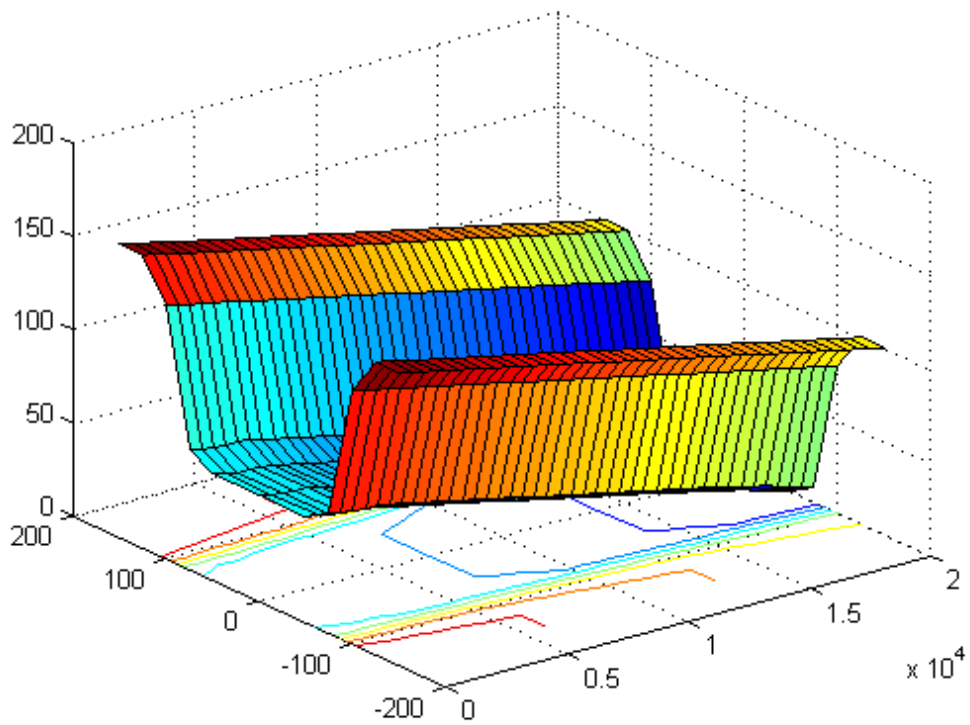


圖 125 40 分鐘後底床高程(圓弧崩坍機制， $\tau_c + 10\%$)

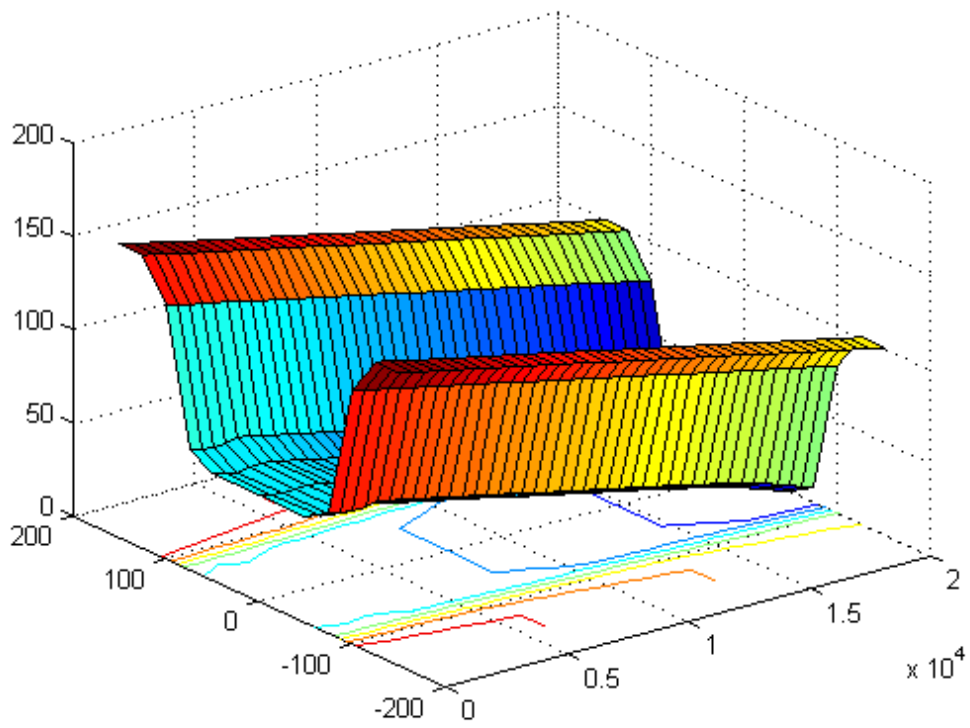


圖 126 50 分鐘後底床高程(圓弧崩坍機制， $\tau_c+10\%$)

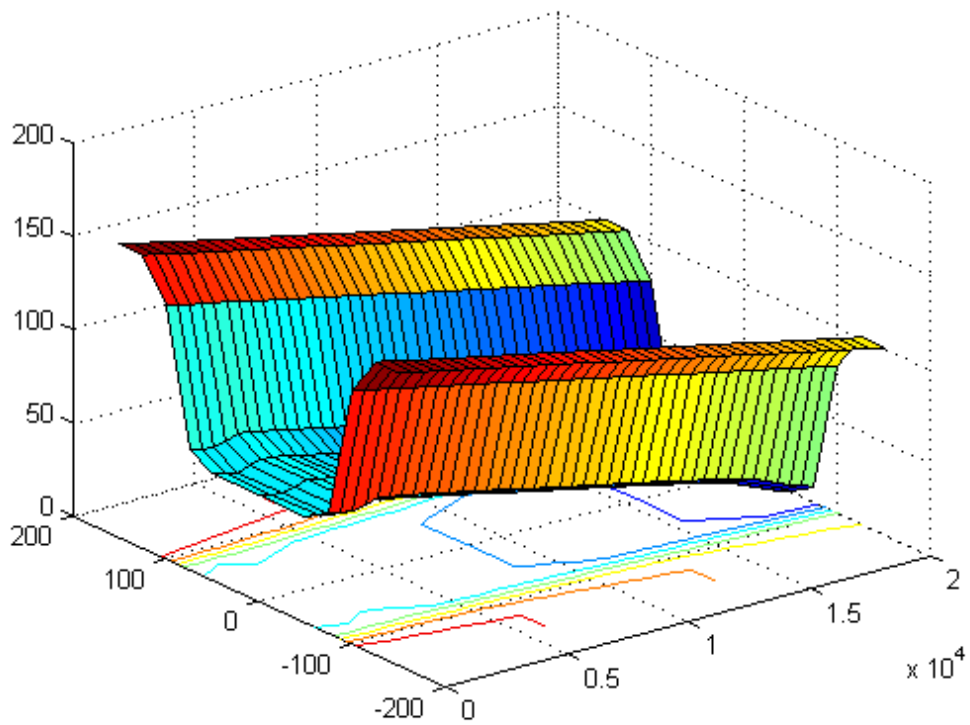


圖 127 60 分鐘後底床高程(圓弧崩坍機制， $\tau_c+10\%$)

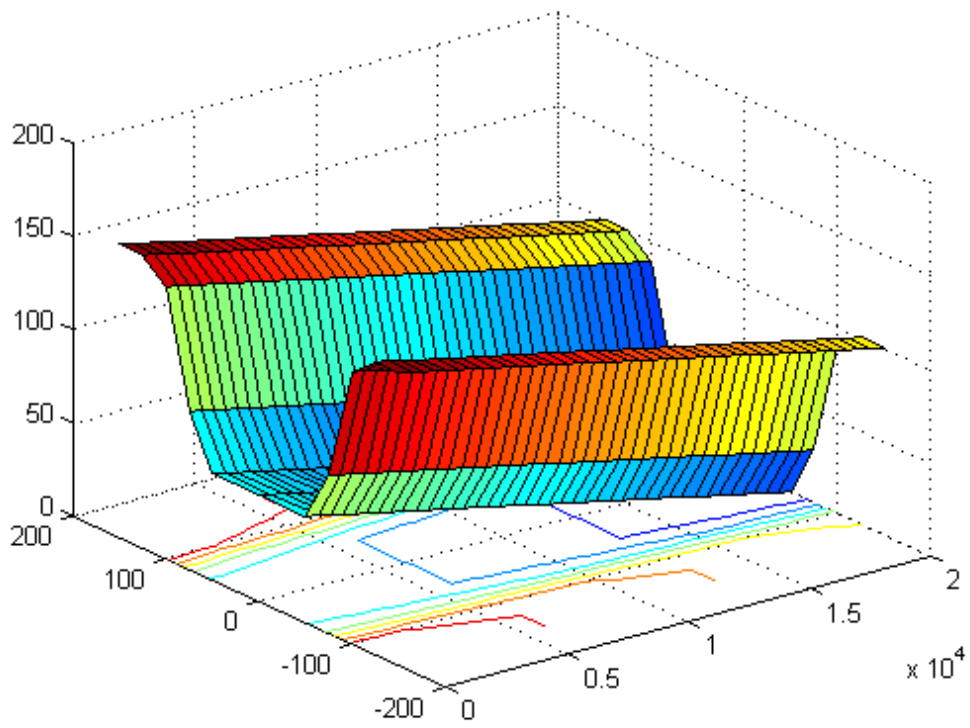


圖 128 10 分鐘後底床高程(圓弧崩坍機制， $\tau_c - 10\%$)

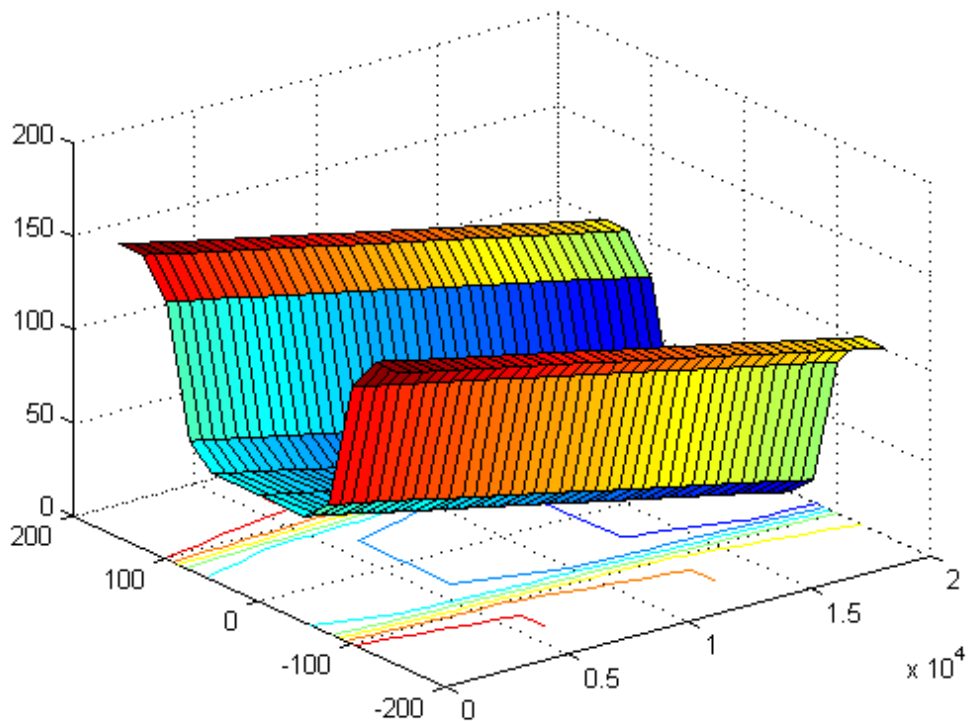


圖 129 20 分鐘後底床高程(圓弧崩坍機制， $\tau_c - 10\%$)

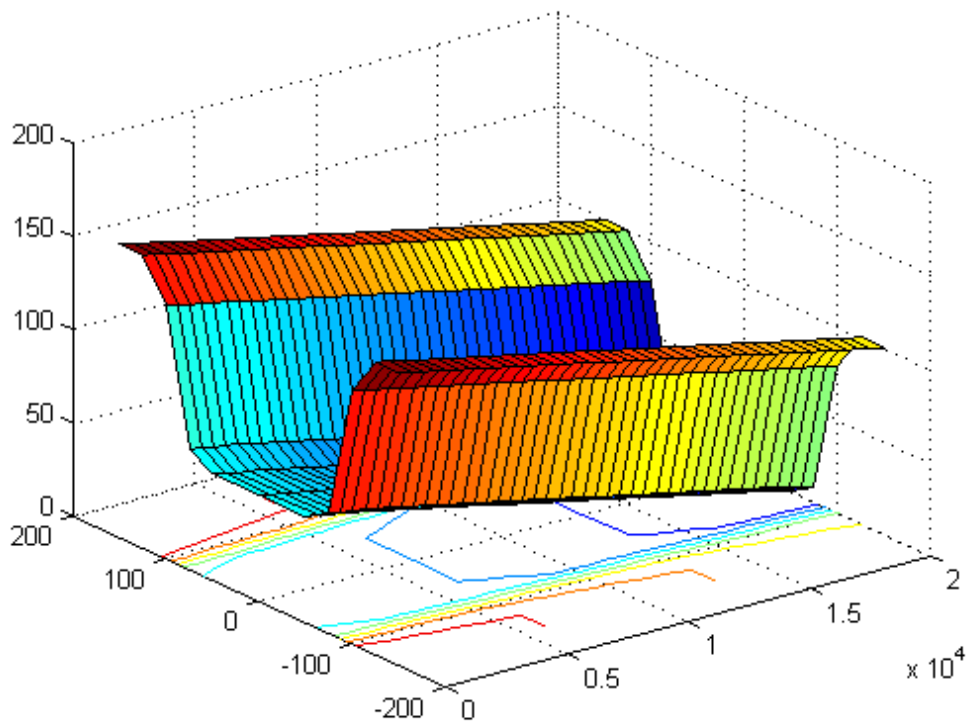


圖 130 30 分鐘後底床高程(圓弧崩坍機制, $\tau_c = 10\%$)

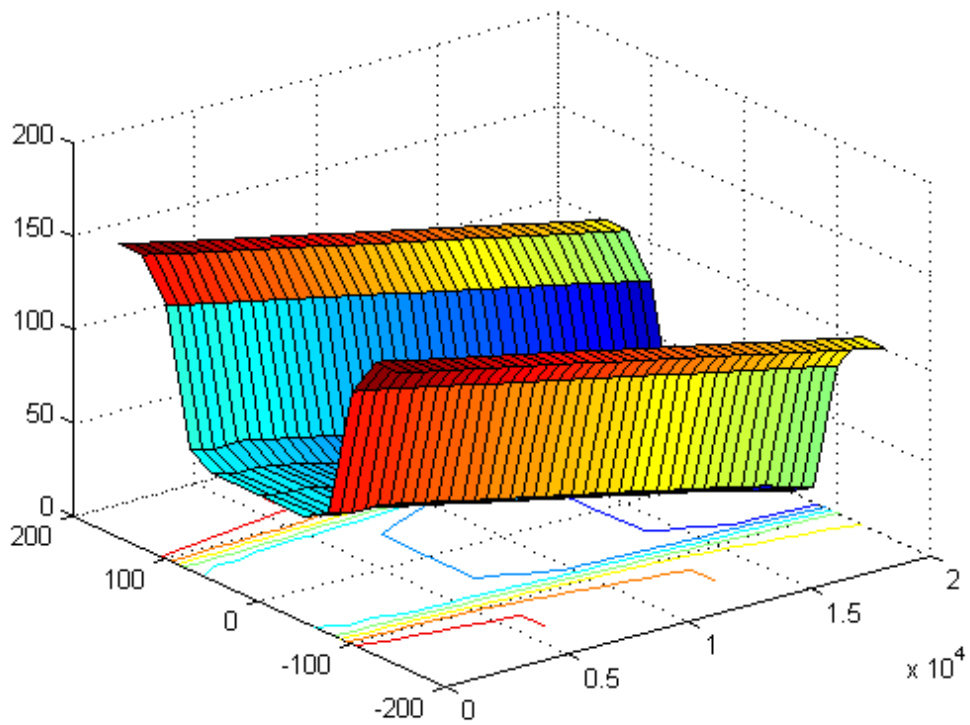


圖 131 40 分鐘後底床高程(圓弧崩坍機制, $\tau_c = 10\%$)

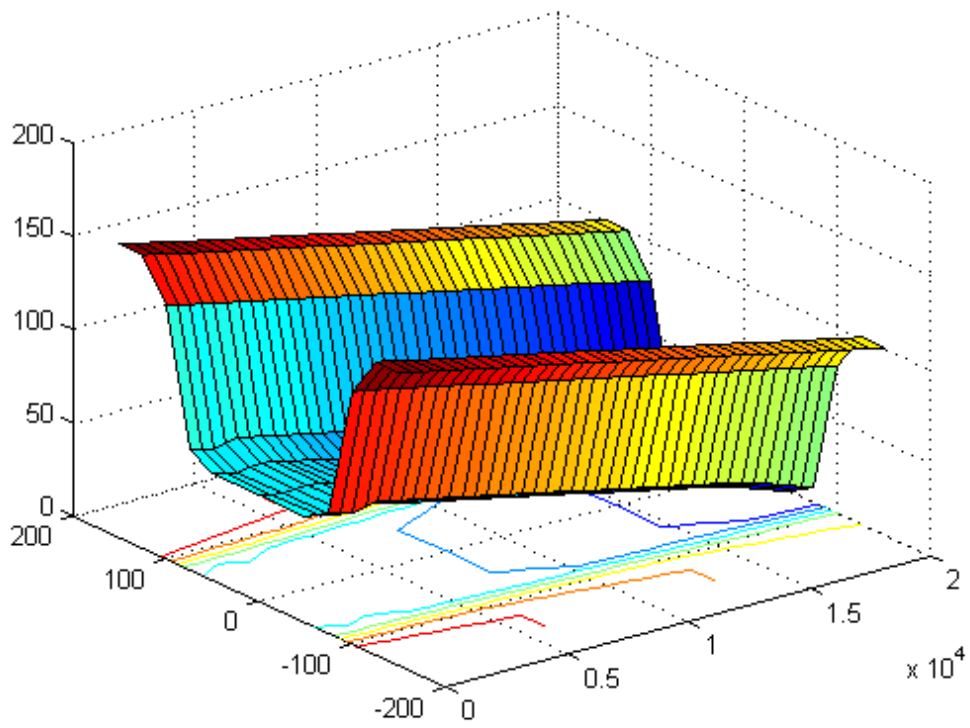


圖 132 50 分鐘後底床高程(圓弧崩坍機制, $\tau_c = 10\%$)

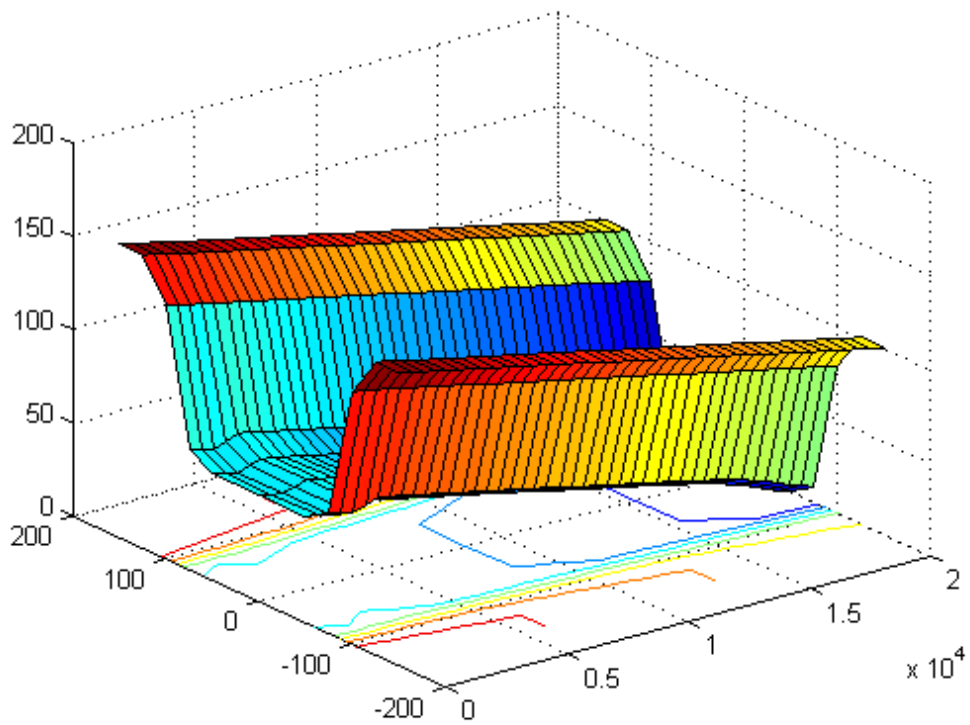


圖 133 60 分鐘後底床高程(圓弧崩坍機制, $\tau_c = 10\%$)

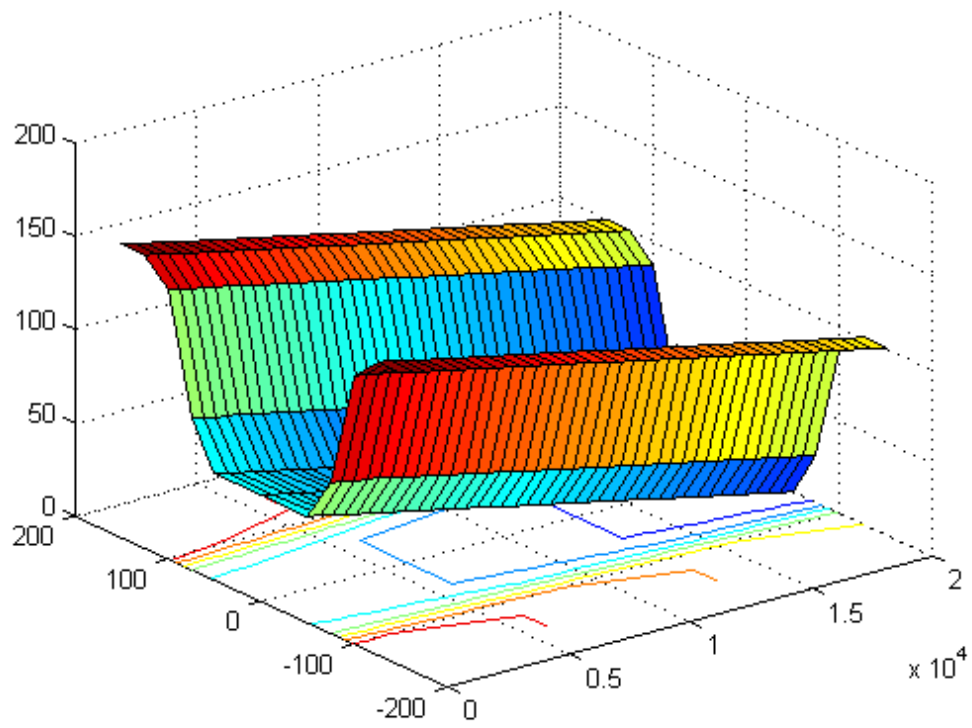


圖 134 10 分鐘後底床高程(平面崩坍機制， $\tau_c+10\%$)

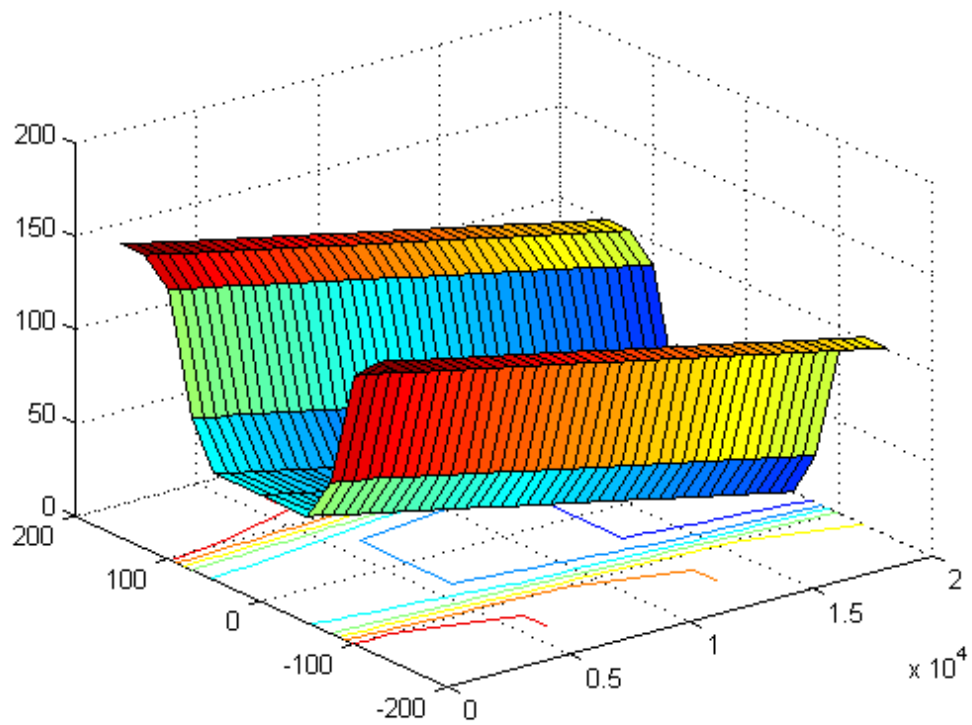


圖 135 20 分鐘後底床高程(平面崩坍機制， $\tau_c+10\%$)

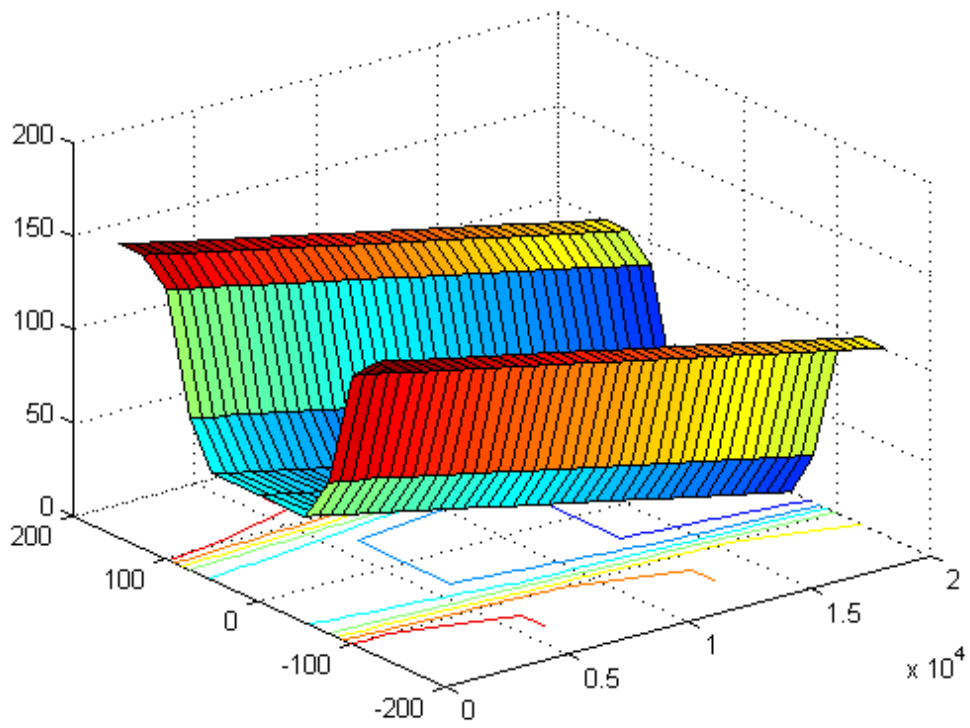


圖 136 30 分鐘後底床高程(平面崩坍機制， $\tau_c+10\%$)

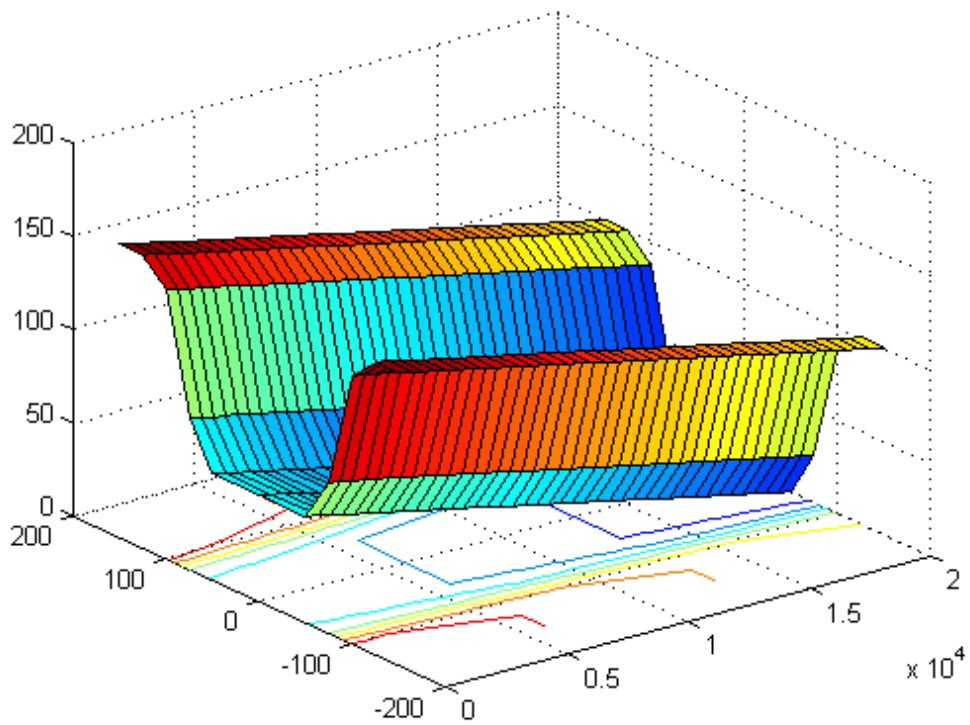


圖 137 40 分鐘後底床高程(平面崩坍機制， $\tau_c+10\%$)

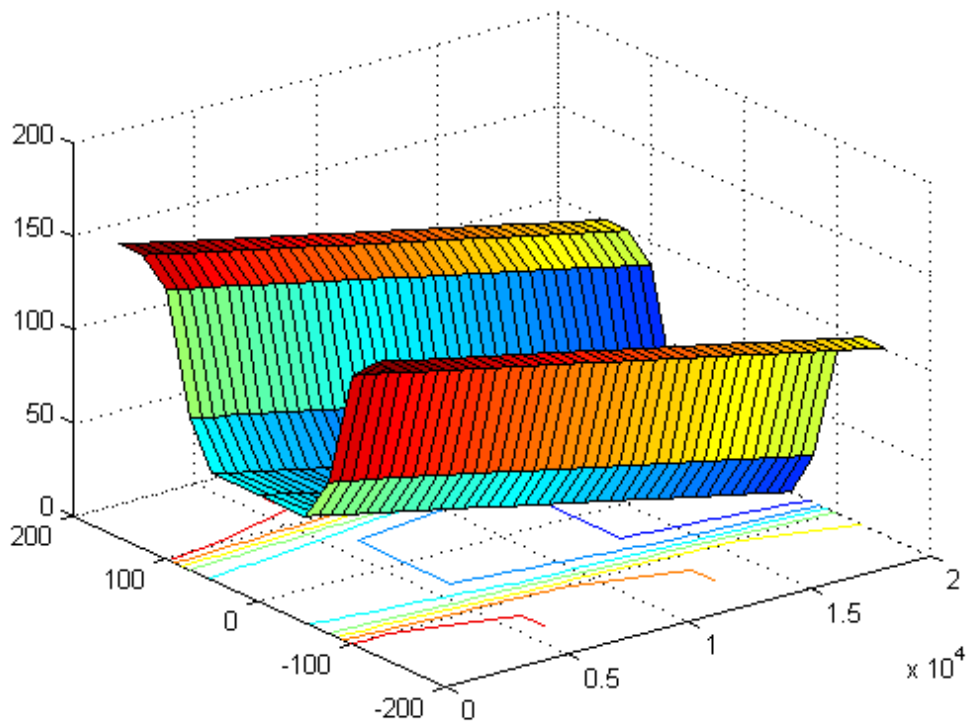


圖 138 50 分鐘後底床高程(平面崩坍機制， $\tau_c+10\%$)

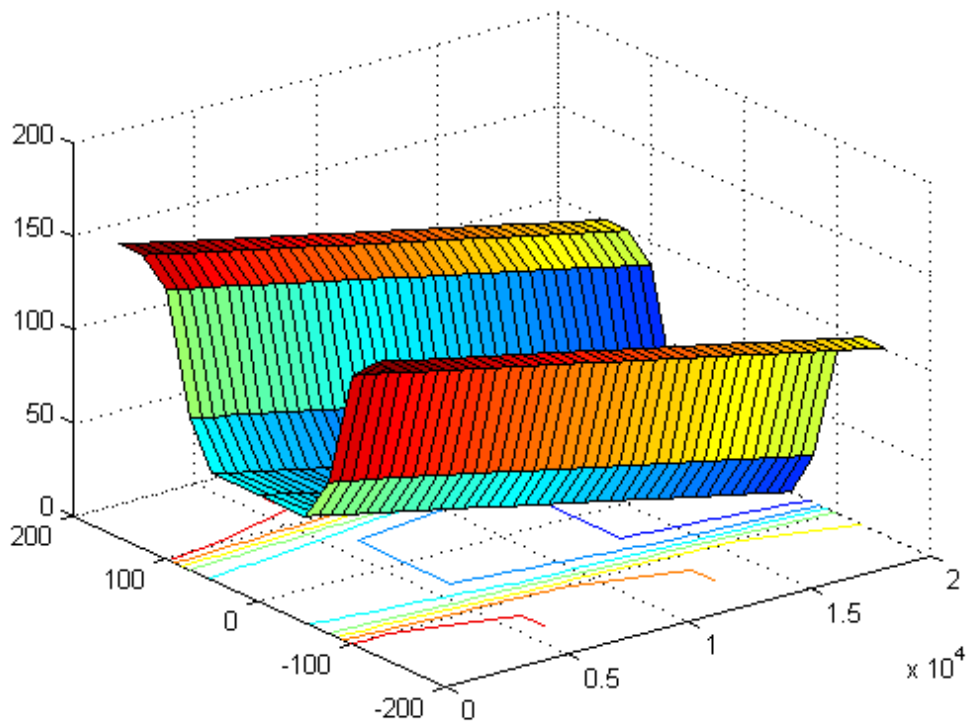


圖 139 60 分鐘後底床高程(平面崩坍機制， $\tau_c+10\%$)

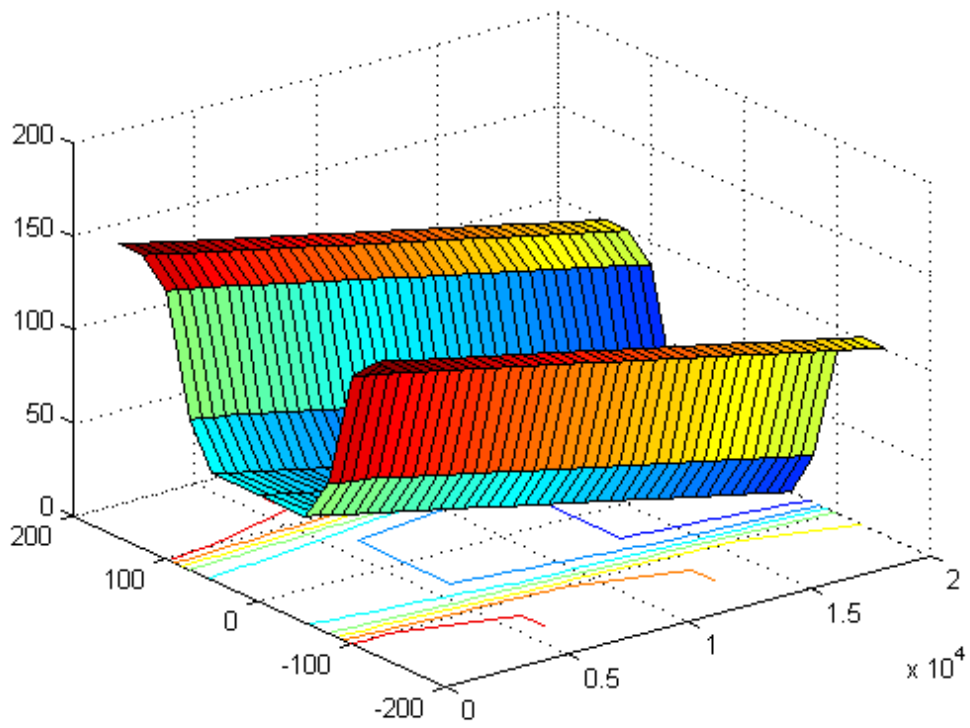


圖 140 10 分鐘後底床高程(平面崩坍機制, $\tau_c - 10\%$)

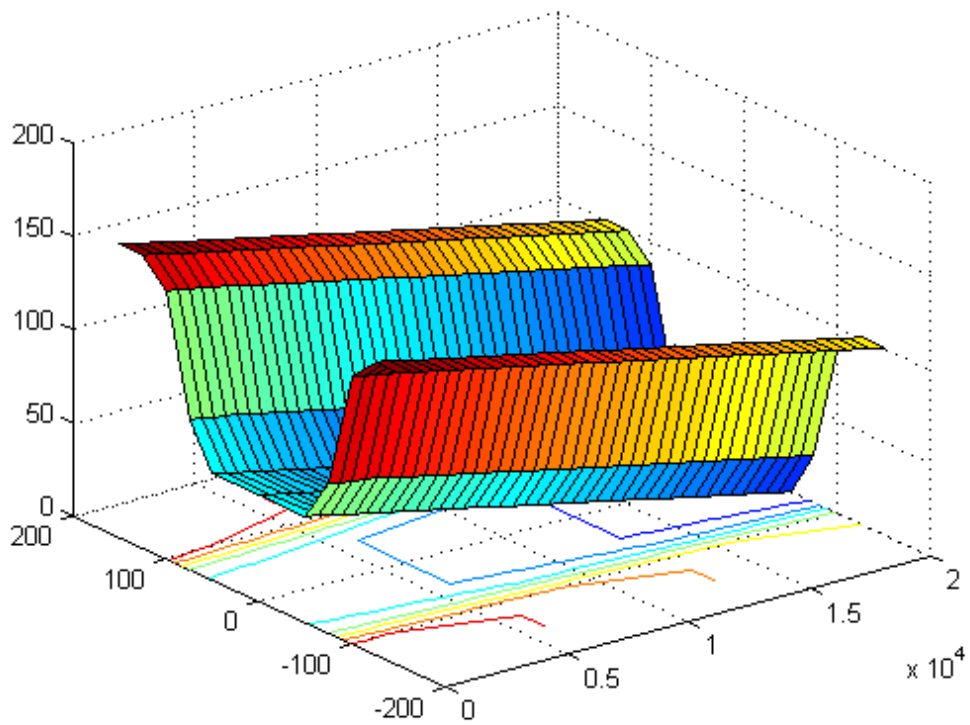


圖 141 20 分鐘後底床高程(平面崩坍機制, $\tau_c - 10\%$)

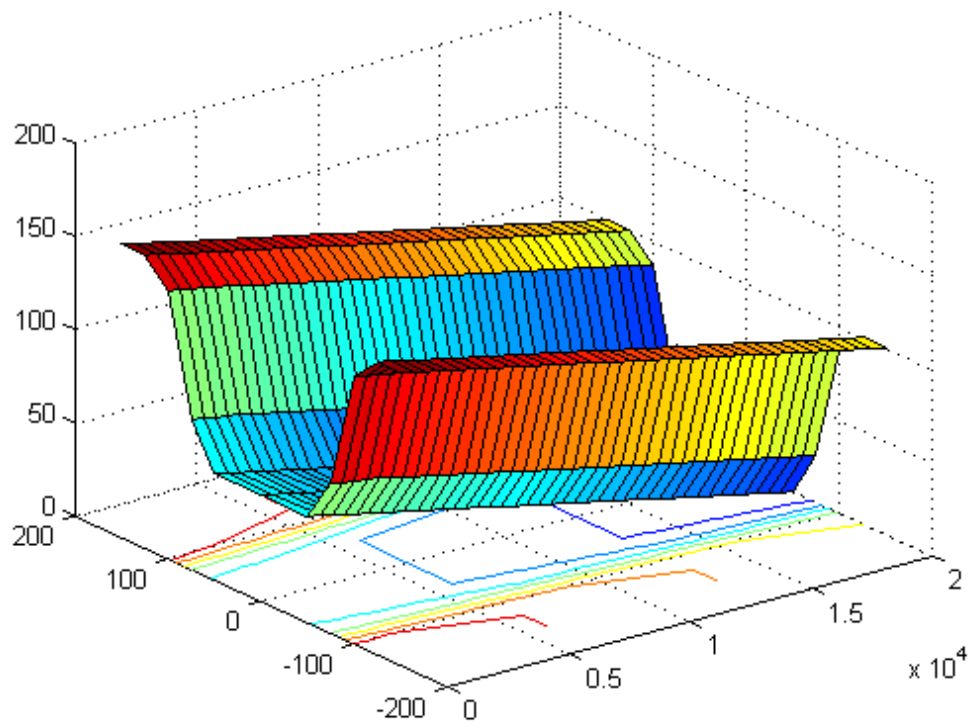


圖 142 30 分鐘後底床高程(平面崩坍機制, $\tau_c - 10\%$)

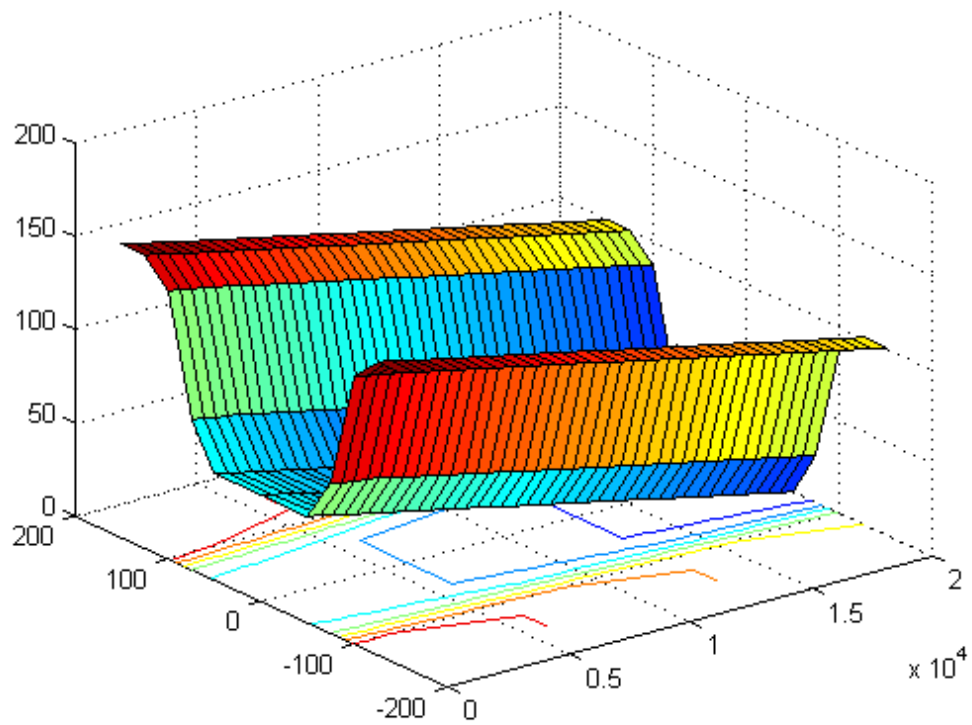


圖 143 40 分鐘後底床高程(平面崩坍機制, $\tau_c - 10\%$)

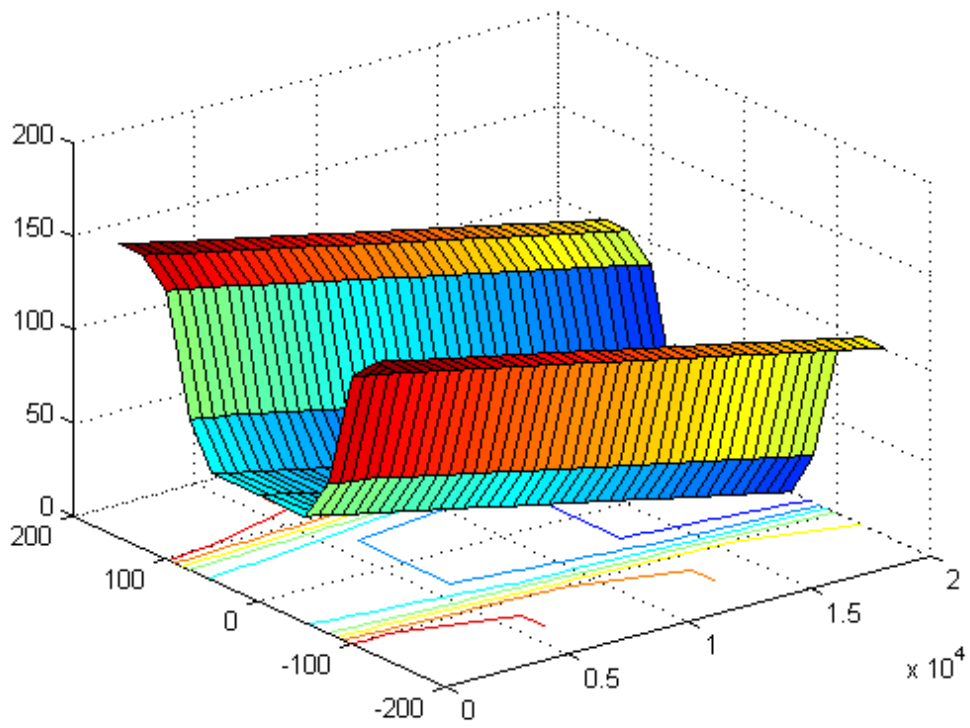


圖 144 50 分鐘後底床高程(平面崩坍機制， $\tau_c - 10\%$)

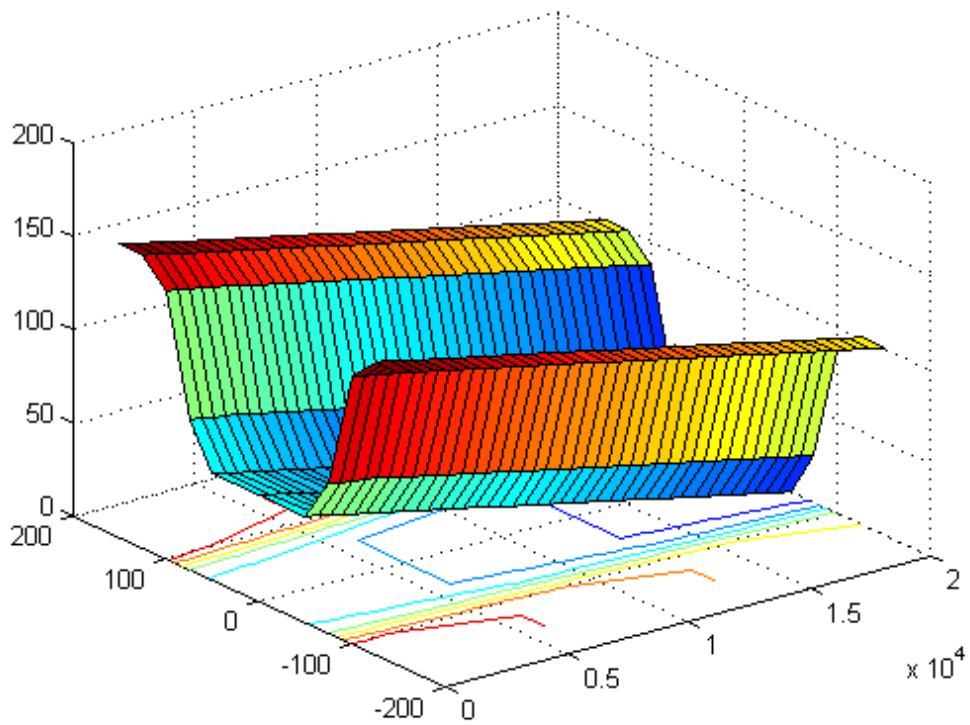


圖 145 60 分鐘後底床高程(平面崩坍機制， $\tau_c - 10\%$)

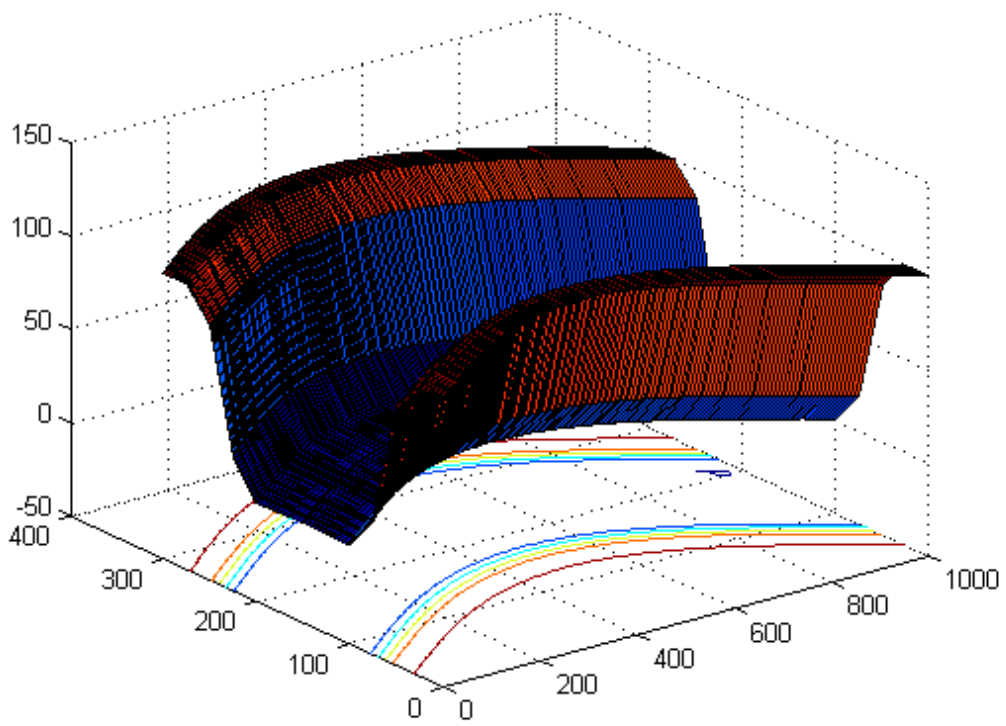


圖 146 10 分鐘後底床高程(圓弧崩坍機制)

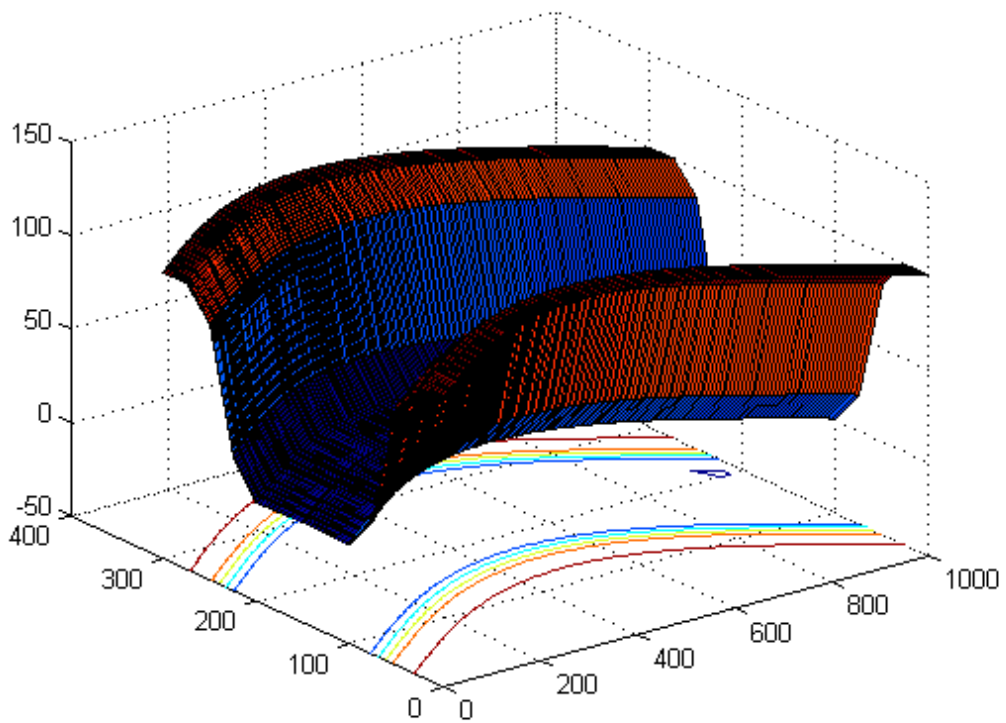


圖 147 20 分鐘後底床高程(圓弧崩坍機制)

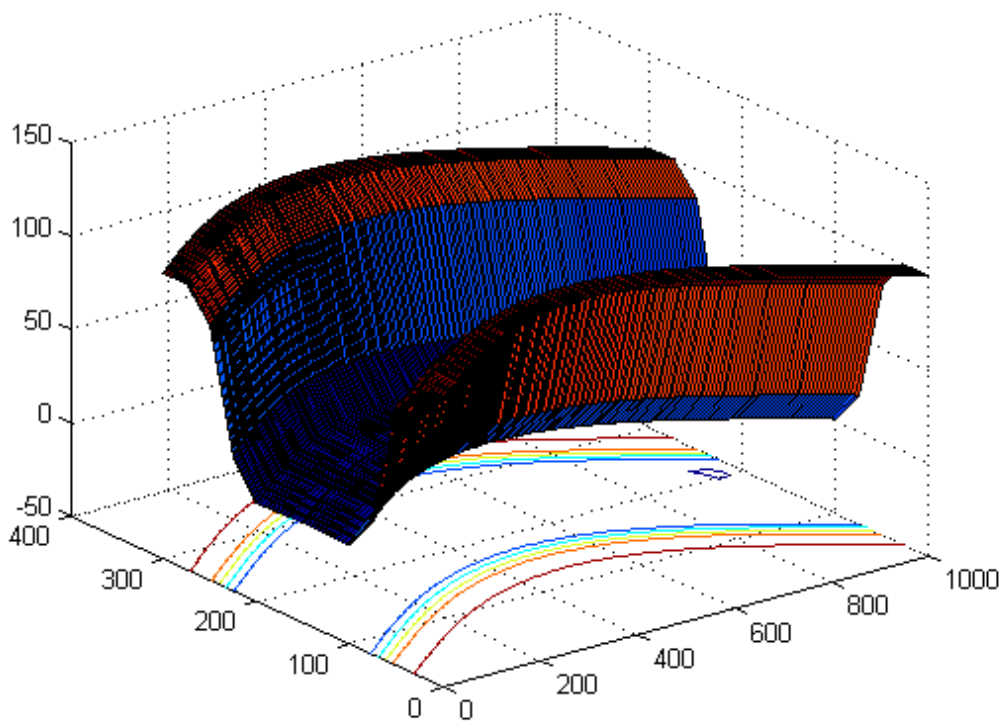


圖 148 30 分鐘後底床高程(圓弧崩坍機制)

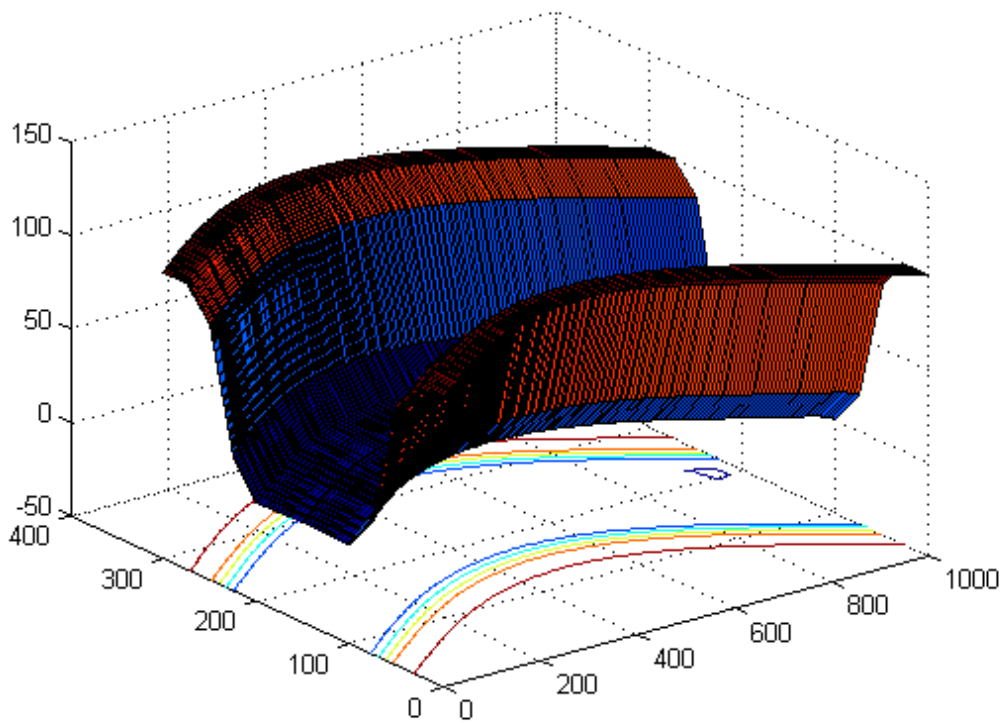


圖 149 40 分鐘後底床高程(圓弧崩坍機制)

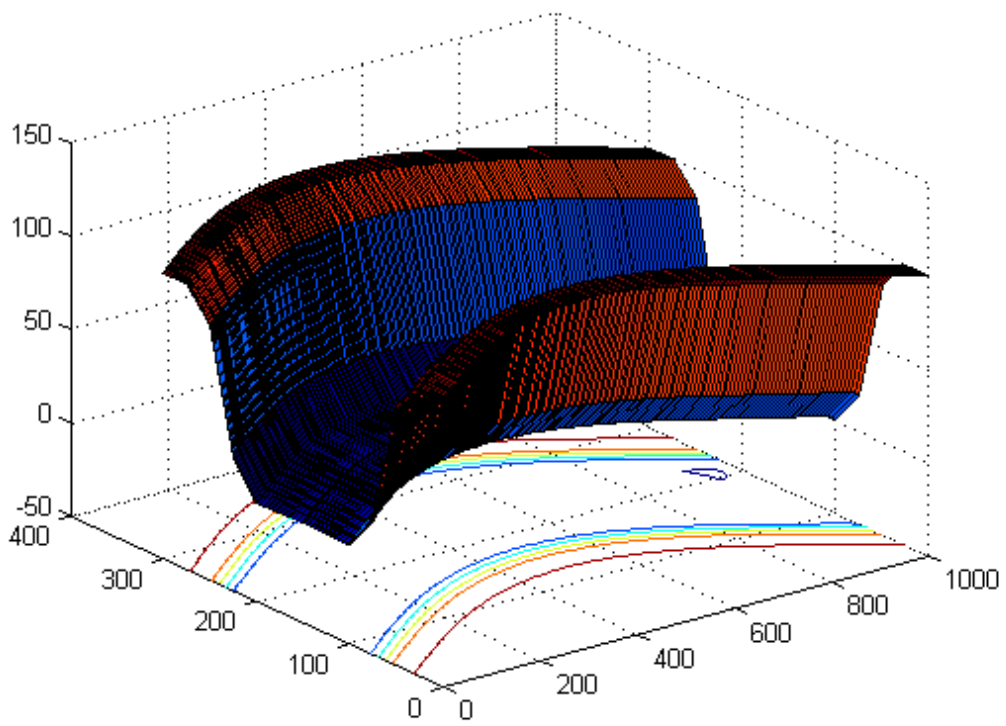


圖 150 50 分鐘後底床高程(圓弧崩坍機制)

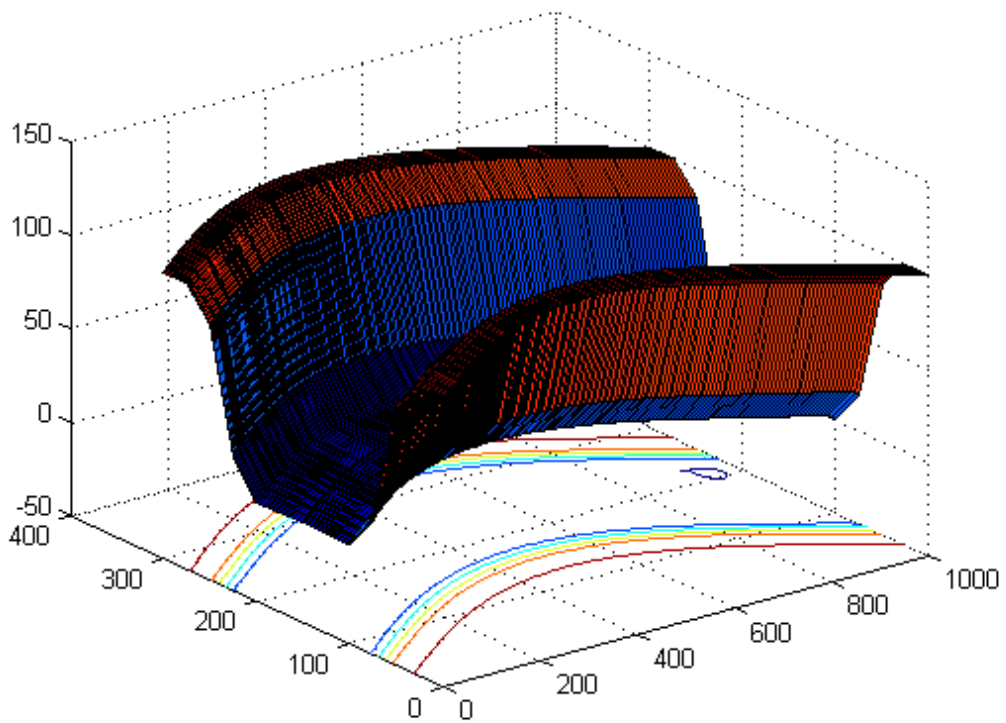


圖 151 60 分鐘後底床高程(圓弧崩坍機制)

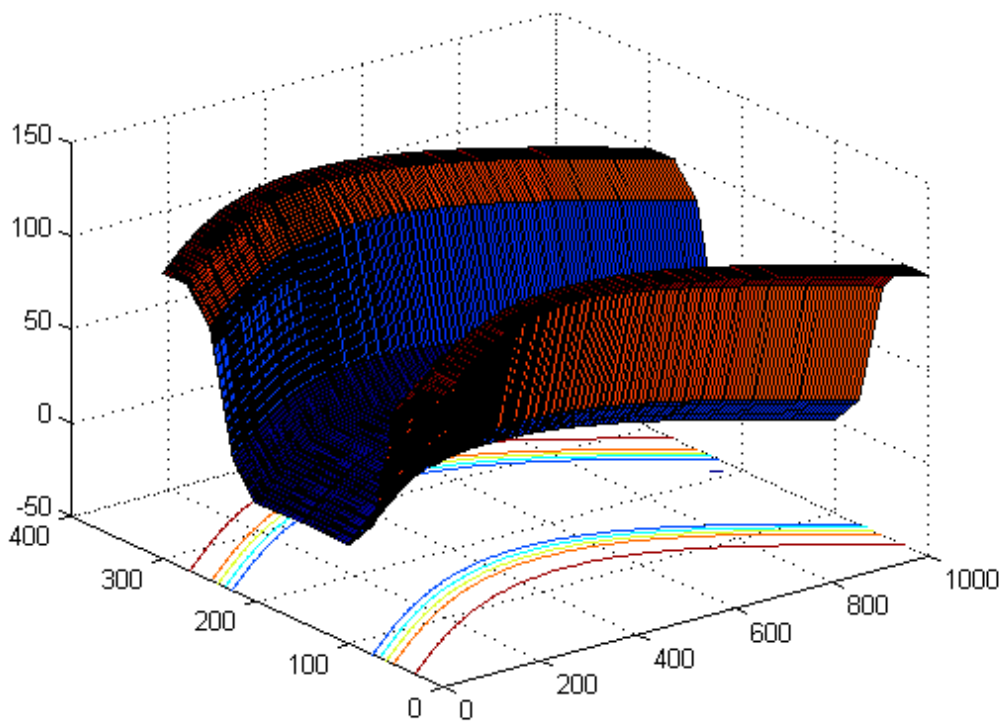


圖 152 10 分鐘後底床高程(平面崩坍機制)

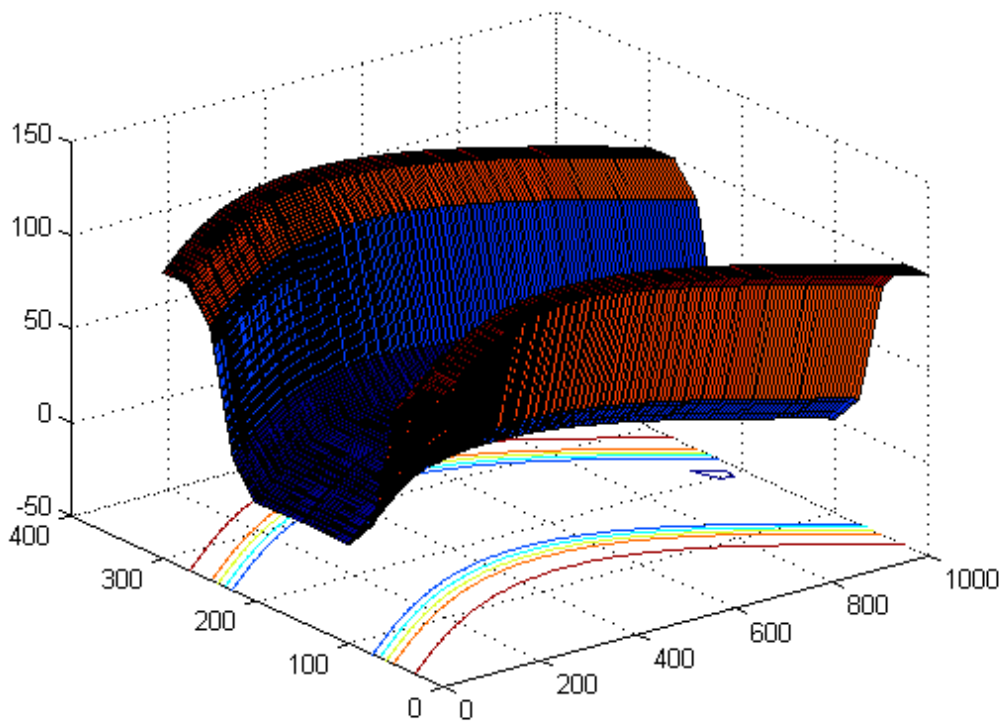


圖 153 20 分鐘後底床高程(平面崩坍機制)

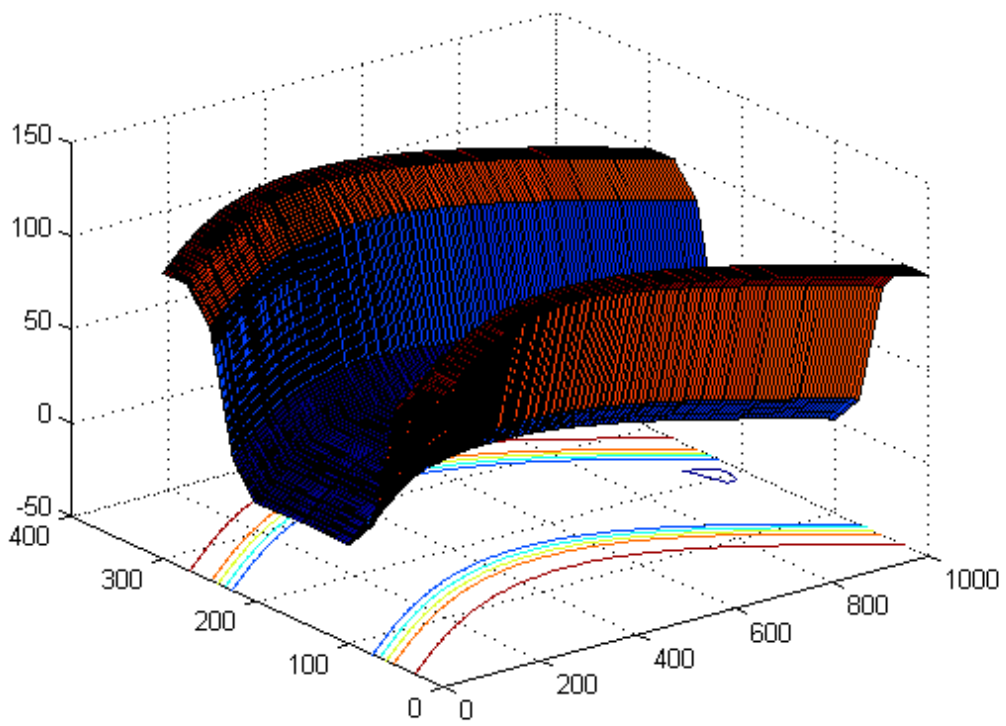


圖 154 30 分鐘後底床高程(平面崩坍機制)

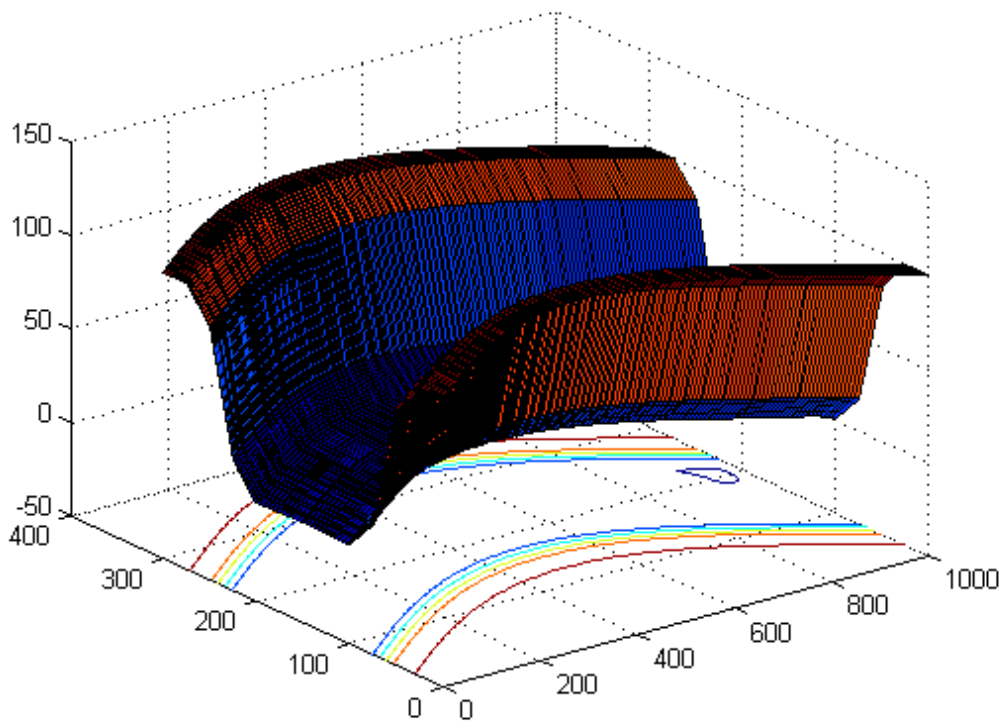


圖 155 40 分鐘後底床高程(平面崩坍機制)

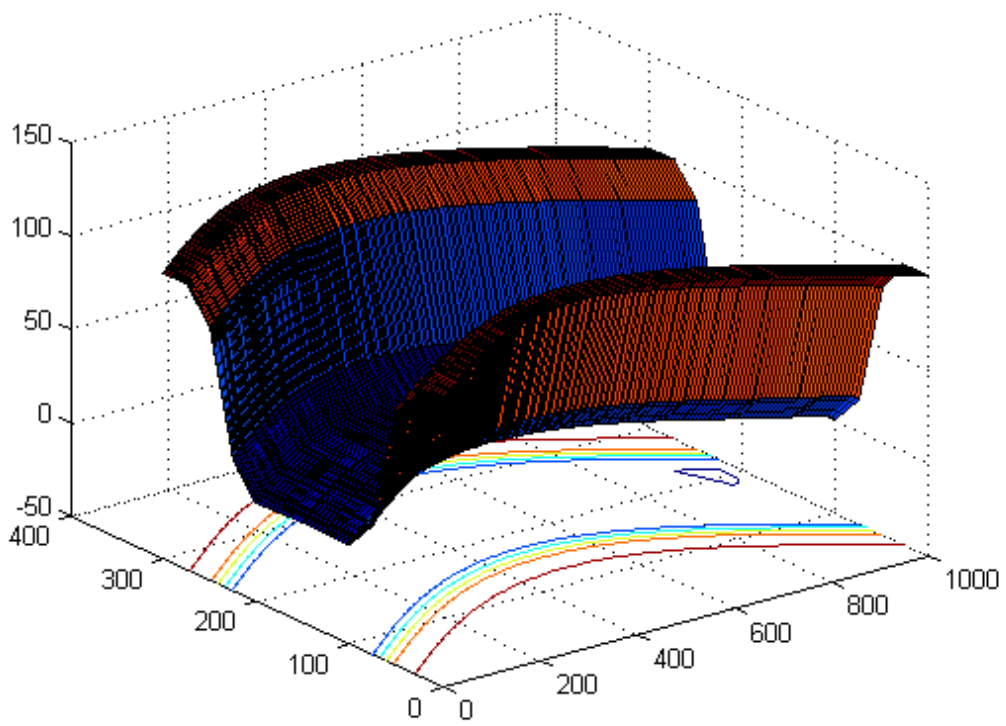


圖 156 50 分鐘後底床高程(平面崩坍機制)

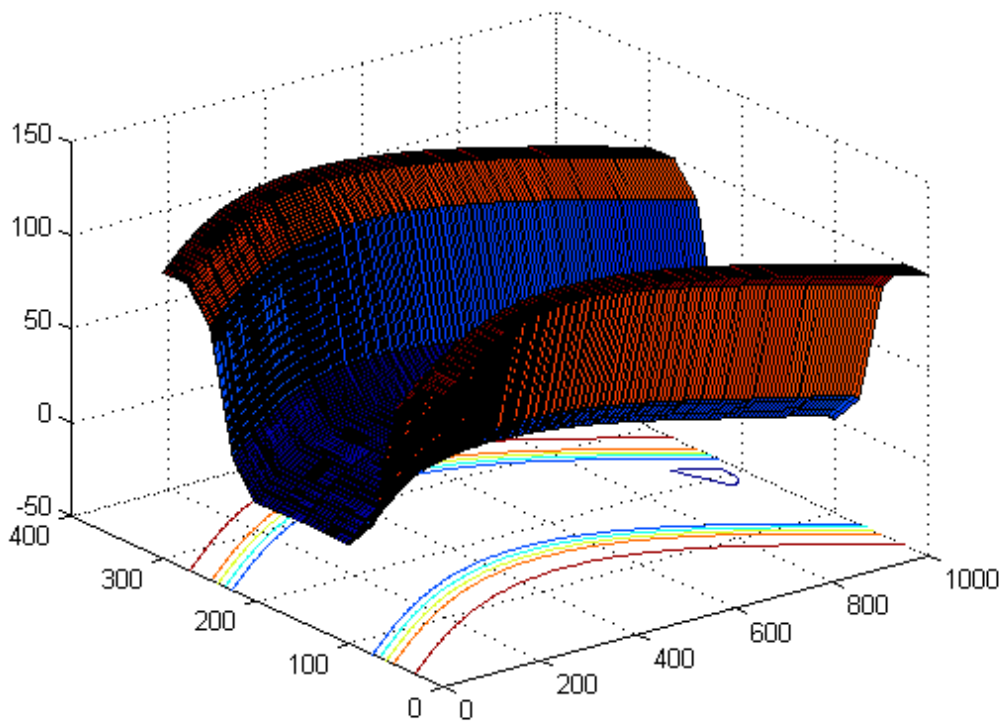


圖 157 60 分鐘後底床高程(平面崩坍機制)

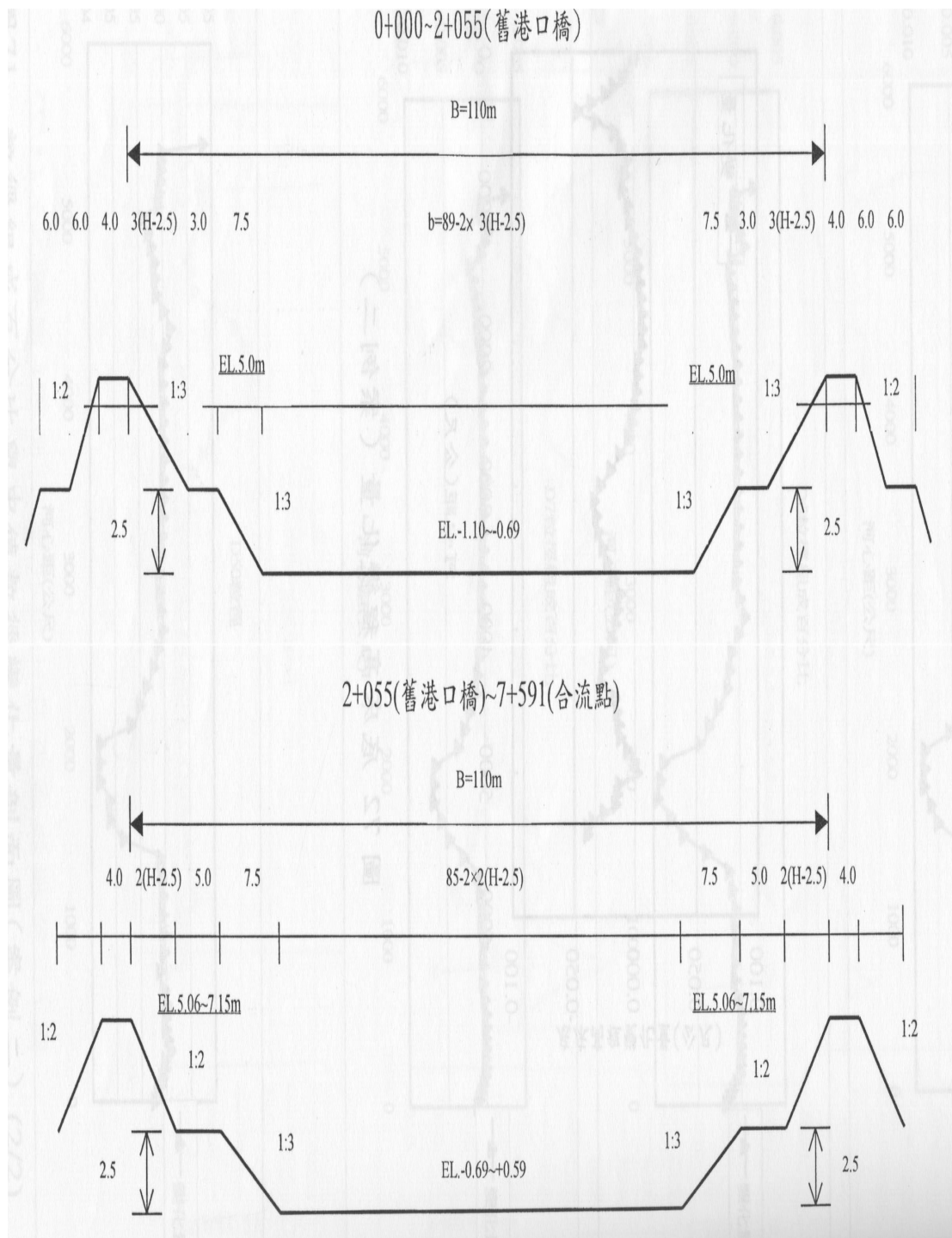


圖 158 阿公店溪(中、下游段)計畫河道標準橫斷面圖(1/3)

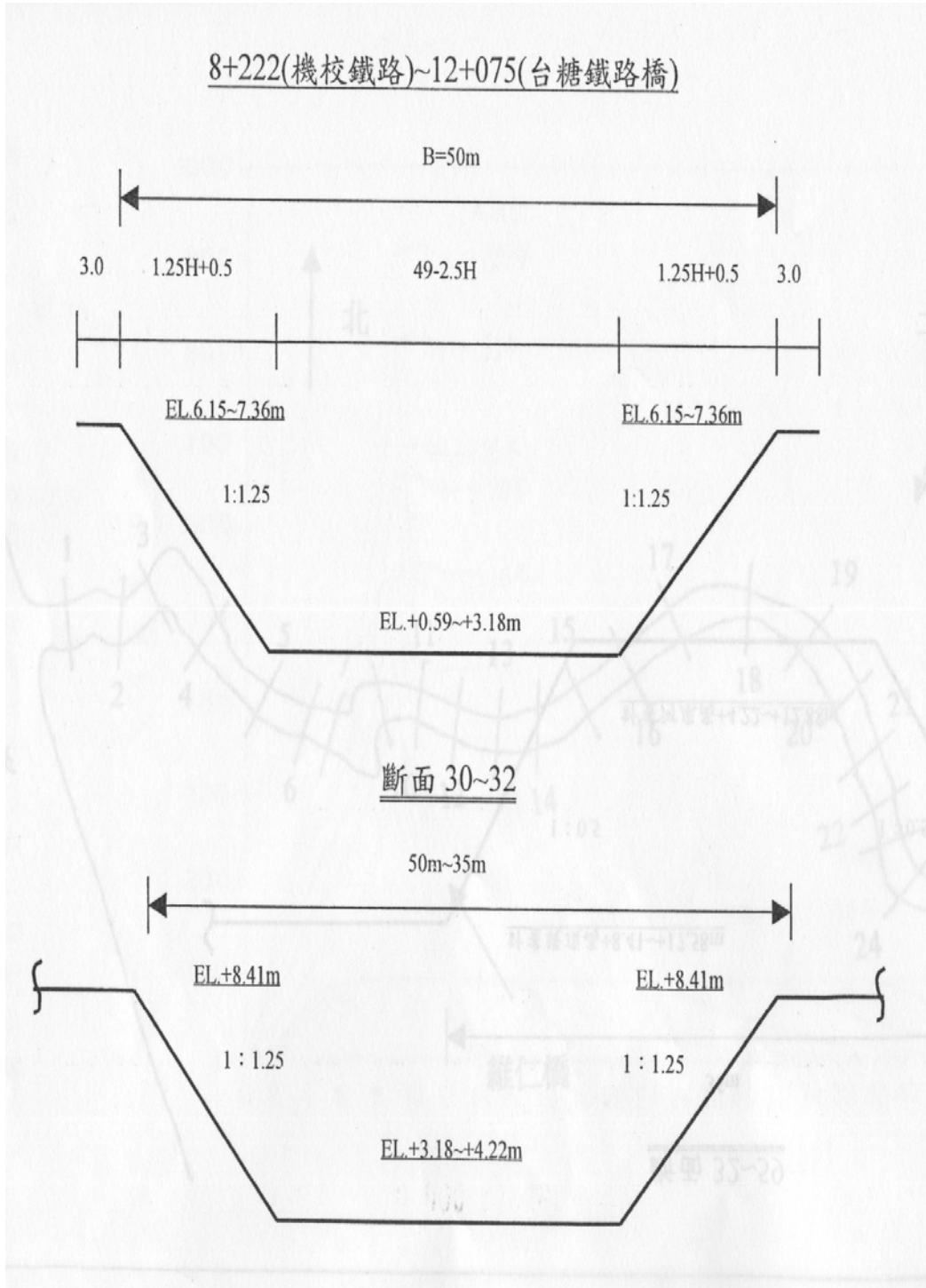


圖 158 阿公店溪(中、下游段)計畫河道標準橫斷面圖(2/3)

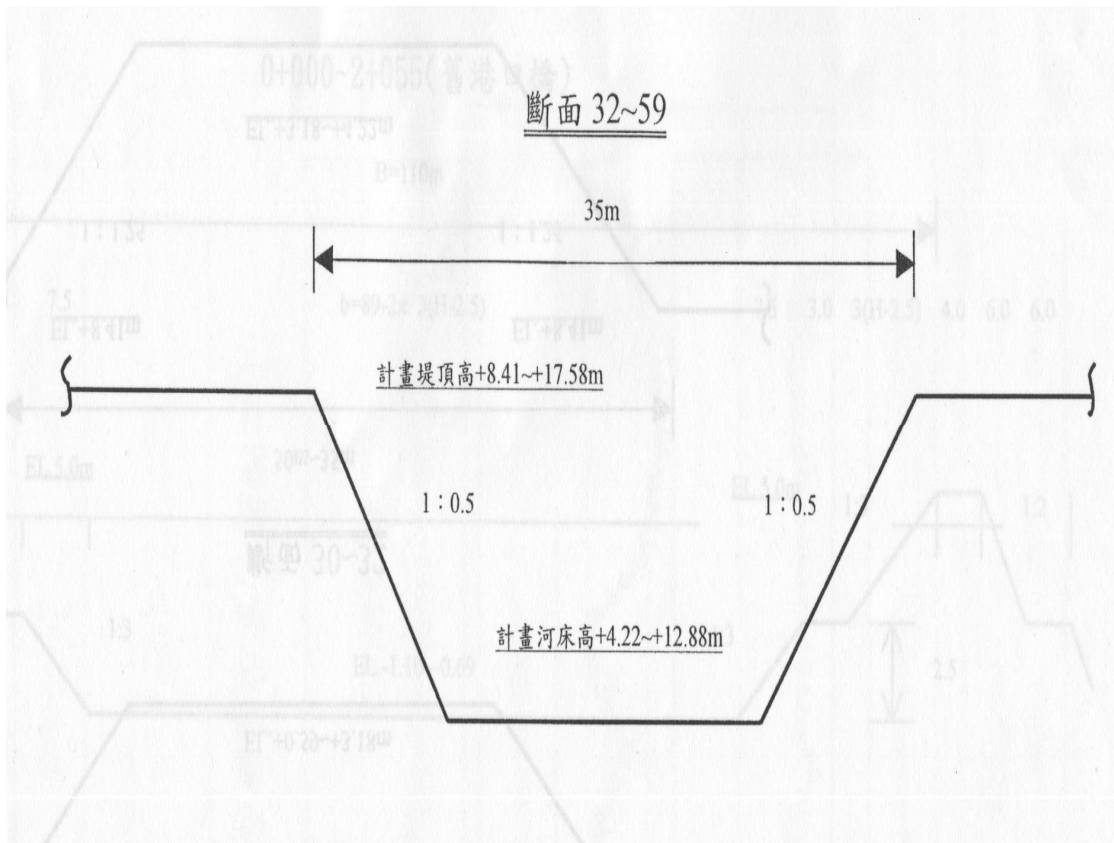


圖 158 阿公店溪(中、下游段)計畫河道標準橫斷面圖(3/3)



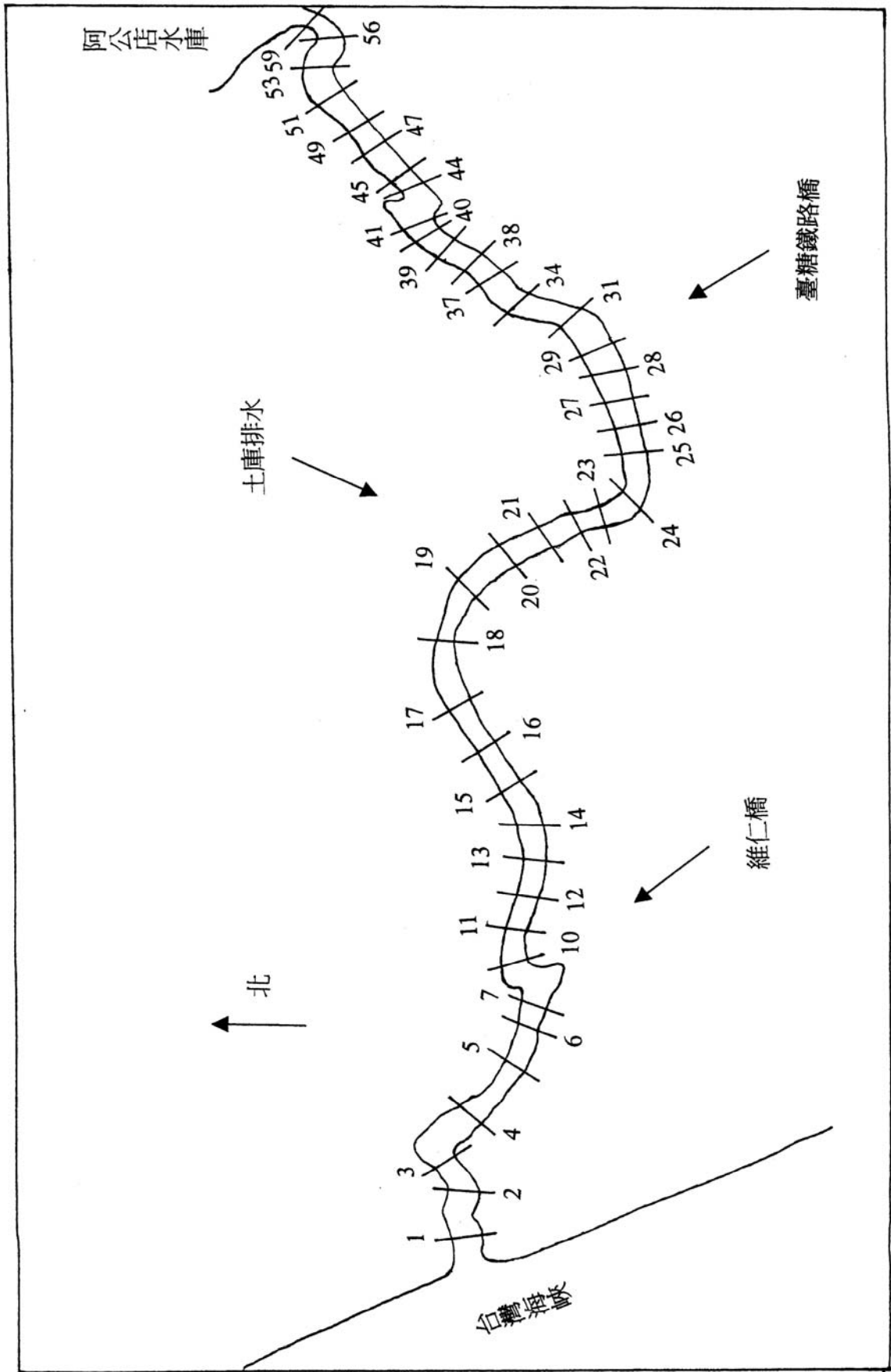


圖 159 阿公店溪斷面位置示意圖

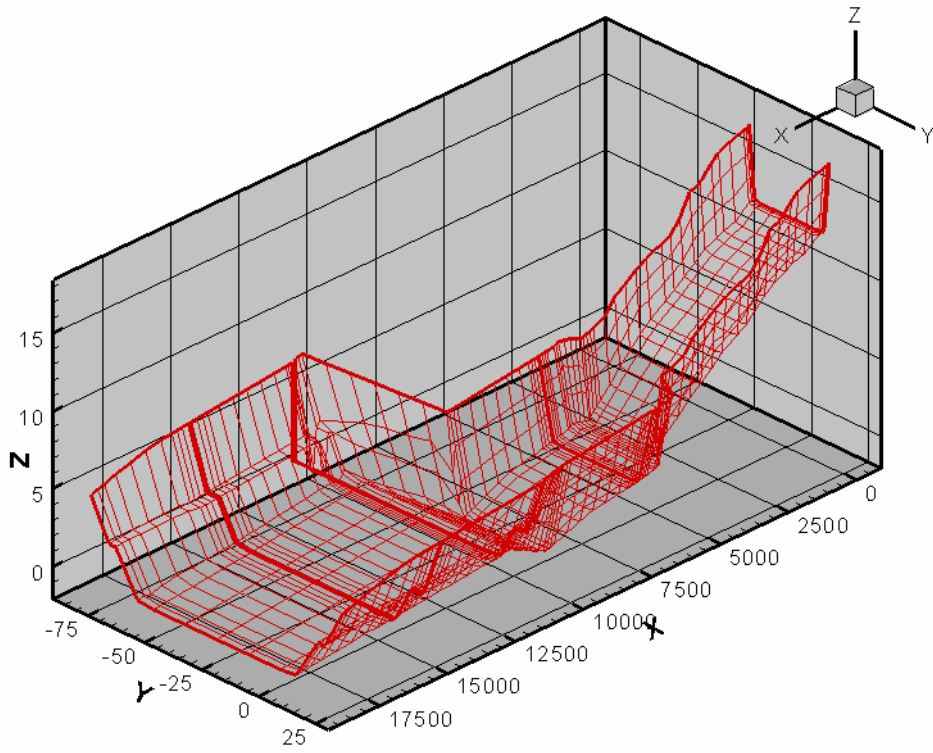


圖 160 阿公店溪初始底床高程



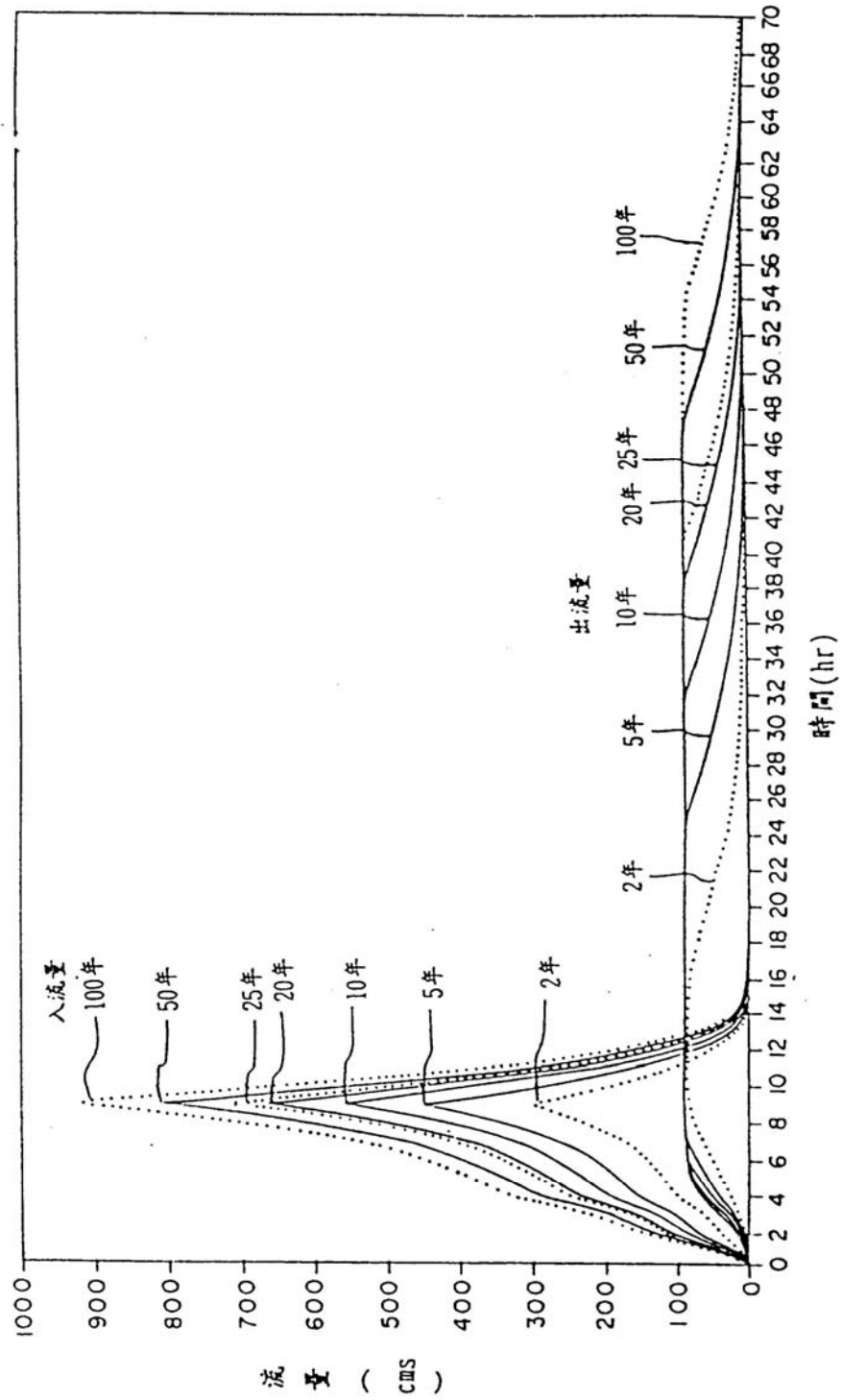


圖 161 阿公店水庫各頻率年之入放流量 (更新改善前)
 摘自「高雄縣土庫排水系統」

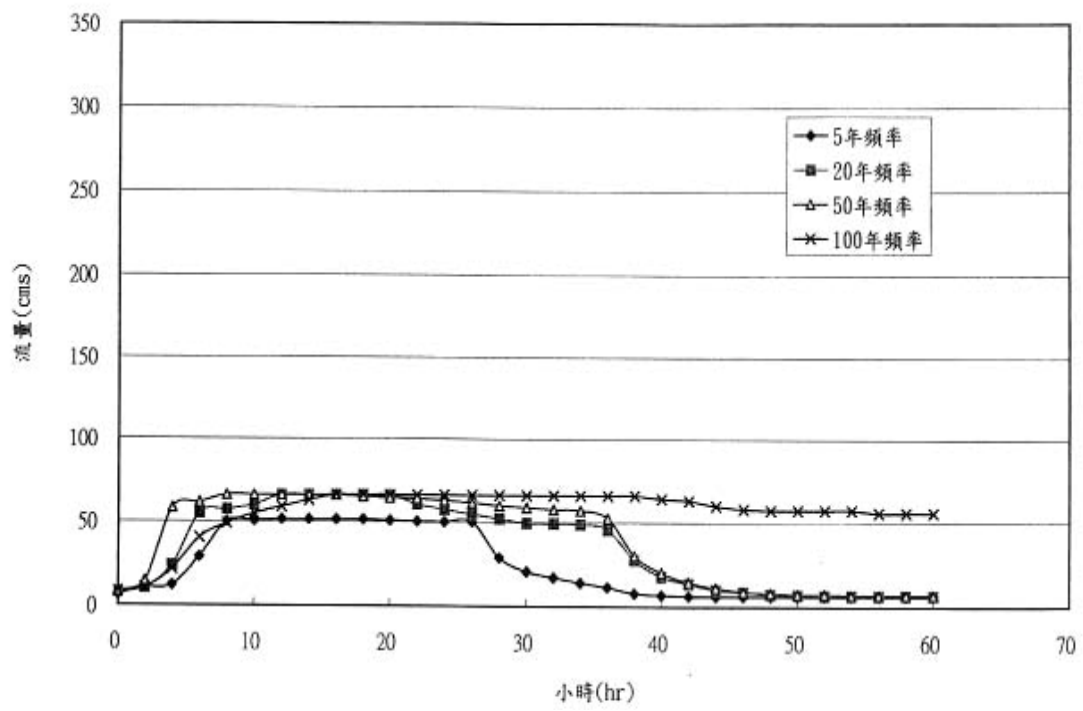


圖 162 水庫更新後各頻率年洪水之放流歷線



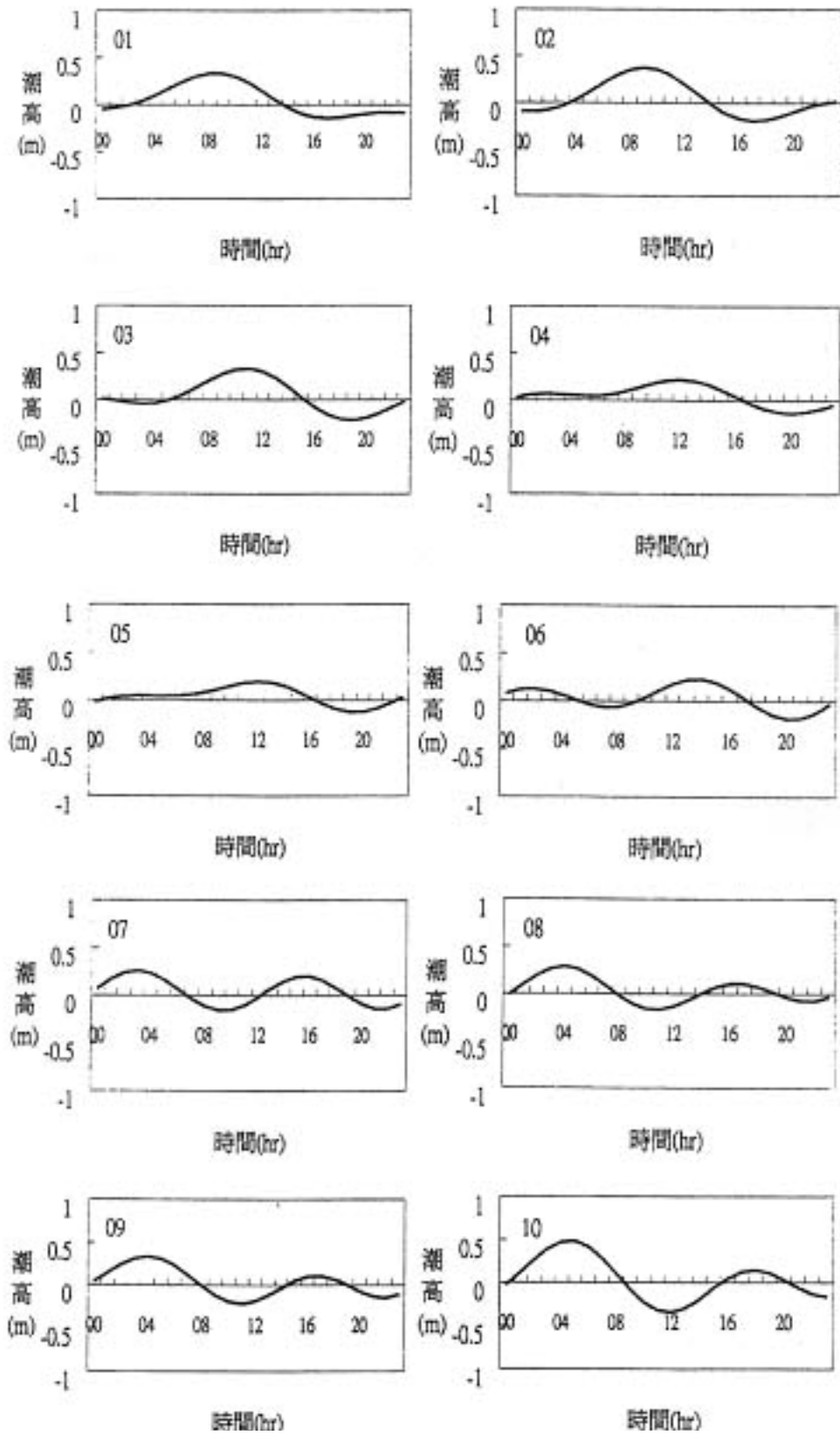


圖 163 高雄港第二港口民國 76 年 6 月上旬之天文潮位曲線

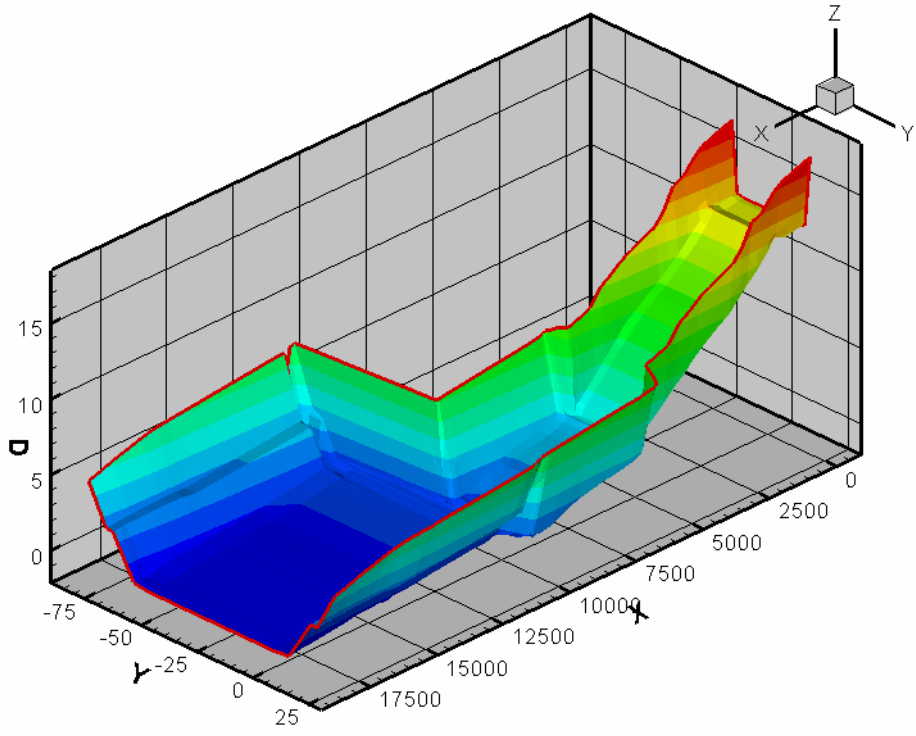


圖 164 防淤操作後底床高程(20 小時)

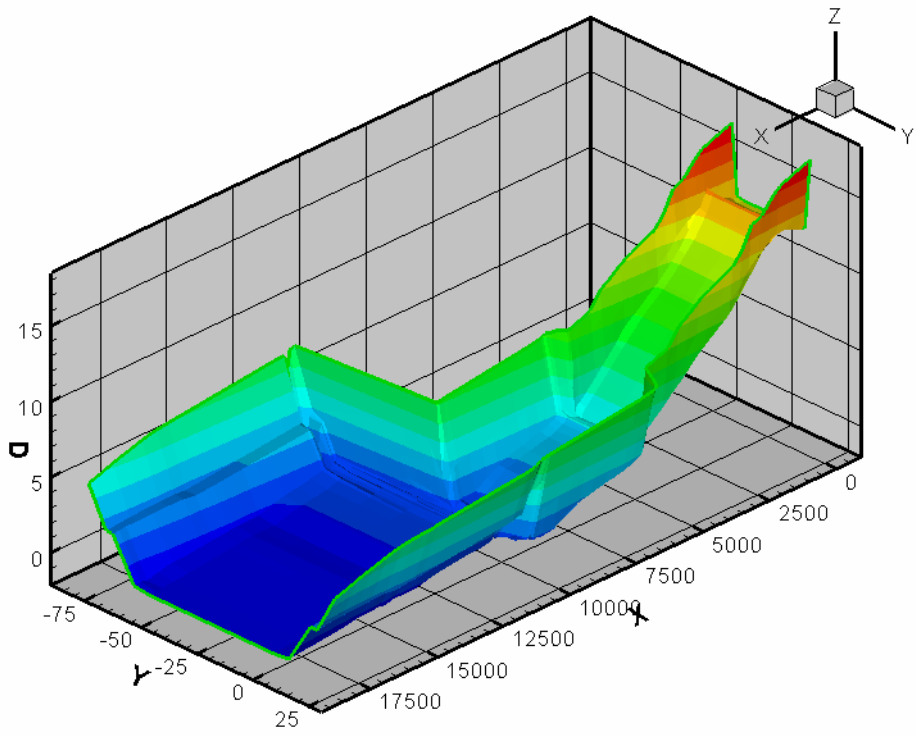


圖 165 防淤操作後底床高程(40 小時)

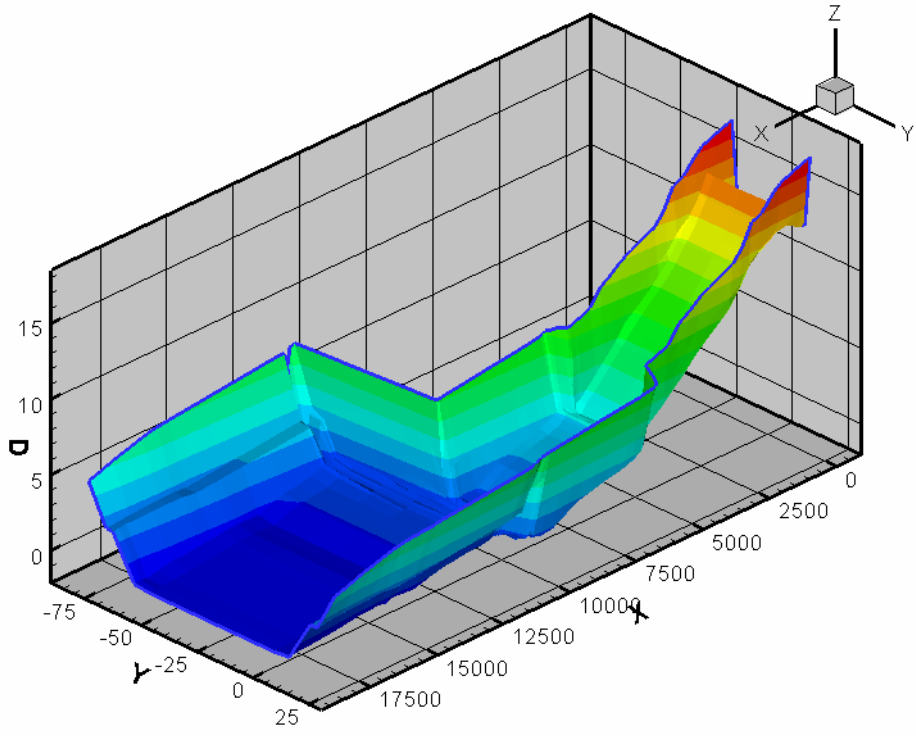


圖 166 防淤操作後底床高程(60小時)

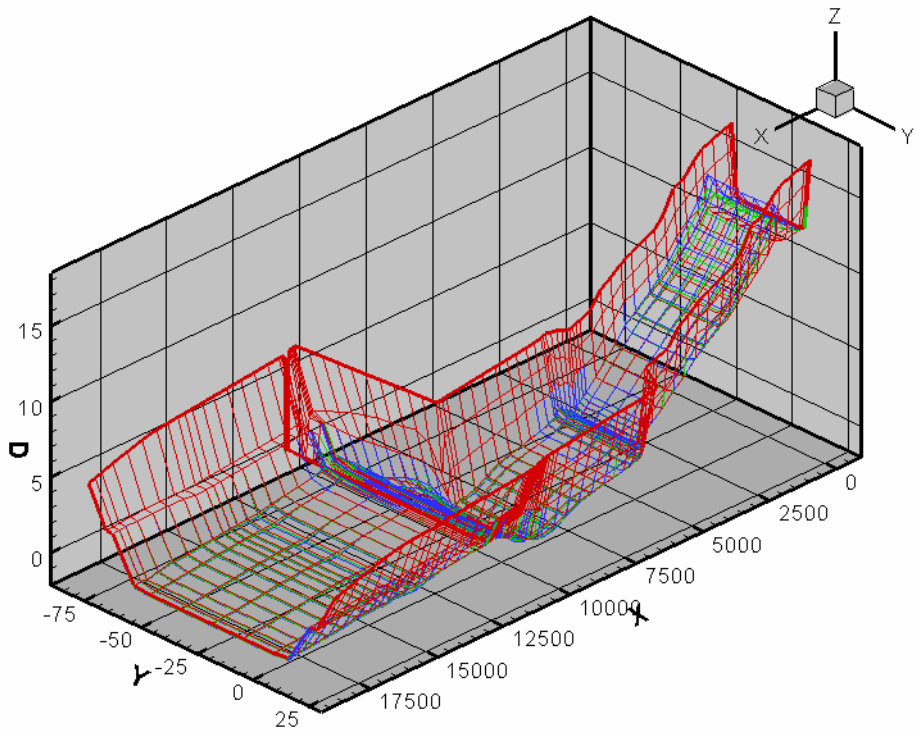


圖 167 防淤操作後底床高程

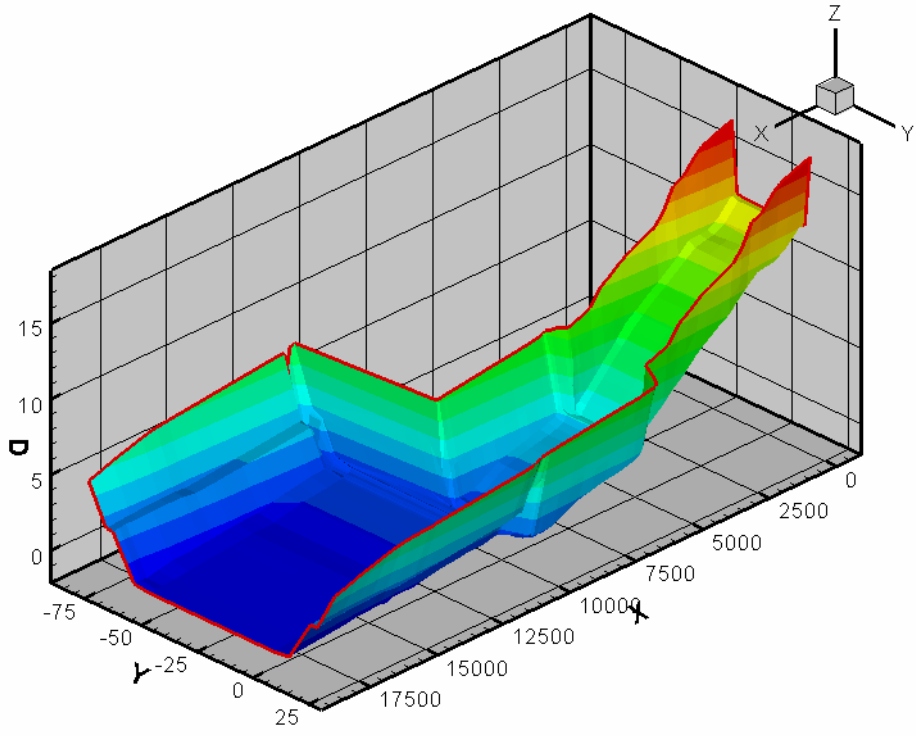


圖 168 防淤操作前底床高程(20小時)

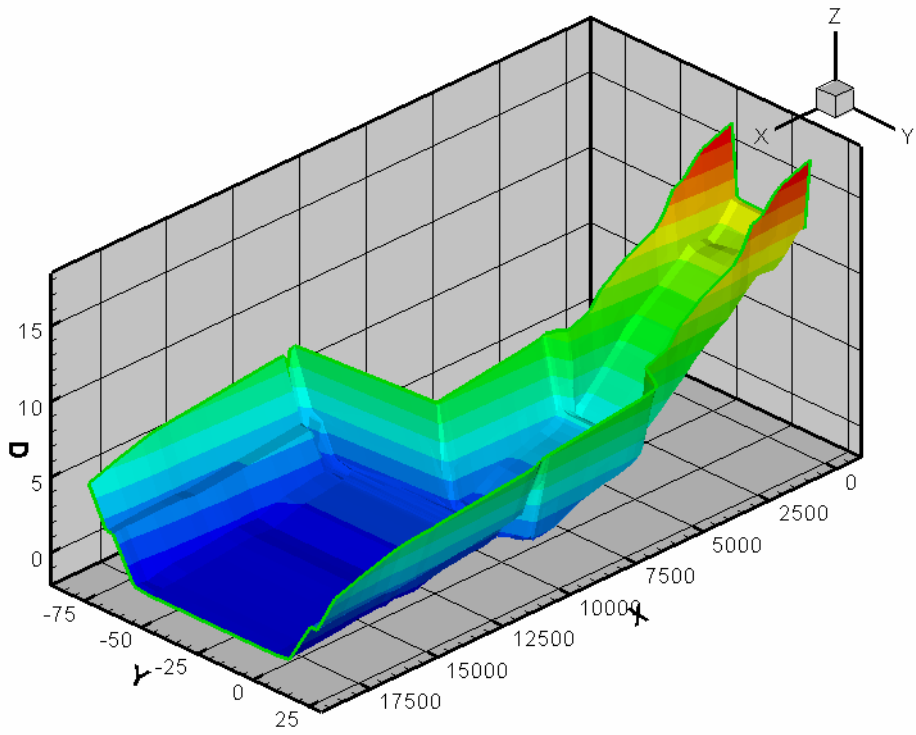


圖 169 防淤操作前底床高程(40小時)

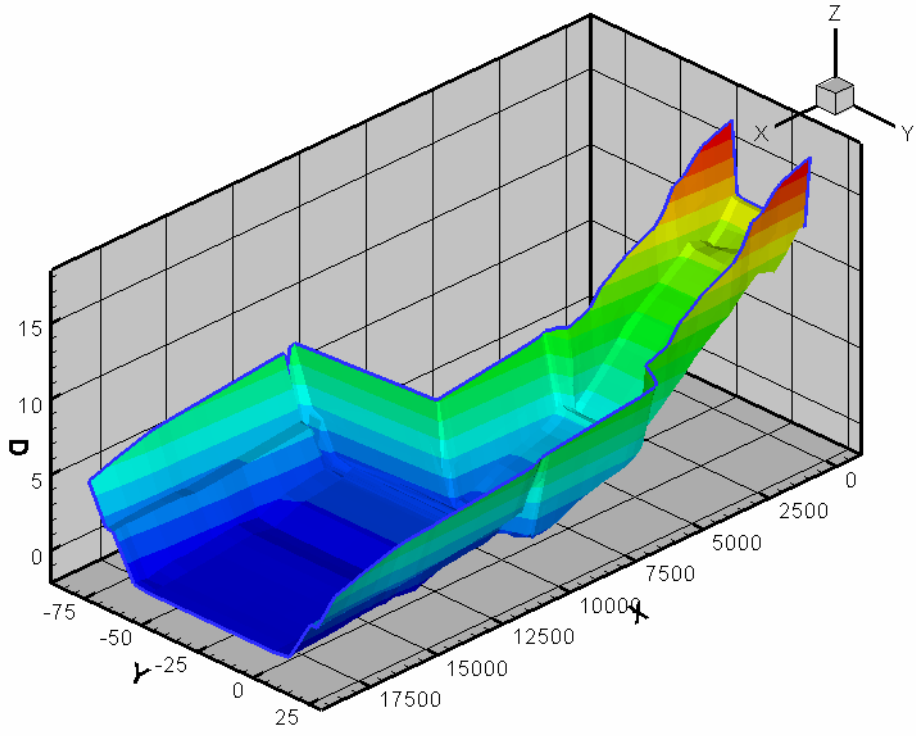


圖 170 防淤操作前底床高程(60小時)

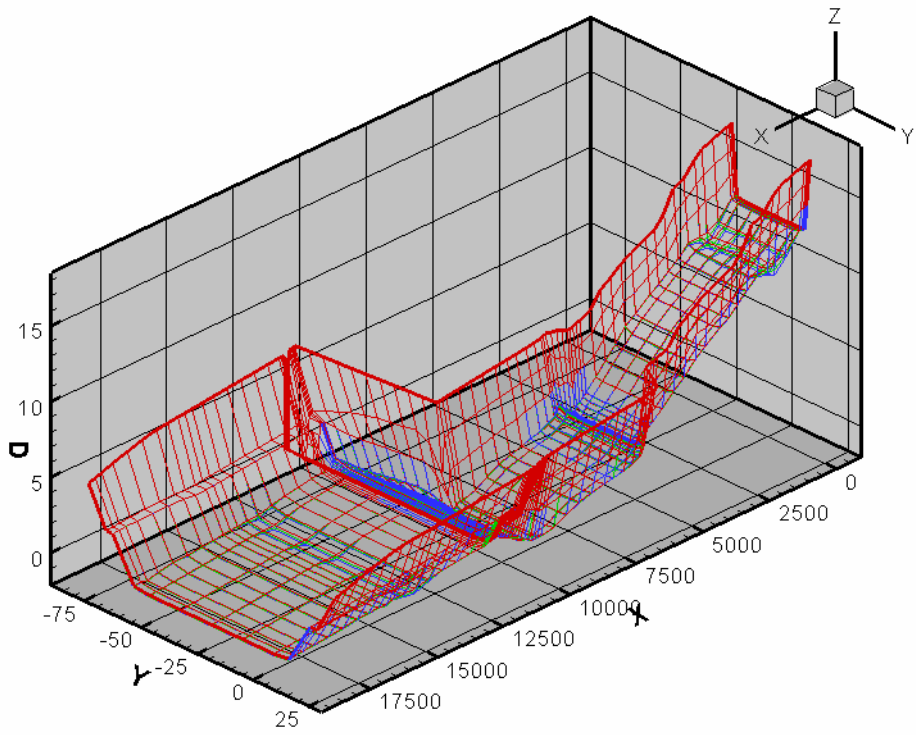


圖 171 防淤操作前底床高程